

**UNIVERSIDAD AUTÓNOMA DE NUEVO LEÓN
FACULTAD DE INGENIERÍA MECÁNICA Y ELÉCTRICA**



**“EVALUACIÓN DE AISLAMIENTOS TÉRMICOS DE FIBRA DE
VIDRIO APLICADOS A BOMBAS CENTRIFUGAS
HORizontales”**

POR

CARLOS ALBERTO PEREZ ROMERO

**PROYECTO TERMINAL
COMO OPCIÓN A OBTENER EL GRADO DE
ESPECIALIDAD EN TERMOFLUIDOS**

AGOSTO 2016

**UNIVERSIDAD AUTÓNOMA DE NUEVO LEÓN
FACULTAD DE INGENIERÍA MECÁNICA Y ELÉCTRICA**



**“EVALUACIÓN DE AISLAMIENTOS TÉRMICOS DE FIBRA DE VIDRIO
APLICADOS A BOMBAS CENTRIFUGAS HORIZONTALES”**

**POR
CARLOS ALBERTO PEREZ ROMERO**

**PROYECTO TERMINAL
COMO OPCIÓN A OBTENER EL GRADO DE
ESPECIALIDAD EN TERMOFLUIDOS**

**DIRECTOR
DR. FAUSTO ALEJANDRO SÁNCHEZ CRUZ**

AGOSTO 2016

**UNIVERSIDAD AUTÓNOMA DE NUEVO LEÓN
FACULTAD DE INGENIERÍA MECÁNICA Y ELÉCTRICA
SUBDIRECCIÓN DE ESTUDIOS DE POSGRADO**



**“EVALUACIÓN DE AISLAMIENTOS TÉRMICOS DE FIBRA DE VIDRIO
APLICADOS A BOMBAS CENTRIFUGAS HORIZONTALES”**

**POR
CARLOS ALBERTO PEREZ ROMERO**

PROYECTO TERMINAL

**COMO OPCIÓN A OBTENER EL GRADO DE
ESPECIALIDAD EN TERMOFLUIDOS**

**DIRECTOR
DR. FAUSTO ALEJANDRO SÁNCHEZ CRUZ**

AGOSTO 2016

Universidad Autónoma de Nuevo León

Facultad de Ingeniería Mecánica y Eléctrica

Subdirección de Estudios de Posgrado

Los miembros del Comité de Titulación recomendamos que el Proyecto Terminal “Evaluación de aislamientos térmicos de fibra de vidrio aplicados en bombas centrífugas horizontales”, realizada por el estudiante Carlos Alberto Pérez Romero, con número de matrícula 0896073, sea aceptado para su defensa como requisito parcial para obtener el grado de Especialidad en Termofluidos.

El Comité de Titulación



Dr. Fausto Alejandro Sánchez Cruz

Director



M.C. Miguel García Yera

Revisor



Dr. Simón Martínez Martínez

Subdirector de Estudios de Posgrado

San Nicolás de los Garza, Nuevo León, agosto 2016

Agradecimiento

Quiero agradecer a mi familia por estar siempre presente, por su invaluable apoyo y por sus palabras de aliento en los momentos difíciles.

Al Dr. Fausto A. Sánchez Cruz por su valioso asesoramiento y dedicación a este proyecto durante el tiempo que me tomó desarrollar esta investigación, por su paciencia y sobre todo por los consejos otorgados.

A mi esposa Evelyn R. García Tamez por su apoyo constante e incondicional, y por su paciencia en las horas invertidas en este proyecto.

A mi padre el Ing. Emigdio J. Pérez Ruiz por su apoyo en la elaboración del modelo experimental.

Al Dr. Arturo Morales Fuentes y Dr. Santos Méndez Díaz por el apoyo que me brindaron desinteresadamente para el desarrollo de este trabajo.

Al Ing. Rene Mondragón González y M.C. Hugo G. Ramírez Hernández por su soporte brindado en el laboratorio de pruebas.

Al Ing. Fernando Villareal Montemayor por facilitarme el material y asesoramiento del aislamiento térmico.

INDICE

Capítulo I

| | |
|---|----|
| Antecedentes..... | 3 |
| Marco Teórico..... | 3 |
| Mecanismos de transferencia de calor..... | 13 |
| Objetivo..... | 15 |
| Hipótesis..... | 15 |

Capítulo II

| | |
|---------------------------------|----|
| Metodología..... | 16 |
| Modelo a analizar..... | 20 |
| Diseño de Experimento..... | 21 |
| Creación del Modelo Físico..... | 22 |

Capítulo III

| | |
|--|----|
| Desarrollo de las Pruebas..... | 40 |
| Análisis de Resultados Preliminares..... | 53 |
| Ampliación de Resultados..... | 55 |
| Verificación de Resultados..... | 61 |

Capítulo IV

| | |
|-----------------|----|
| Conclusión..... | 66 |
|-----------------|----|

| | |
|---------------------|-----|
| Anexo R-1..... | 67 |
| Anexo R-2..... | 75 |
| Anexo R-3..... | 93 |
| Anexo R-4..... | 108 |
| Valor Agregado..... | 115 |
| Bibliografía..... | 116 |

Capítulo I

Antecedentes

Continuamente se trabaja en el desarrollo de metodologías para la aplicación de Aislamiento Térmicos en dispositivos específicos con el objeto de ofrecer mejores soluciones a los usuarios de la compañía Ruhrpumpen. Particularmente, resulta de gran importancia la reducción de la temperatura de la superficie expuesta de las bombas centrífugas en sistemas de proceso. Esto debido que al manejar fluidos a alta temperatura y por la posibilidad de que exista transferencia de calor, produciendo un alto riesgo al personal operativo de nuestros clientes.

Por el momento solamente se cuenta en Ruhrpumpen con revestimientos (chaquetas) con el propósito de reducir el nivel de ruido de la bomba, pero no con el propósito de reducir la temperatura externa de la bomba.

En proyectos actuales para las Refinerías de PEMEX, han solicitado requerimientos de colchas térmicas requiriéndose apego con la normativa NRF-034-PEMEX-2011 [1] “AISLAMIENTOS TERMICOS PARA ALTAS TEMPERATURAS EN EQUIPOS, RECIPIENTES Y TUBERIA SUPERFICIAL”, en la cual requieren de aislamientos térmicos de alta temperatura con rango de 310 K (37 °C) a 1088 K (815 °C), evitando riesgos en la salud de los trabajadores y minimizando el impacto ambiental para las instalaciones donde se apliquen estos materiales.

Marco Teórico

La Fundación de la Energía de la Comunidad de Madrid realizó una Guía Sobre Materiales Aislantes y Eficiencia Energética. En dicha Guía se menciona que la Fibra de Vidrio, por su estructura flexible y térmica, cuenta con una estructura entrelazada que mantiene el aire inmóvil, siendo además incombustible, dado su origen inorgánico. Dentro de las Lanas Minerales se distinguen dos familias: las Lanas de Vidrio y las Lanas de Roca, elaboradas fundiendo arena o rocas basálticas, respectivamente. La Figura 1 muestra el proceso de fabricación de la Fibra de Vidrio.

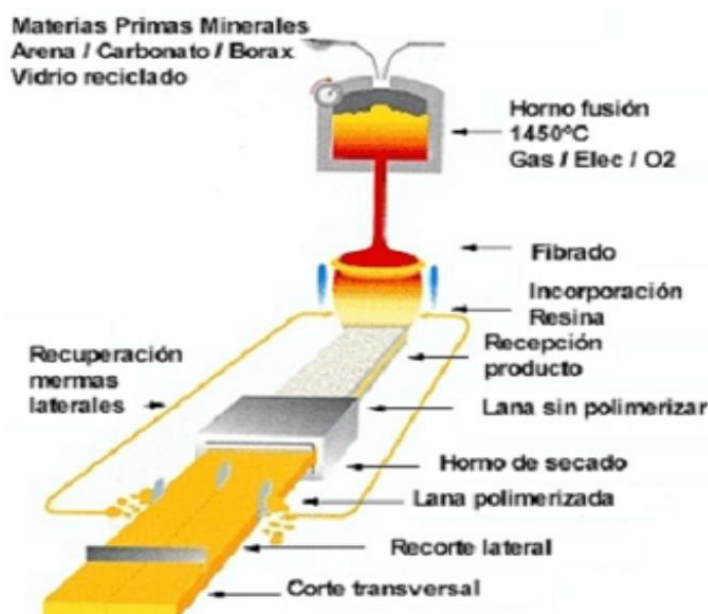


Figura 1. Proceso de Fabricación de la Lana de Vidrio [2].

Por sus propiedades, las Fibras de Vidrio y Lanas Minerales son aislantes que cumplen con una triple condición: aislamiento acústico, aislamiento térmico y, por su naturaleza incombustible, protección contra el fuego.

En el contexto nacional, existen Normas que establecen Aplicaciones y Metodologías para la selección de un Aislamiento Térmico para Protección del Personal.

La normativa de PEMEX NRF-034-PEMEX-2011 “Aislamientos Térmicos para Altas Temperaturas en Equipos, Recipientes y Tubería Superficial”, define los siguientes puntos importantes para nuestro tema:

Para instalaciones existentes, cuando se sustituya el sistema termoaislante, el nuevo material seleccionado puede ser cualquiera de los indicados en esta norma y debe cumplir con la máxima transferencia de calor permisible.

Los materiales termoaislantes deben cumplir con los siguientes requisitos:

- Deben ser resistentes al paso de calor dentro del rango de temperatura especificado.
- No deben ser corrosivos para la superficie del metal donde se instalará, por lo que el usuario debe especificar el material por aislar.
- Su manejo no debe causar daños al personal, por lo que no deben ser tóxicos, deben ser libres de asbestos y no deben ser clasificados como cancerígenos.
- No deben incrementar el riesgo en la instalación, por lo que no deben ser inflamables o combustibles y en caso de exponerse al fuego no deben desprender vapores tóxicos.
- Deben ser clasificados como residuos de manejo especial, tanto el material sobrante de la instalación inicial como el retirado, una vez que se terminó su tiempo de vida útil. No es permitido el uso de materiales que para su deposición final sean clasificados como residuo peligroso.
- Deben ser resistentes a bacterias y hongos.
- Deben mantener sus propiedades, aún sometidos a temperaturas extremas. Despues de 96 horas operando en esta condición, no deben presentar grietas, roturas o disminución de espesor.
- La conductividad térmica debe ser constante a través de la vida útil de los mismos.
- Se requiere que los termoaislantes y materiales complementarios sean, en seco, y con pH alcalino 7.5 como mínimo. Se debe evitar el uso de materiales que al humedecerse adquieran condiciones de acidez para evitar corrosión.
- Debe evitarse el uso de materiales higroscópicos, ya que la presencia de agua genera soluciones de sustancias arrastradas por el vapor ambiental, como cloruros, nitratos y sulfatos, provocando corrosión sobre el acero al carbono y acero inoxidable.

Los materiales aplicables para los sistemas de aislamiento térmico son los indicados en la Tabla 1.

| Material termoaislante | Tipo genérico | Formas de presentación y aplicación | Especificación ASTM o equivalente |
|------------------------|------------------|--|---|
| Lana de roca | Fibras Minerales | Colchas Preformado para tubería Placas Cemento Monolítico | ASTM C592 Tipo II ASTM C547 Tipo II ASTM C612 Tipo V ASTM C449 |
| Fibra de vidrio | Fibras Minerales | Colchas Preformado para tubería | ASTM C592 Tipo I ASTM C547 Tipo I |
| Perlite expandida | Granulares | Preformado para tubería Placas | ASTM C610 ASTM C610 |
| Silicato de calcio | Granulares | Preformado para tubería Placas | ASTM C533 Tipo I ASTM C533 Tipo I y II |

Tabla 1. Materiales para sistemas termoaislantes [1].

Las bridas, válvulas, instrumentos de medición, bombas y equipos o accesorios de mantenimiento frecuente, deben aislarse con termoaislantes removibles. Como alternativa a termoaislantes removibles se podrá forrar con el material termoaislante los accesorios indicados, previa consulta y aprobación del organismo subsidiario. Los termoaislantes preformados podrán aplicarse en su dimensión original o podrán redimensionarse haciendo trazos y cortes necesarios dependiendo de los accesorios y conexiones de tubería, válvulas, así como en bombas o equipo de geometría no uniforme, de manera que se asegure que acoplen perfectamente sobre la superficie donde se instalarán, no dejando espacio entre éstas.

Dentro de esta normativa NRF-034-PEMEX-2011 en el punto “**8.5 Termoaislantes removibles**” establece lo siguiente:

El espesor debe ser igual o mayor al del termoaislante fijo adyacente y debe usarse entre otras, en las siguientes áreas de mantenimiento frecuente:

- a) Válvulas en tubería.
- b) Juego de bridas en tubería.
- c) Registros de hombre y puertos de inspección.
- d) Tapas bridadas de cabezas de cambiadores de calor.
- e) Cuerpos de bombas
- f) Cuerpos de turbinas
- g) Cuerpos de compresores
- h) Indicadores de nivel (Nivel óptico “LG”, trasmisores de nivel)
- i) Juntas de expansión

Equipos como bombas, compresores, turbinas entre otros se deben forrar con cubiertas aislantes flexibles y removibles (ASTM C-1094 o equivalente).

Nota: En resumen el ASTM C-1094 [3], define aislamientos flexibles.

Los métodos para el cálculo de la trasferencia de calor deben estar basados en lo establecido en la NOM-009-ENER-1995 o en la ISO 12241. En el “Anexo A” se ejemplifica un método de cálculo de la norma oficial mexicana, en el cual definen lo siguiente:

Anexo A. Ejemplo de cálculo

El ejemplo que se muestra está en apego de lo establecido en la NOM-009-ENER-1995 [4].

Se tiene una tubería de 0.3048 m de diámetro (12 in) con una temperatura de operación de 633 K (360 °C). La temperatura ambiente es 305 K (32 °C). La velocidad del aire es 10 000 m/h. La emisividad para aluminio usado es 0.4. Se usa como termoaislante con enchaquetado metálico de aluminio. El espesor termoaislante es 0.1016 m (4 in).

Para definir el comportamiento del sistema termoaislante se aplica el siguiente procedimiento:

Resumen de datos:

$$\begin{aligned}
 \text{Diámetro nominal (Dn)} &= 12 \\
 \text{Diámetro exterior (Dr)} &= 12.75 \text{ in} = 0.3239 \text{ m} \\
 \text{Diámetro aislado (Da)} &= Dr + 2E = 0.3239 + (2 \times 0.1016) \\
 &= 0.5271 \text{ m}
 \end{aligned}$$

$$T_{op} = 633 \text{ K (360 }^{\circ}\text{C)}$$

$$T_a = 305 \text{ K (32 }^{\circ}\text{C)}$$

$$V = 10\,000 \text{ m/h}$$

$$\epsilon = 0.4$$

$$E = 0.1016 \text{ m}$$

Procedemos a aplicar la ecuación (2): transferencia de calor en tuberías (superficies cilíndricas).

$$Q = \frac{Top - Ta}{Eeq/k + 1/f} \quad (2)$$

En esta ecuación se está aplicando Transferencia de Calor por:
Conducción, Convección y Radiación.

El espesor equivalente (E_{eq}) se calcula con la siguiente ecuación:

$$E_{eq} = r_2 \ln(r_2/r_1)$$

$$r_1 = 0.3239/2 = 0.1619 \text{ m}$$

$$r_2 = r_1 + E = 0.1619 + 0.1016 = 0.2635 \text{ m}$$

Entonces:

$$E_{eq} = 0.2635 \ln(0.2635/0.1619) = 0.1283 \text{ m}$$

La conductividad térmica se determina en función de la temperatura media. Ésta, se calcula de manera aritmética, así:

$$T_m = \frac{Top - Ts}{2} \text{ (K)} \quad (\text{°C}) \dots\dots (3)$$

Sin embargo, T_s (temperatura de la superficie exterior) es desconocida, ya que es una consecuencia de la transferencia de calor que aún no conocemos, de modo que en este momento tenemos una ecuación de dos incógnitas que debemos resolver por tanteo y error. Para empezar, suponemos una temperatura superficial que cumpla la siguiente condición:

$Top \gg Ts > Ta$

$$T_{ss} = \text{Temperatura de superficie supuesta [K] [°C]} T_{ss} \\ = 313 \text{ K (40 °C)}$$

Entonces,

$$T_m = \frac{633 + 313}{2} = 473 \text{ K (200°C)}$$

Por otra parte, la ecuación de la conductividad aproximada del material usado:

$$K = 0.06711 - (2.2641 \times 10^{-4} T_m) [\text{K}] + (4.196 \times 10^{-7} T_m^2) \text{ W/m-K}$$

$$K = 0.05389 \text{ W/m-K} \quad (0.04634 \text{ kCal-m/h-m}^2\text{-}^\circ\text{C})$$

Nota: Corregir la ecuación de conductividad de acuerdo con el material usado.

Este valor lo aplicamos en la ecuación (2)

$$Q = \frac{633 - 305}{0.1283/0.05389 + 1/f}$$

Como $f = hr + hc$:

$$hc = 2.7241 \text{ C Da}^{-0.2} [1.11/(Ts+Ta-510.44)]^{0.181} [1.8(Ts-Ta)]^{0.266} [1+(7.9366 \times 10^{-4} V)]^{0.5}$$

En esta ecuación “hc” la definimos como el “coeficiente de transferencia de calor por convección”, ya que se considera la velocidad del viento.

$$hr = 0.9824 \times 10^{-8} e [(Ta^4 - Ts^4)/(Ts-Ta)].$$

En esta ecuación “hr” la definimos como el “coeficiente de transferencia de calor por radiación” ya que se considera la emisividad del aislante.
 Localizamos una observación:
 Donde se indica $(Ta^4 - Ts^4)$ se encuentran al revés dichos términos, lo correcto es $(Ts^4 - Ta^4)$, ya que se observará que de esta forma integran los valores en el desarrollo de este ejemplo.

e Emisividad de la superficie

C Coeficiente de forma, 1,79 para superficies planas y 1,016 para tuberías, adimensional.

V Velocidad del aire m/h.

Ta Temperatura ambiente [K]

Ts Temperatura de superficie [K]

Da Diámetro exterior del termoaislante m.

$$hr = 0.9824 \times 10^{-8} \times 0.4 [(305^4 - 313^4)/(305-313)] = 0.4638 \text{ m}^2\text{-K/W}.$$

$$hc = 2.7241 \times 1.016 \times 0.5271^{-0.2} [1.11/(313+305-510.44)]^{0.181} [1.8(313-305)]^{0.266} [1+(7.9366 \times 10^{-4} \times 10,000)]^{0.5} = 8.3545 \text{ m}^2\text{-K/W}.$$

$$hr + hc = 0.4638 + 8.3545 = 8.8183 \text{ m}^2\text{-K/W}$$

$$1/f = 1/(hr + hc) = 0.1134 \text{ W/m}^2\text{-K}$$

$$Q = \frac{633 - 305}{0.1283/0.05389 + 0.1134} = 131.48 \text{ W/m}^2$$

$$Q = 131.48 \text{ W/m}^2 (113.04 \text{ Kcal/h-m}^2)$$

Con el resultado de este primer tanteo procedemos a calcular la temperatura de superficie que se deriva de esta transferencia de calor empleando la ecuación.

T_{sc} = Temperatura de superficie calculada [k] [°C]

$$T_{sc} = Q / f + T_a \quad (4)$$

$$T_{sc} = 131,48 \times 0,1134 + 305 = 319,91 \text{ K (46,91 °C)}$$

Entonces:

$$T_{sc} - T_{ss} = 319,91 - 313 = 6,91 \text{ K (°C)}$$

Como podemos observar, la diferencia entre la temperatura de superficie calculada y la supuesta es mucho mayor que 1.0, por lo tanto, siendo este valor el máximo aceptable, hacemos un nuevo tanteo. La secuencia es la siguiente:

- 1) $T_{ss} = 320 \text{ K (47 °C)}$
- 2) $hr = 0.9824 \times 10^{-8} \times 0.4 \left[(305^4 - 313^4) / (305 - 313) \right] = 0.4638 \text{ m}^2\text{-K/W}$
- 3) $hc = 2.7241 \times 1.016 \times 0.5271^{-0.2} \left[1.11 / (320 + 305 - 510.44) \right]^{0.181}$
 $[1.8(320-305)]^{0.266} [1 + (7.9366 \times 10^{-4} \times 10000)]^{0.5} = 9.763 \text{ m}^2\text{-K/W}$
- 4) $hr + hc = 0.480 + 9.763 = 10.243 \text{ m}^2\text{-K/W}$
- 5) $1/f = 1 / (hr + hc) = 0.09763 \text{ W/m}^2 \text{ - K}$
- 6) $T_m = (633 + 320) / 2 = 476.50 \text{ K (203.50 °C)}$
- 7) $k = 0.05450 \text{ W/m - K (0.04685 kCal-m/h-m}^2\text{-}^\circ\text{C)}$
- 8) $Q = (633 - 305) / [(0.1283 / 0.05450) + 0.09763]$
 $= 133.73 \text{ W/m}^2 \text{ (114.98 kCal/h-m}^2\text{)}$
- 9) $T_{sc} = 133.73 \times 0.09763 + 305 = 318.06 \text{ K (45.06 °C)}$
- 10) $T_{sc} - T_{ss} = 320 - 318.06 = 1.94$

Para este segundo tanteo la diferencia es menor. En sucesivas iteraciones esta diferencia tiende a cero. Bastarían cinco o diez para que las temperaturas de superficie supuesta y calculada se igualen hasta diezmilésimas; entonces, podemos considerar que el cálculo de la transferencia de calor es correcto. Así, el comportamiento del sistema termoaislante queda definido por los siguientes valores.

$$Q = 133.25 \text{ W/m}^2 \text{ (114.57 Kcal/h-m}^2\text{)}$$

$$K = 0.05435 \text{ W/m-K (0.04673 kCal-m/h-m}^2\text{-}^\circ\text{C)}$$

$$T_s = 318 \text{ K (45 °C)}$$

Para sistemas heterogéneos se empleará la siguiente ecuación:

$$Q = \frac{T_a - T_{top}}{E1/k1 + E2/k2 + 1/f}$$

Donde:

E1 Espesor de la primera capa de termoaislante.

- k1 Conductividad térmica de la primera capa de termoaislante.
- E2 Espesor de la segunda capa de termoaislante.
- k2 Conductividad térmica de la segunda capa de termoaislante

En la NORMA Oficial Mexicana NOM-009-ENER-1995 “Eficiencia energética en aislamientos térmicos industriales”, define lo siguiente puntos importantes para nuestro tema:

1.2.6 Cuando en un servicio de alta temperatura se desee pérdida de calor (como en condensadores, enfriadores, etc.) no debe utilizarse termoaislante. Sin embargo, cuando la temperatura superficial sea igual o mayor a 333 K (60°C) será necesario instalar aislamiento térmico para servicio de protección al personal.

2.2 Estándares ASTM C-195^[5] Mineral Fiber Thermal Insulation Cement

3.2 Material termoaislante. Material que posee baja conductividad térmica y que por tanto presenta una gran resistencia al paso de calor.

5.2.2 Flexibles. Preformados en hojas, rollos, tubos o unidades rectangulares que tienen un alto grado de flexibilidad. Los termoaislantes fibrosos y elastómetros se encuentran en esta forma.

5.2.3 Colchonetas flexibles. Están cubiertas con malla metálica (metal desplegado y malla de gallinero) en uno o en ambos lados. Pueden fácilmente adaptarse a superficies curvas e irregulares, de modo que simplifican su manejo y aplicación. Los termoaislantes fibrosos son producidos como colchonetas flexibles.

5.4.2 Fibra de vidrio. Es un termoaislante hecho a partir del estado de fusión de una mezcla de arenas con alto contenido de sílice. Según su proceso de manufactura se presenta en dos formas:

- a) Con aglutinantes orgánicos. Poseen estructura propia y preforma. Dan lugar a medias cañas y placas rígidas y semirrígidas. Su densidad comercial es comúnmente entre 16 y 96 Kg/m³, variable según el producto, uso, rigidez y temperatura de uso recomendado. Tienen baja conductividad térmica, facilidad de corte, alta capacidad para recuperar su forma, baja resistencia al impacto y a la compresión, buena estabilidad dimensional, bajos costos de instalación y buena absorción de ruido. Se deben proteger contra la intemperie y abuso mecánico.

Código NC-2, Medias cañas (NMX-C-230):

Clase I hasta 505 K (232°C)

Clase II hasta 727 K (454°C)

Código NC-3, Placas rígidas y semirrígidas (NMX-C-230):

Clase I hasta 505 K (232°C)

Clase II hasta 727 K (454°C)

- b) Con aceites minerales que evitan abrasión entre fibras y que dan lugar a colchonetas. Su densidad comercial usual es 48 kg/m³. Tienen baja conductividad térmica, facilidad de corte, alta resiliencia, baja resistencia al impacto y a la compresión, buena estabilidad dimensional, bajos costos de instalación y buena absorción de ruido. Se deben proteger con recubrimiento contra intemperismo y abuso mecánico.

Código NC-4, Colchoneta:

Clase I hasta 728 k (454°C)

6.1 Cálculo de la transferencia de calor en superficies aisladas.

A continuación se presenta un procedimiento de cálculo para predecir la pérdida o ganancia de calor y las temperaturas de superficie en equipos o tuberías aisladas. Se basa en la consideración de que la estructura del sistema aislante es uniforme, esto es, que el material aislante de las tuberías o las superficies aisladas es de densidad uniforme.

Nomenclatura

Los siguientes símbolos son usados para el desarrollo de las ecuaciones de este capítulo.

C = Coeficiente de forma, 1.79 para superficies planas y 1.016 para tuberías, adimensional.

esp = Espesor del material aislante, m.

top = Temperatura de operación, K

tsup = Temperatura supuesta de la superficie del termoaislante, K

ta = Temperatura ambiente, K

kais = Conductividad térmica del termoaislante, W/(m K)

V = Velocidad del viento, m/h

Emss = Emisividad de la superficie aislada, adimensional

do = Diámetro exterior del equipo o tubería aislado, m

Para el cálculo de la pérdida o ganancia de calor y la temperatura en la superficie en superficies planas o tuberías de diámetro mayor a 610 mm, se emplearan las siguientes relaciones.

1. Cálculo de coeficiente de transferencia de calor por convección natural y forzada, desde la superficie aislada hacia el ambiente, hc (W/m² K):

$$hc = 3.0075 \times C \times [1.11/(tsup + ta - 510.44)]^{0.181} \times [1.8 \times (tsup - ta)]^{0.266} \times (1 + 7.9366 \times 10 \times V)^{0.5}$$

2. Cálculo de coeficiente de transferencia de calor por radiación, hr (W/m² K):

$$hr = 0.9824 \times 10^{-8} \times Emss \times \frac{ta^4 - tsup^4}{ta - tsup}$$

3. Cálculo de coeficiente global de transferencia de calor, hs (W/m² K):

$$hs = hc + hr$$

4. Cálculo del flujo de calor por unidad de área, q (W/m²):

$$q = \frac{(top - ta)}{[(esp/kais) + (1/hs)]}$$

5. Verificación de la temperatura de superficie, tsc (K):

$$tsc = ta + \frac{q}{hs}$$

6. Convergencia de la temperatura de superficie

Si $tsup = tsc$, entonces las pérdidas de calor son igual a q y la temperatura en la superficie aislada es tsc . En caso contrario, hacer $tsup = tsc$ y regresar al punto No. 1 del procedimiento de cálculo para superficies planas.

Para el cálculo de la pérdida o ganancia de calor y la temperatura en la superficie en tuberías hasta 609 mm de diámetro nominal, se emplearán las siguientes relaciones:

1. Cálculo del diámetro aislado, da (m):

$$da = do + 2 \times esp$$

2. Cálculo del coeficiente de transferencia de calor por convección natural y forzada, desde la superficie aislada hacia el ambiente, hc (W/m K):

$$hc = 2.7241 \times Cx(da)^{-0.2} \times [1.11/(tsup + ta - 510.44)]^{0.181} \times [1.8 \times (tsup - ta)]^{0.266} \times (1 + 7.9366 \times 10^{-4} \times V)^{0.5}$$

3. Cálculo del coeficiente de transferencia de calor por radiación, hr (W/m² K):

$$hr = 0.9824 \times 10^{-8} \times Emss \times \frac{ta^4 - tsup^4}{ta - tsup}$$

4. Cálculo del coeficiente global de transferencia de calor, hs (W/m² K)

$$hs = hc + hr$$

5. Cálculo del flujo de calor, q (W/m):

$$q = \frac{\pi \times (top - ta)}{\frac{1}{2 \times kais} \times \ln \frac{da}{do} + \frac{1}{hs \times da}}$$

6. Verificación de la temperatura de superficie, tsc (K):

$$tsc = top - \frac{q}{2 \times \pi \times kais} \times \ln \frac{da}{do}$$

7. Convergencia de la temperatura de superficie.

Si $tsup = tsc$, entonces las pérdidas de calor son igual a **q** y la temperatura en la superficie aislada es **tsc**. En caso contrario, hacer $tsup = tsc$ y regresar al punto No. 1 del procedimiento de cálculo para tuberías.

7. Aplicación de aislamiento termico

7.1 Limpieza

7.1.1 La superficie por aislar deberá limpiarse perfectamente, eliminando óxidos, grasas o escoria, usando medios mecánicos como fibra, cepillo de alambre o chorro de arena y/o químicos como solventes aromáticos o gasolina.

7.1.2 No se deben usar solventes clorados para limpiar superficies de acero inoxidable.

Las siguientes son ilustraciones de aislantes aplicados en bombas (Figura 2 y Figura 3):

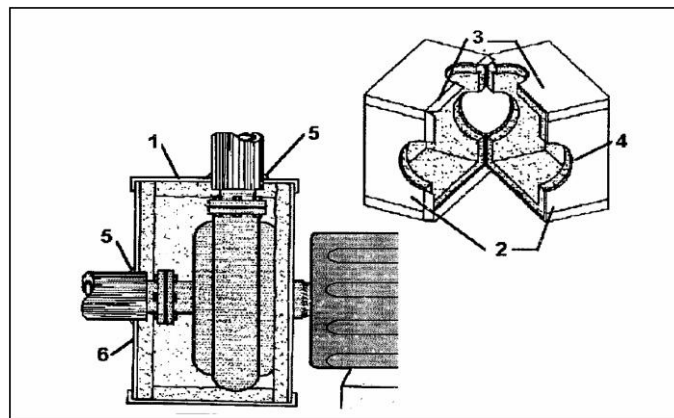


Figura 2. Aislamiento para cubiertas removibles de equipo metálico [4].

Lista de materiales:

1. Cubierta de metal alineada con el aislamiento
2. Secciones de la cubierta
3. Uniones con pijas
4. Cortes para tuberías
5. Sellador O.M.4

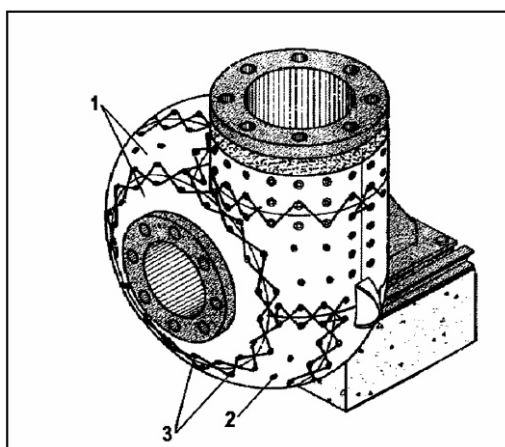


Figura 3. Colchas de aislamiento flexible para alta temperatura [4].

Lista de materiales:

1. Colcha de aislamiento preformado
2. Botones de amarre
3. Ganchos y alambre

Mecanismos de transferencia de calor

El *Calor* se define como la forma de energía que se puede transferir de un sistema a otro como resultado de la diferencia de temperatura.

Un análisis termodinámico se interesa en la cantidad de calor transferido conforme un sistema pasa por un proceso, de un estado de equilibrio a otro. La ciencia que trata de la determinación de las razones de esas transferencias de energía es la transferencia de calor. La transferencia de energía como calor siempre se produce del medio que tiene la temperatura más elevada hacia el de temperatura más baja, y la transferencia de calor se detiene cuando los dos medios alcanzan la misma temperatura.

La determinación de las razones de transferencia del calor hacia un sistema y desde éste y, por tanto, los tiempos de enfriamiento o de calentamiento, así como de la variación de la temperatura, son el tema de la transferencia de calor.

El requisito básico para la transferencia de calor es la presencia de una diferencia de temperatura. No puede haber transferencia neta de calor entre dos medios que están a la misma temperatura. La diferencia de temperatura es la *fuerza impulsora* para la transferencia de calor.

La rapidez de la transferencia de calor en cierta dirección depende de la magnitud del gradiente de temperatura (la diferencia de temperatura por unidad de longitud o la razón de cambio de la temperatura en esa dirección). A mayor gradiente de temperatura, mayor es la razón de la transferencia de calor.

Áreas de aplicación de la transferencia de calor

Es común encontrar la transferencia de calor en los sistemas de ingeniería y otros aspectos de la vida y no es necesario ir muy lejos para ver algunas de sus áreas de aplicación. Por ejemplo, el cuerpo humano emite calor en forma constante hacia sus alrededores y la comodidad humana está íntimamente ligada con la razón de este rechazo de calor.

El calor se puede transferir en tres modos diferentes: conducción, convección y radiación. Todos los modos de transferencia de calor requieren la existencia de una diferencia de temperatura y todos ellos ocurren del medio que posee la temperatura más elevada hacia uno de temperatura más baja [6].

En la Figura 4 se muestran ilustraciones de los procesos de la transferencia de calor.

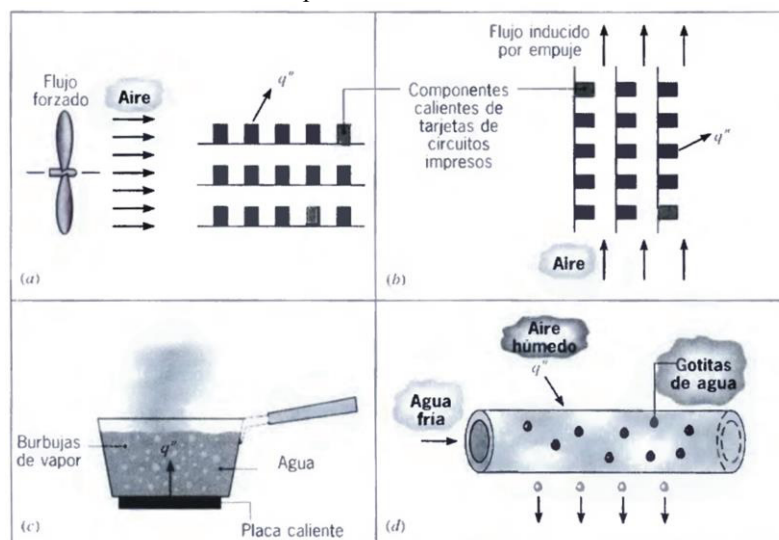


Figura 4. Procesos de transferencia de calor por convección. (a) Convección forzada.
(b) Convección natural. (c) Ebullición. (d) Condensación [7].

Conducción

La conducción es la transferencia de energía de las partículas más energéticas de una sustancia hacia las adyacentes, menos energéticas, como resultado de la interacción entre ellas.

Uno de los objetivos principales en un análisis de conducción es determinar el campo de temperatura en un medio que resulta de las condiciones impuestas sobre sus fronteras. Es decir deseamos conocer la distribución de temperaturas, que representa como varía la temperatura con la posición en el medio. Una vez que se conoce esta distribución, el flujo de calor por conducción en cualquier punto en el medio o en la superficie se calcula a partir de la ley de Fourier. También es posible determinar otras cantidades importantes. Para un sólido, el conocimiento de la distribución de temperaturas sirve para comprobar la integridad estructural mediante la determinación de los esfuerzos térmicos, sus expansiones y deflexiones. La distribución de temperaturas también es útil para optimizar el espesor de un material aislante o para determinar la compatibilidad de recubrimientos o adhesivos especiales que se usan con el material.

La ley de Fourier puede usarse para calcular la transferencia de calor por conducción a partir del conocimiento de la distribución de temperaturas, aun para condiciones no estables con generación interna de calor [6].

Convección

La convección es el modo de transferencia de calor entre una superficie sólida y el líquido o gas adyacentes que están en movimiento, y comprende los efectos combinados de la conducción y la advección que resulta del movimiento del fluido [6].

La transferencia de calor por convección se debe al movimiento del fluido. El fluido frío adyacente a superficies calientes recibe calor que luego transfiere al resto del fluido frío mezclándose con él. La convección libre o natural ocurre cuando el movimiento del fluido no se complementa con agitación mecánica. Pero cuando el fluido se agita mecánicamente, el calor se transfiere por convección forzada. La agitación mecánica puede aplicarse por medio de un agitador, aun cuando en muchas aplicaciones de proceso se induce circulando los fluidos calientes y fríos a velocidades considerables en lados opuestos de tubos. Las convecciones libre y, forzada ocurren a diferentes velocidades, la última es la más rápida y por lo tanto, la más común en procesos industriales. Los factores que promueven altas transferencias para la convección forzada, no necesariamente tienen el mismo efecto en la convección libre [8].

El siguiente planteamiento, mostrado en la Figura 5, podemos asimilarlo como el comportamiento generado en una bomba centrífuga horizontal. En el caso mostrado la temperatura del aire adyacente al huevo es más elevada y, por consiguiente, su densidad es más baja, puesto que a presión constante la densidad de un gas es inversamente proporcional a su temperatura. Por tanto, tenemos una situación en la que algo de gas de baja densidad o “ligero” está rodeado por un gas de alta densidad o “pesado” y las leyes naturales dictan que el gas ligero suba. Esto no es diferente a que el aceite en un aderezo para ensalada hecho de vinagre y aceite suba hacia la parte superior (puesto que $\rho_{aceite} < \rho_{vinagre}$). Este fenómeno se caracteriza de manera incorrecta mediante la frase “el calor sube”, la cual debe entenderse como: el aire calentado sube. El espacio que deja el aire más caliente en la vecindad del huevo es vuelto a llenar por aire más frío cercano y la presencia de éste en el espacio inmediato al huevo acelera el proceso de enfriamiento. El acento del aire más caliente, y el flujo del aire más frío para ocupar su lugar continúan hasta que el huevo se enfría y alcanza la temperatura del aire circundante.

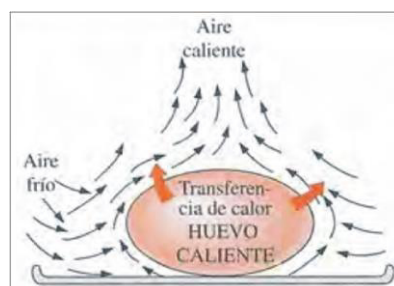


Figura 5. Enfriamiento de un huevo cocido en un medio ambiente más frío por convección natural [6].

Radiación

La radiación es la energía emitida por la materia en forma de ondas electromagnéticas (o fotones), como resultado de los cambios en las configuraciones electrónicas de los átomos o moléculas [6].

Los aislantes térmicos se componen de materiales de baja conductividad térmica combinados para lograr un sistema de conductividad térmica aún más baja. En aislantes tipo fibra, polvo y escamas, el material sólido se dispersa finamente en el espacio de aire. Estos sistemas se caracterizan por una conductividad térmica efectiva, que depende de la conductividad térmica y de las propiedades radiactivas de la superficie del material sólido, así como de la naturaleza y fracción volumétrica del aire o espacio vacío. Un parámetro especial del sistema es su densidad global (masa del sólido/ volumen total), que depende en gran medida de la forma en la que se conecta al material sólido.

Si se forman pequeños vacíos o espacios huecos al pegar o fundir parte del material sólido, se crea una matriz rígida. Cuando estos espacios se sellan, el sistema se denomina aislante celular. Ejemplos de estos aislantes rígidos son los sistemas de espuma, en particular los que se hacen con materiales plásticos y de vidrio. Los aislantes reflectores se componen de láminas u hojas delgadas multicapa paralelas de alta reflectividad, que están espaciadas para reflejar el calor radiante de regreso a su fuente. El espacio entre las hojas se diseña para restringir el movimiento del aire, y el espacio incluso está al vacío en aislantes de alto rendimiento. En todos los tipos de aislantes, la evacuación del aire en el espacio vacío reduce la conductividad térmica del sistema.

Es importante reconocer que la transferencia de calor a través de cualquier de estos sistemas aislantes incluye varios modos: conducción por los materiales sólidos; conducción o convección a través del aire en los espacios vacíos; y, si la temperatura es suficientemente alta, intercambio de radiación entre las superficies de la matriz sólida. La conductividad térmica efectiva da cuenta de todos estos procesos [7].

Resistencia Térmica

La Resistencia Térmica es la oposición que presenta un cuerpo para transferir calor, por lo cual está relacionada con la caída de temperatura a través de cada capa o pared del cual se componga [6].

Objetivo

Validar la oportunidad de la aplicación de la Norma de PEMEX NRF-034-PEMEX-2011 para la selección de un aislamiento térmico aplicable a una bomba centrífuga que opera a alta temperatura. Mediante la aplicación de la citada Norma se espera seleccionar adecuadamente el aislamiento térmico que permita reducir la temperatura externa de la bomba centrífuga, debido a que al manejarse fluidos a alta temperatura, el calor que se transfiere al exterior de la bomba genera un alto riesgo al personal operativo de las mismas.

Hipótesis

Es factible validar la oportunidad de la aplicación de la Norma de PEMEX NRF-034-PEMEX-2011 para la selección de un aislamiento térmico aplicable a una bomba centrífuga que opera a alta temperatura mediante la comparación obtenida con el uso de la metodología de la Norma, y los resultados obtenidos a través de pruebas físicas en un modelo que tenga semejanza geométrica y que opere bajo condiciones similares de temperatura de superficie externa, equiparables a las de una bomba centrífuga.

Capítulo II

Metodología

En vista de que se requiere realizar un análisis experimental con una geometría similar a la de una bomba centrífuga horizontal, se propone entonces construir un cilindro desde el que sea posible, de forma controlada, establecer una temperatura de superficie exterior equivalente a la que se presenta en el dispositivo real. Se propone fabricar un cilindro de cemento con un diámetro de 28 cm y altura de 9 cm, en el cual se coloca en su interior una Resistencia Eléctrica. Como consecuencia de los cambios térmicos se espera que este cilindro esté expuesto a contracciones intensas por lo que se refuerza internamente con una malla de acero, lo que deberá otorgar rigidez al cilindro de cemento.

Primero debemos calcular la potencia (calor) que debe generar la resistencia térmica, suponiendo que en la parte externa del aislamiento no debe superar 60°C, cuando se coloque un aislamiento térmico con espesor de 5.08 cm (2’’), y la Temperatura Ambiente se encuentre en 30 °C. Procedemos con los cálculos establecidos a partir de los Fundamentos de la Transferencia de Calor y Masa [7]:

El calor transferido por calor natural se calcula como:

$$q_{conv} = hA(T_s - T_\infty)$$

donde

$$\bar{h} = \frac{k}{D} \overline{Nu}_D \quad \text{ó} \quad \bar{h} = \frac{k}{L} \overline{Nu}_L$$

Siendo Nu_L el número de Nusselt, que es función del número de Rayleigh definido como:

$$Ra_D = \frac{g\beta(T_s - T_\infty)D^3}{\nu\alpha}$$

Donde el coeficiente de expansión térmica y la temperatura media son respectivamente:

$$\beta = \frac{1}{T_m} \quad T_m = \frac{T_s + T_\infty}{2}$$

Considerando la periferia del Cilindro el número de Nusselt esta dado por la siguiente correlación  [7]:

$$\overline{Nu}_D = \left[0.60 + \left[\frac{0.387 Ra_D^{1/6}}{1 + (0.559/\Pr)^{9/16}} \right]^{8/27} \right]^2$$

Donde el área esta dada por:

$$A = 2 * \pi * r * h$$

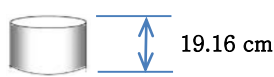
Por otra parte, considerando las caras del Cilindro (Círculo)  :

$$\overline{Nu}_L = 0.68 + \frac{0.670 Ra_L^{1/4}}{\left[1 + (0.492 / Pr)^{9/16}\right]^{4/9}}$$

Donde el área esta dada por:

$$A = \pi * r^2$$

Las dimensiones externas del Cilindro, ya considerando que se incluye el Aislamiento Térmico son las siguientes:



Considerando las siguientes Temperaturas:

$$T_s = 60^\circ\text{C} + 273 = 333 \text{ K};$$

T_s : Temperatura Superficie.

$$T_\infty = 30^\circ\text{C} + 273 = 303 \text{ K};$$

T_∞ : Temperatura Ambiente.

$$T_m = \frac{T_s + T_\infty}{2} = \frac{333K + 303K}{2} = 318K$$

A partir de la Temperatura Media, obtenemos las siguientes propiedades de la Tabla 2, “Propiedades termofísicas de gases a presión atmosférica”:

| T (K) | ρ (kg/m ³) | c_p (kJ/kg · K) | $\mu \cdot 10^7$ (N · s/m ²) | $v \cdot 10^6$ (m ² /s) | $k \cdot 10^3$ (W/m · K) | $\alpha \cdot 10^6$ (m ² /s) | Pr |
|-------------|--------------------------------|----------------------|---|---------------------------------------|-----------------------------|--|-------|
| Aire | | | | | | | |
| 100 | 3.5562 | 1.032 | 71.1 | 2.00 | 9.34 | 2.54 | 0.786 |
| 150 | 2.3364 | 1.012 | 103.4 | 4.426 | 13.8 | 5.84 | 0.758 |
| 200 | 1.7458 | 1.007 | 132.5 | 7.590 | 18.1 | 10.3 | 0.737 |
| 250 | 1.3947 | 1.006 | 159.6 | 11.44 | 22.3 | 15.9 | 0.720 |
| 300 | 1.1614 | 1.007 | 184.6 | 15.89 | 26.3 | 22.5 | 0.707 |
| 350 | 0.9950 | 1.009 | 208.2 | 20.92 | 30.0 | 29.9 | 0.700 |
| 400 | 0.8711 | 1.014 | 230.1 | 26.41 | 33.8 | 38.3 | 0.690 |
| 450 | 0.7740 | 1.021 | 250.7 | 32.39 | 37.3 | 47.2 | 0.686 |
| 500 | 0.6964 | 1.030 | 270.1 | 38.79 | 40.7 | 56.7 | 0.684 |
| 550 | 0.6329 | 1.040 | 288.4 | 45.57 | 43.9 | 66.7 | 0.683 |

Tabla 2. Propiedades termofísicas de gases a presión atmosférica [7].

$\nu = 17.7 \times 10^{-6} \text{ m}^2/\text{s}$; Viscosidad Cinemática.

$\alpha = 25.2 \times 10^{-6} \text{ m}^2/\text{s}$; Difusividad Térmica.

$k = 27.6 \times 10^{-3} \text{ W/m}\cdot\text{K}$; Conductividad Térmica.

$Pr = 0.704$; Número de Prandtl

$$\beta = \frac{1}{T_m} = \frac{1}{318K} = 0.00314 K^{-1}$$

Coeficiente de expansión volumétrica

$$Ra_D = \frac{g\beta(T_s - T_\infty)D^3}{\nu\alpha} \quad \text{Número de Rayleigh}$$

$$Ra_D = \frac{(9.8 \text{ m/s}^2)(0.00314 \text{ K}^{-1})(333K - 303K)(0.3816m)^3}{(17.7 \times 10^{-6} \text{ m}^2/\text{s})(25.2 \times 10^{-6} \text{ m}^2/\text{s})}$$

$$Ra_D = 128.250 \times 10^6$$

Realizamos el cálculo en la periferia del cilindro:

$$\bar{Nu}_D = \left[0.60 + \frac{0.387 Ra_D^{1/6}}{\left[1 + (0.559/\text{Pr})^{9/16} \right]^{8/27}} \right]^2 \quad \text{Número de Nusselt}$$

$$\bar{Nu}_D = \left[0.60 + \frac{(0.387)x(128.250 \times 10^6)^{1/6}}{\left[1 + (0.559/0.704)^{9/16} \right]^{8/27}} \right]^2$$

$$\bar{Nu}_D = \left[0.60 + \frac{8.6906}{1.2059} \right]^2$$

$$\bar{Nu}_D = 60.945$$

$$\bar{h} = \frac{k}{D} \bar{Nu}_D = \frac{0.0276 w/m \cdot k}{0.3816m} \times 60.945 \quad \text{Coeficiente de Transferencia de Calor por Convección.}$$

$$\bar{h} = 4.407 w/m^2 \cdot k$$

$$A = 2 * \pi * r * h = 2 * \pi * 0.1908 \text{ m} * 0.1916 \text{ m} = 0.2296 \text{ m}$$

De tal forma que el calor transferido es:

$$Q_{conv} = \bar{h}A(T_s - T_\infty) = (4.407 w/m^2 \cdot k) \times (0.2296m) \times (333^\circ K - 303^\circ K) = 30.35W$$

Realizamos el cálculo en las caras del cilindro:

$$\bar{Nu}_L = 0.68 + \frac{0.670 Ra_L^{1/4}}{\left[1 + (0.492/\text{Pr})^{9/16} \right]^{4/9}}$$

$$\bar{Nu}_L = 0.68 + \frac{(0.670)x(128.250 \times 10^6)^{1/4}}{\left[1 + (0.492/0.704)^{9/16} \right]^{4/9}}$$

$$\overline{Nu}_L = 0.68 + \frac{71.299}{1.304}$$

$$\overline{Nu}_L = 55.357$$

$$\bar{h} = \frac{k}{L} \overline{Nu}_L = \frac{0.0276 w/m \cdot K}{0.1916 m} \times 55.357$$

$$\bar{h} = 7.974 w/m^2 \cdot K$$

$$A = \pi * r^2 = \pi * (0.1908 \text{ m})^2 = 0.1143 \text{ m}$$

Entonces el calor transferido por las caras es:

$$q_{conv} = hA(T_s - T_\infty) = (7.974 \text{ w/m}^2 \cdot K) \times (0.1143 \text{ m}) \times (333 \text{ K} - 303 \text{ K})$$

$$q_{conv} = 27.342 \text{ W} \times 2 \text{ (Caras del Cilindro)} = 54.684 \text{ W}$$

Por lo anterior, la Potencia Total requerida que debe ser disipada por la Resistencia Eléctrica del modelo físico para mantener una temperatura externa de 60°C debe ser aproximadamente: $30.35 \text{ W} + 54.684 \text{ W} = \boxed{85.034 \text{ W}}$

Teniendo ya el dato de la Potencia (calor) requerida en el modelo físico, se selecciona la impedancia (ohms) de la resistencia eléctrica a manejar, y la corriente (A) que circulará en el Transformador de 24V, esto de acuerdo a las ecuaciones indicadas en la figura 6:

$$P = 85.034 \text{ W.}$$

$$V = 24 \text{ V.}$$

$$P = V \cdot I \quad \therefore \quad I = \frac{P}{V}$$

$$I = \frac{P}{V} = \frac{85.034 \text{ W}}{24 \text{ V}} = 3.54 \text{ A}$$

$$V = R \cdot I \quad \therefore \quad R = \frac{V}{I}$$

$$R = \frac{V}{I} = \frac{24 \text{ V}}{3.54 \text{ A}} = 6.77 \text{ Ohms}$$

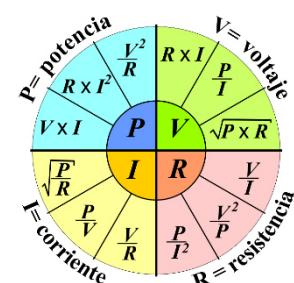


Figura 6. Ecuaciones de Potencia / Voltaje / Corriente / Resistencia [9].

De acuerdo a los cálculos anteriores se requiere de una resistencia eléctrica de 6.7 Ohms y un Transformador de 24V – 5 A.

Modelo a analizar

El modelo analizar es el Aislamiento de Fibra de Vidrio “SCR Fiberglas” con un espesor de 2”, el cual cuenta con las siguientes características del proveedor (Ver Figura 7):

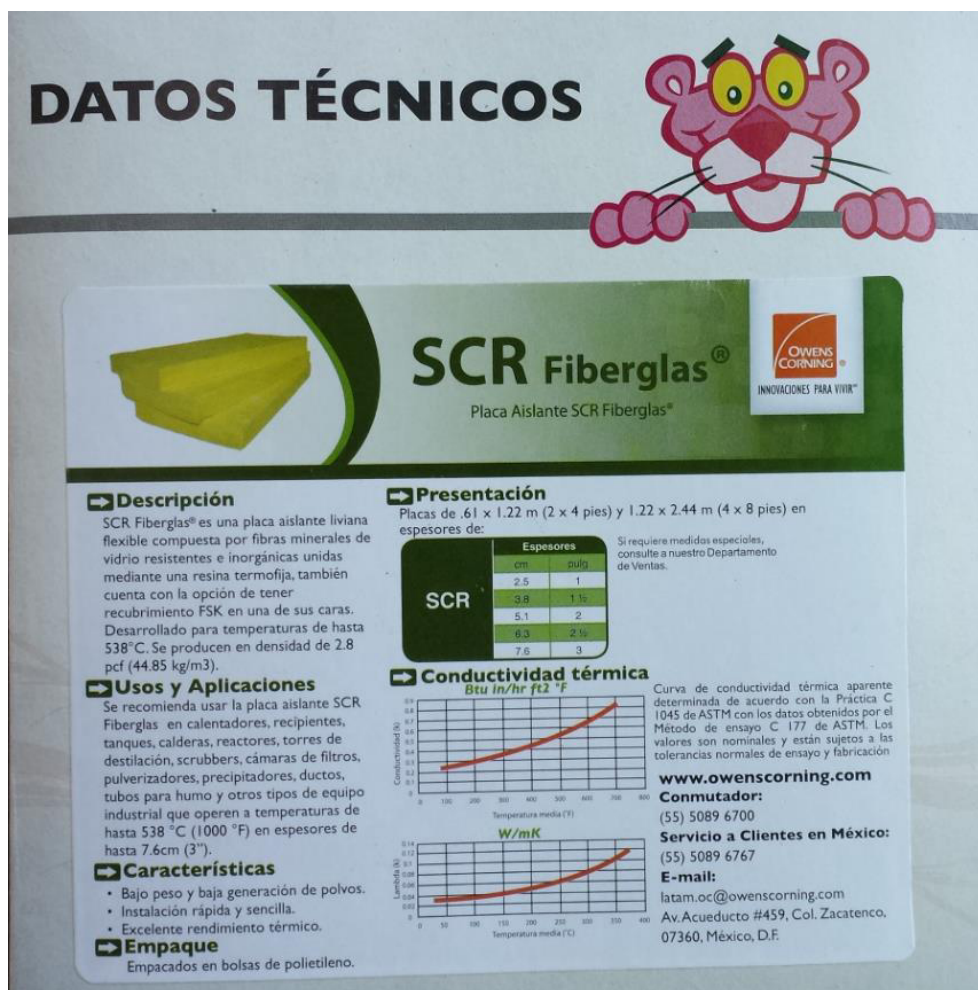


Figura 7. Placa Aislante SCR Fiberglas.

Fibra de Vidrio Owens Corning para el Sector Industrial atiende los problemas de ahorro de energía, reducción del ruido, protección para el personal, pérdidas y ganancias de calor, principalmente. Se presentación es en plaquetas como se muestra en la Figura 8.

Productos de Fibra de Vidrio (Lana de Vidrio) Owens Corning



Figura 8. Productos de Fibra de Vidrio Owens Corning.

Los productos más representativos para el Sector Industrial son los siguientes:

- Sistema Thermorange (TRS): El TRS es el aislamiento térmico ideal para estufas, hornos de autolimpieza, boilers, chimeneas, incineradores, colectores solares y equipos de calefacción que operan a temperaturas de hasta 538°C (1000°F).
- Placas Serie 700 Fiberglas® se recomienda para el aislamiento térmico de equipos industriales, tales como: calderas, hornos, tanques, reactores y equipos de proceso. Tiene un excelente desempeño de absorción de acústica en cines, teatros, auditorios, estudios de grabación, para soportar temperaturas de hasta 232°C (450°F).
- Colchas RW4600 y RW 4300 desarrolladas para temperaturas de hasta 538°C (1000°F): Uso industrial en la generación eléctrica, gas, petroquímica básica y secundaria, refinación de petróleo, industria química, sacroquímica y naviera.
- **Placas SCR Fiberglas (Es el Aislamiento Manejado en Este Proyecto):** Se recomienda usar la placa aislante SCR Fiberglas® en calentadores, recipientes, tanques, calderas, reactores, torres de destilación, cámaras de filtros, etc. Las temperaturas a las que los equipos industriales deben trabajar para que el SCR tenga el mejor desempeño en espesores de hasta 20.32 cm (8"), son de hasta 538°C (1000°F).
- Fiberglas Aislamiento para tubería: Preformado con corte longitudinal abisagrado que se presenta con o sin barrera de vapor ASJ (All Service Jacket) ó FSK (Foil Scrim Kraft), para un rango de temperatura desde -18°C hasta 454°C (0°F hasta 850°F). Es el aislamiento térmico ideal para tuberías de proceso y servicio que conducen vapor, agua caliente, agua helada, refrigerantes, gases y toda clase de fluidos en que se requiera ahorrar energía.

Diseño de experimento

Se pretende analizar una geometría similar a la de una bomba horizontal, en este caso se usa como modelo una bomba API Tipo OH2, en la Figura 9 se ilustran imágenes de este tipo de bombas:

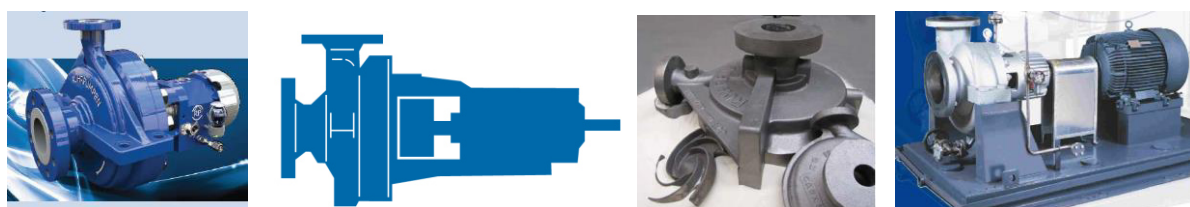


Figura 9. Imágenes de Bombas API tipo OH2.

Nota:

Centreline-mounted, single-stage overhung pumps shall be designated pump type OH2. They have a single bearing housing to absorb all forces imposed upon the pump shaft and maintain rotor position during operation. The pumps are mounted on a baseplate and are flexibly coupled to their drivers.

(Indicado en la normativa ISO 13709:2009 [10])

En la Figura 10, lo que se muestra sombreado en color amarillo representa la carcasa de la bomba, y es lo que buscamos aislar para proteger al personal cuando sea una aplicación en donde la temperatura exterior de la carcasa se encuentra por arriba de los 60°C, así evitando que el personal tenga contacto directo con alta temperatura y que pueda surgir una lesión por quemadura:

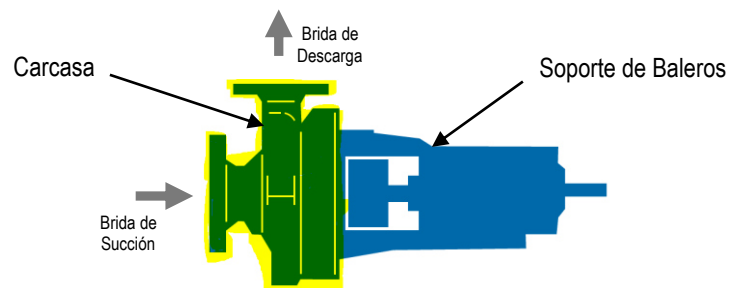


Figura 10. Representación de Aislamiento Térmico en Bomba Centrifuga.

Por lo cual, como primera aproximación, el modelo de la carcasa de la bomba se puede considerar como la geometría de un cilindro, ver Figura 11:



Figura 11. Cilindro.

Calentaremos este cilindro y simularemos una alta temperatura, de hasta 210 °C en la superficie del cilindro. De esta forma probaremos que el aislante térmico de Vibra de Vidrio puede aislar térmicamente de tal forma que se tenga una temperatura exterior inferior a 60 °C.

Creación del modelo físico

Se genera un modelo físico similar a la geometría de una bomba, en este caso un cilindro de cemento con una resistencia eléctrica embebida en su interior:

Materiales que utilizamos para la elaboración del modelo en físico:

Banda Plástica con dimensión de 9 cm de ancho x 110 cm de largo (Ver Figura 12).



Figura 12. Banda Plástica.

Resistencia Eléctrica con una impedancia entre 6.5 a 7.0 ohms. Y aproximadamente con un 0.8 cm en su diámetro en el espiral. (Ver Figura 13 a y b).



Figura 13 a y b. Resistencia Eléctrica.

Dos Tornillos de $\frac{1}{4}$ " x 2", cuatro Tuercas y seis Arandelas. (Ver Figura 14).



Figura 14. Tornillo con tuerca y arandela.

Tabla de Madera con dimensiones de 30 cm x 45 cm. (Ver Figura 15).



Figura 15. Tabla de Madera.

Ocho Clavos de acero. (Ver Figura 16).

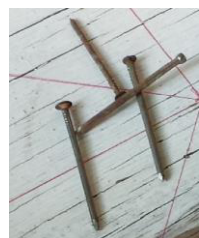


Figura 16. Clavos de acero.

Malla tipo gallinero con aberturas de 1 cm. Se requiere de un tramo de 30 cm de ancho x 60 cm de largo. (Ver Figura 17).



Figura 17. Malla tipo gallinero.

Malla tipo gallinero con aberturas de 2.5 cm. Se requiere de un tramo de 10 cm de ancho x 40 cm de largo. (Ver Figura 18).

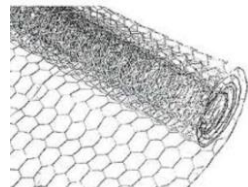


Figura 18. Malla tipo gallinero.

Un Termopar tipo “K”, este tipo de termopar puede tomar mediciones de temperatura de hasta 800°C. (Ver Figura 19).



Figura 19. Termopar tipo “K”.

Cinta tipo canela. (Ver Figura 20).



Figura 20. Cinta tipo canela.

Arena del número 5. (Ver Figura 21).



Figura 21. Arena número 5.

Cemento Gris. (Ver Figura 22).

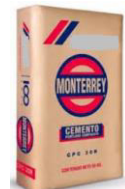


Figura 22. Cemento Gris.

Agua Potable. (Ver Figura 23).



Figura 23. Agua Potable.

Secuencia para la elaboración del Modelo Físico:

Primero tomamos la banda plástica y con la ayuda de la cinta tipo canela se realiza el diámetro que se manejará en el cilindro, ver Figura 24; en este caso consideraremos un diámetro de 28 cm.



Figura 24. Medidas del cilindro de cemento.

Luego presentamos el círculo en la tabla de madera que nos servirá como base para realizar el vaciado de cemento. Trazamos un par de líneas de acuerdo al diámetro del cilindro para colocar un par de clavos los cuales nos ayudaran a que no se deformé la circunferencia del cilindro, ver Figura 25.



Figura 25. Base de madera.

Tomamos un tramo de malla metálica para presentarla arriba del círculo y así poder marcar el diámetro de los cortes de la malla, vamos a requerir 2 cortes de malla las cuales van a reforzar el vaciado del cemento en cada uno de sus lados, ver Figura 26.



Figura 26. Malla metálica para reforzar el cilindro.

Verificamos con un multímetro que la resistencia eléctrica este en el rango de 6.5 a 7.0 ohms, ver figura 27.



Figura 27. Verificar impedancia de la resistencia eléctrica.

Preparamos la resistencia eléctrica con tornillos en cada uno de sus extremos para que nos sirva como tipo conexiones en el exterior del cemento, ver figura 28.

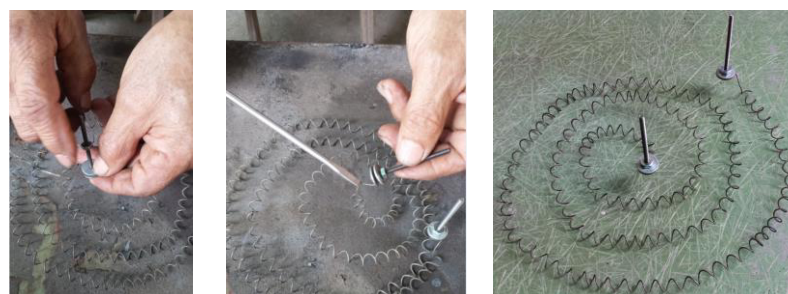


Figura 28. Preparación de la Resistencia Eléctrica.

Realizamos también un corte de malla flexible para reforzar la circunferencia del cilindro, y la resistencia eléctrica se localizara en el centro de esta malla evitando que se tenga contacto una con otro, ver figura 29.

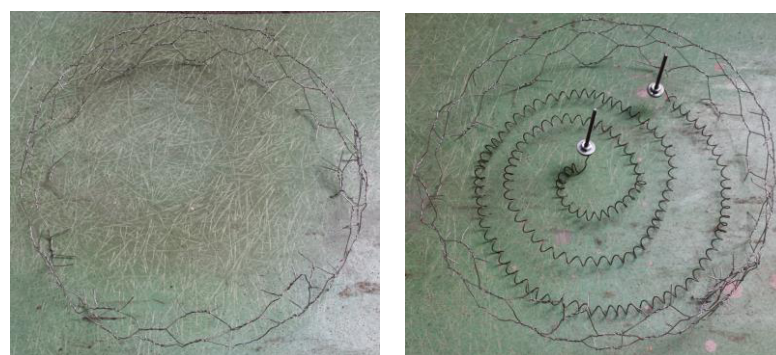


Figura 29. Malla para la circunferencia del cilindro.

Marcamos el centro de la banda plástica la cual nos va a servir de referencia al momento de realizar el vaciado y color en su centro la resistencia eléctrica, ver figura 30.



Figura 30. Marcado en banda plástica.

Se prepara la mezcla de cemento y se empieza a realizar el vaciado de aproximadamente un 1 cm para colocar el primer corte de malla que le dará solidez a la pieza, ver figura 31.



Figura 31. Vaciado del cemento.

Se coloca la malla que le dará rigidez a la circunferencia del círculo, y se empareja el cemento hasta la mitad de la banda plástica, debiendo considerar la línea que se había marcado anteriormente en la banda plástica como referencia, ver figura 32.



Figura 32. Colocación de Malla.

Colocamos la resistencia eléctrica en el centro del círculo, tratando de dejarla lo mejor centrada y evitar cualquier contacto con la malla. Debemos de dejar los tornillos sobresaliendo de la banda plástica por lo menos 2 cm para poder tener espacio de conectar los cables que alimentaran la resistencia eléctrica, ver figura 33.



Figura 33. Colocación de resistencia eléctrica.

Se continúa realizando el vaciado y se coloca la tercera malla que le dará solidez a la pieza. Ya teniendo colocadas las mallas podemos poner cinta canela en la parte superior de los tornillos para evitar que el cemento complique la entrada de los tornillos, ver figura 34.



Figura 34. Colocación de malla.

El siguiente paso es colocar el Termopar tipo “K”, el cual quedara adherido en el cilindro, se debe colocar lo más posiblemente en la orilla de la pieza para poder obtener la mejor lectura de la pared exterior del cilindro, en este caso lo manejaremos a 1 cm de distancia del exterior del cilindro, y también se debe embeber a la mitad del ancho del cilindro, ver figura 35.



Figura 35. Colocación de termopar tipo “K”.

Por último se sigue realizando el vaciado de cemento hasta dejarlo al nivel de la banda plástica, ver figura 36.



Figura 36. Nivel del vaciado de cemento.

Hay que dejar la pieza en un proceso de secado de por lo menos de una semana, en este proceso se puede exponer la pieza directo al sol por un par de horas al día, y se debe estar remojando la pieza con un poco de agua durante los primeros días para evitar que la pieza se agriete, ya después de este proceso el cilindro fabricado de cemento queda listo. Solamente verificar que la pieza no cuente con humedad, ver figura 37.



Figura 37. Cilindro de cemento.

Ya contando con el modelo en fisico, ahora debemos de forrarlo con Aislamiento Térmico de Fibra de Vidrio el cual es sugerido por la normativa de PEMEX, la NRF-034-PEMEX-2011.

Utilizaremos el siguiente material para aislar el modelo en fisico:

Aislamiento Térmico de Fibra de Vidrio de 2" (50.8 mm) de espesor. (Ver figura 38).



Figura 38. Aislamiento Térmico de Fibra de Vidrio

*Nota: Esta imagen se muestra al final del documento en tamaño grande.

Malla tipo gallinero con aberturas de 1 cm. Se requiere de un tramo de 100 cm de ancho x 150 cm de largo. (Ver figura 39).

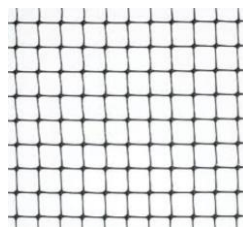


Figura 39. Malla tipo gallinero.

Dos cables tipo eléctrico de calibre 12, cada uno con 1 m de largo. (Ver figura 40).



Figura 40. Cable tipo eléctrico.

Dos Terminales tipo O. (Ver figura 41).



Figura 41. Terminales tipo O.

Dos Terminales de horquilla. (Ver figura 42).



Figura 42. Terminales tipo horquilla.

Dos pliegos de cartón de 50 cm x 50 cm. (Ver figura 43).



Figura 43. Pliego de cartón.

Dos metros de Alambre Galvanizado. (Ver figura 44).



Figura 44. Alambre galvanizado.

Alambre de cobre de 50 cm. (Ver figura 45).



Figura 45. Alambre de cobre.

Secuencia para Aislar el cilindro:

Primero dibujamos en el pliego de cartón el diámetro del cilindro, sin considerar el espesor del aislante. Ya que el aislante en cada uno de las caras del cilindro de cemento serán de acuerdo a su diámetro de 28 cm, ver figura 46.



Figura 46. Diámetro del cilindro.

Presentamos esta dimensión en el aislamiento para realizar el corte de los 2 diámetros del cilindro, ver figura 47.



Figura 47. Corte circular del Aislamiento.

Ahora dibujamos en el otro pliego de cartón el diámetro del cilindro ahora si considerando el espesor del aislante. Y realizamos el corte de los diámetros de la malla de 38.16 cm la cual sujetara el aislamiento de los extremos del cilindro, ver figura 48.



Figura 48. Corte circular de la malla metálica.

Ahora realizamos el corte del aislamiento para la periferia del cilindro, que se cuenta con 19.16 cm de ancho x 104 cm de largo, ver figura 49.



Figura 49. Corte periferia del Aislamiento.

Para colocar el aislamiento en el cilindro vamos a usar un banquito para facilitar el ensamble, en el cual sentaremos primero un lado de la malla junto con su aislamiento, y posteriormente sentamos el cilindro, ver figura 50.



Figura 50. Ensamble del Aislamiento.

Solamente en cada uno de los extremos de los 2 cables se coloca la terminal tipo O, para posteriormente ensamblarse en las terminales de la resistencia eléctrica, ver figura 51.



Figura 51. Ensamblaje de cables y terminales.

Posteriormente teniendo instalados los cables de la alimentación eléctrica de la resistencia eléctrica, se procede a ensamblar el aislamiento térmico del lado de la resistencia eléctrica, ver figura 52.



Figura 52. Colocación del aislamiento opuesto.

Se coloca el aislamiento de la periferia del cilindro y se sujetta con 2 cordones de alambre, ver figura 53.



Figura 53. Colocación del aislamiento de la periferia.

Ahora se instala la malla del lado de la alimentación eléctrica de la resistencia eléctrica, ver figura 54.

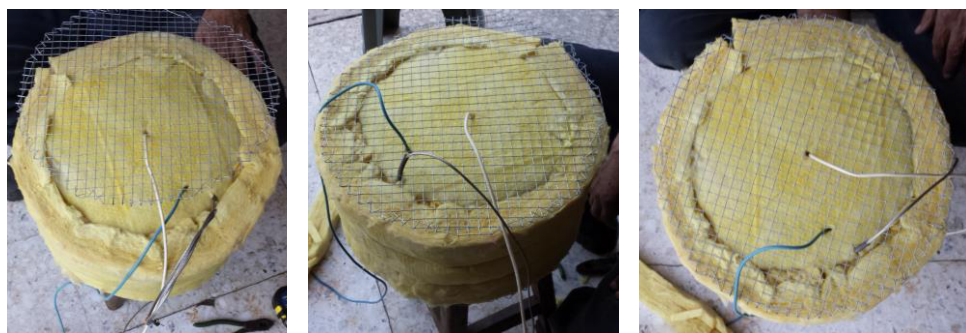


Figura 54. Instalación de la malla circular.

Ya teniendo este ensamble, se procede a realizar el corte de la malla metálica para la periferia del cilindro con una dimensión de 19.16 cm de ancho y con un largo de 140 cm, este largo nos sirve para dejar una parte de la malla traslapada, la cual nos reforzará una pequeña parte de su periferia del cilindro que nos servirá como base para sentarse en el soporte metálico que más adelante se indica en este documento, ver figura 55.



Figura 55. Corte de la malla para periferia del aislamiento.

Se instala esta última pieza de malla metálica la cual se ubica en la periferia del cilindro, ver figura 56.



Figura 56. Instalación de la malla en la periferia.

El agarre de las mallas se realiza por medio del cable de bronce, de esta forma dejamos el cilindro ya armado con su Aislamiento Térmico, ver figura 57.



Figura 57. Sujeción de malla con cable.

Ya al final ponemos las dos terminales de horquilla en los cables de la resistencia eléctrica, ver figura 58.

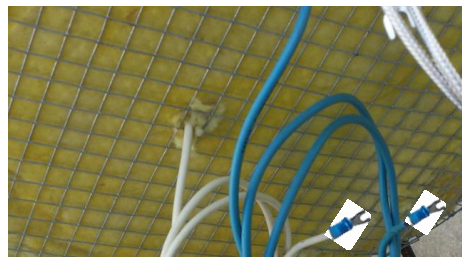


Figura 58. Instalación de terminales tipo horquilla.

Ahora requerimos de una base metálica para poder sentar el cilindro, por lo cual se genera con varilla de acero para poder obtener mayor circulación y flujo de temperatura desde la parte baja del cilindro hacia la parte alta del cilindro, simulando de esta manera el comportamiento en temperatura en la superficie de una bomba tipo OH2, ver figura 59.



Figura 59. Base de varilla para soportar cilindro.

Ya contamos con el modelo en físico, pero requerimos de la alimentación eléctrica para la resistencia eléctrica, por lo cual generaremos una tablilla con el circuito eléctrico necesario para poder llevar a cabo la prueba en físico.

Requeriremos de los siguientes materiales para la elaboración del circuito eléctrico:

Un Transformador con entrada de 127V-60Hz y salida de 24V-5A, ver figura 60.



Figura 60. Transformador.

Una Tablilla de conexiones (Placa Fenólica Perforada 7 cm x 13 cm Steren MOD-300), ver figura 61.

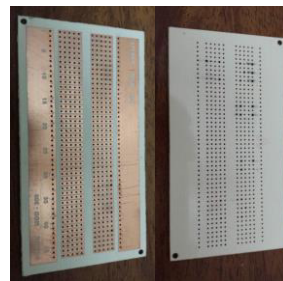


Figura 61. Tablilla de conexiones.

Un cable de calibre 14, con 30 cm de largo. Y dos cables de calibre 18, cada uno con 10 cm de largo, ver figura 62.



Figura 62. Cable calibre 14 y 18.

Tres terminales de conexiones para tablilla, ver figura 63.



Figura 63. Terminales para tablilla.

Un relevador para cerrar el circuito con 12V DC y dejar pasar 24V, ver figura 64.



Figura 64. Relevador.

Dos terminales para conexiones, ver figura 65.



Figura 65. Terminales para conexiones.

Seis Terminales de horquilla, ver figura 66.



Figura 66. Terminales de horquilla.

Un cable con clavija para alimentación eléctrica, ver figura 67.



Figura 67. Cable para alimentación eléctrica.

Una tabla de madera de 20 cm x 20 cm, incluyendo 2 pequeñas tiras de madera para montar la Placa Fenólica Perforada, ver figura 68.



Figura 68. Tabla de madera.

Seis pajas de acero, ver figura 69.



Figura 69. Pijas de acero.

Secuencia para armar el circuito eléctrico:

El relevador nos dará la función de abrir y cerrar una de las líneas de salida del transformador a 24V, la cual alimentará a la resistencia eléctrica, la señal de control para hacer esta función es por medio de 12 VDC. El siguiente diagrama indica la operación del relevador, ver figura 70.



Figura 70. Función del Relevador.

Montamos las piezas en la Placa Fenólica Perforada, ver figura 71.

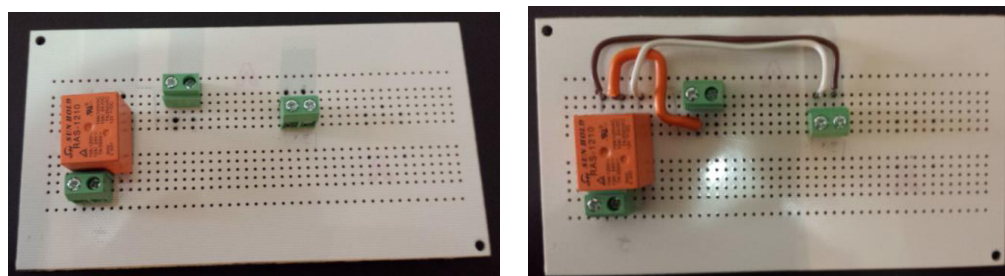


Figura 71. Montaje de piezas.

Ahora soldamos las terminales, ver figura 72.

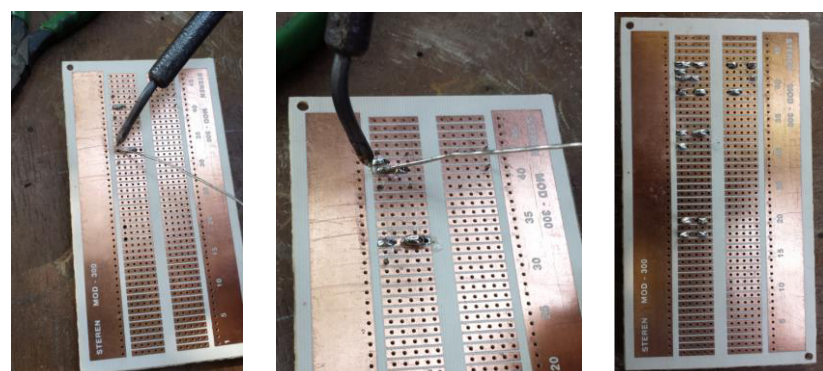


Figura 72. Soldado de terminales.

Ponemos las terminales de horquilla, las cuales se encontrarán en el cable de alimentación, transformador y cable que sale del relevador, ver figura 73.



Figura 73. Horquillas en cable.

Se montan todos los aditamentos a la tabla base.

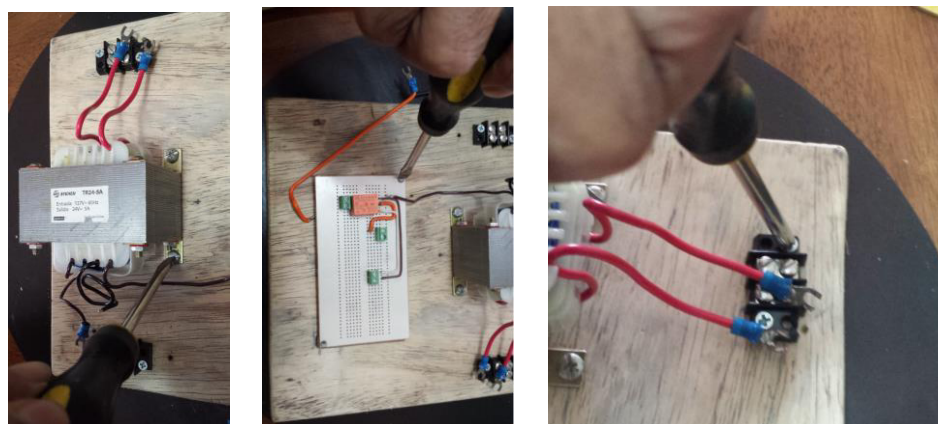


Figura 74. Montaje a tabla base.

Se interconecta los cables del transformador hacia la placa fenólica, ver figura 75.



Figura 75. Interconexión de cables.

Se conectan las terminales en el block de conexiones, ver figura 76.



Figura 76. Soldado de terminales.

Se cancela con cinta de aislar la terminal negativa del transformador la cual puede servir como derivación para que el transformador tenga una salida de 12V, ver figura 77.



Figura 77. Terminal negativa aislada.

Marcamos en la tabla donde se encuentra cada voltaje, ver figura 78.

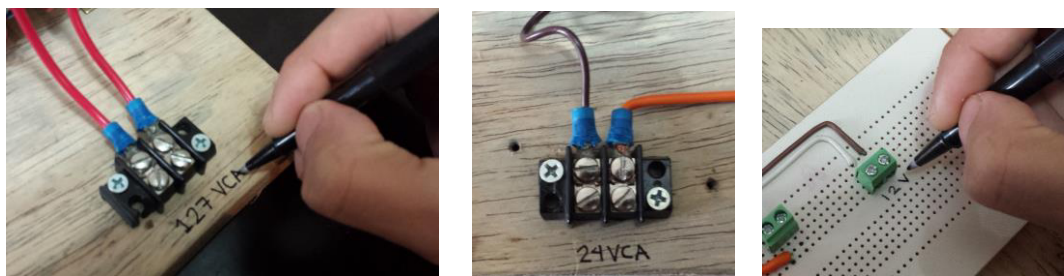


Figura 78. Identificación de voltaje.

El circuito eléctrico queda listo para la alimentación de la resistencia eléctrica, ver figura 79.

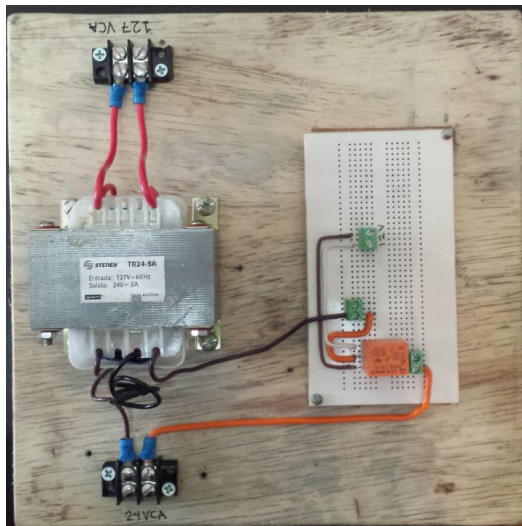


Figura 79. Finalizado del circuito eléctrico.

Capítulo III

Desarrollo de las pruebas

Las pruebas del modelo en físico se realizaron en el LIITE (Laboratorio de Investigación e Innovación en Tecnología Energética) ubicado en la Facultad de Ingeniería Mecánica y Eléctrica de la Universidad Autónoma de Nuevo León, ver figura 80.



Figura 80. Laboratorio de Investigación e Innovación en Tecnología Energética.

Para realizar las pruebas del modelo que se desarrolló en físico vamos a requerir tanto de un software como de hardware e instrumentación necesaria. Para el caso del software recurriremos al sistema LABVIEW y de un hardware que en este caso es un Compact DAQ, ambos de la marca NATIONAL INSTRUMENTS.

Se conoce como software al equipamiento lógico o soporte lógico de un sistema informático, que comprende el conjunto de los componentes lógicos necesarios que hacen posible la realización de tareas específicas, tales como programas (informáticos) o aplicaciones (informáticas) o soportes lógicos.

El término hardware se refiere a todas las partes tangibles de un sistema informático; sus componentes son: eléctricos, electrónicos, electromecánicos y mecánicos.



LabVIEW (acrónimo de Laboratory Virtual Instrumentation Engineering Workbench) es una plataforma y entorno de desarrollo para diseñar sistemas, con un lenguaje de programación visual gráfico, recomendado para sistemas hardware y software de pruebas, control y diseño, simulado o real y embebido, pues acelera la productividad. El lenguaje que usa se llama lenguaje G, donde la G simboliza que es lenguaje Gráfico.

Este programa fue creado por National Instruments (1976) para funcionar sobre máquinas MAC, salió al mercado por primera vez en 1986. Ahora está disponible para las plataformas Windows, UNIX, MAC y GNU/Linux. La penúltima versión es la 2013, con la increíble demostración de poderse usar simultáneamente para el diseño del firmware de un instrumento RF de última generación, a la programación de alto nivel del mismo instrumento, todo ello con código abierto. Y posteriormente la versión 2014 disponible en versión demo para estudiantes y profesional, la versión demo se puede descargar directamente de la página National Instruments.

Utilizaremos un Compact DAQ modelo “NI cDAQ-9174”, ver figura 81.



Figura 81. Compact DAQ “NI cDAQ-9174”.

Este equipo de adquisición de datos cuenta con entradas de módulos disponibles para una variedad de sensores de medición, incluyendo Termopares, RTD's, calibradores de tensión, transductores de presión, acelerómetros, medidores de flujo, etc. Los sistemas NI Compact DAQ combinan mediciones como lo son sensores de tensión, corriente y señales digitales para crear mediciones personalizadas, sistemas de medidas mixtas en las cuales estos datos se llevan a la PC o equipo portátil por medio de un cable USB.

Utilizaremos los siguientes módulos:

- Para Medición de Termopares “NI 9211”, ver figura 82.



Figura 82. Modulo “NI 9211”.

- Para control de Tensión de la alimentación eléctrica “NI 9472”, ver figura 83.

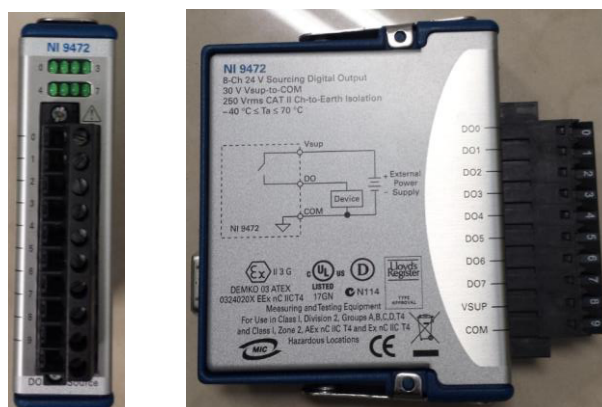


Figura 83. Modulo “NI 9472”.

Diseñamos un sistema dentro del programa LabView para poder llevar el control del desarrollo de las pruebas. Dentro del programa del LabView seleccionamos un trabajo en blanco (blank Project), ver figura 84.

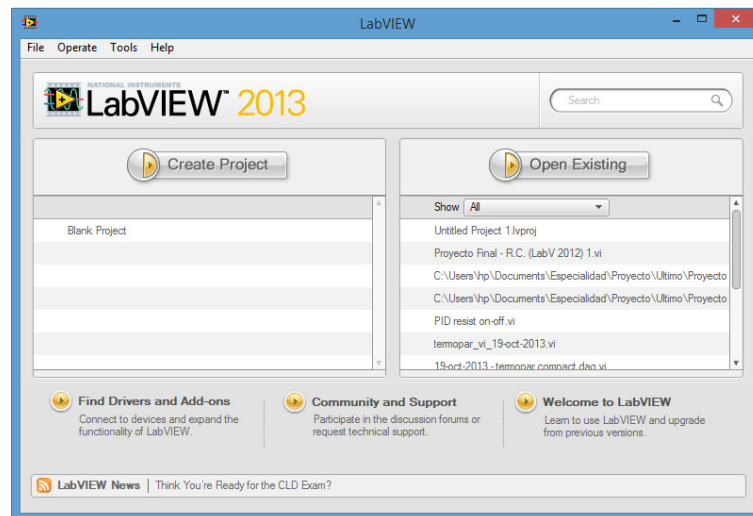


Figura 84. Crear proyecto.

Y dentro de la pestaña “File” creamos un nuevo proyecto (New), ver figura 85.

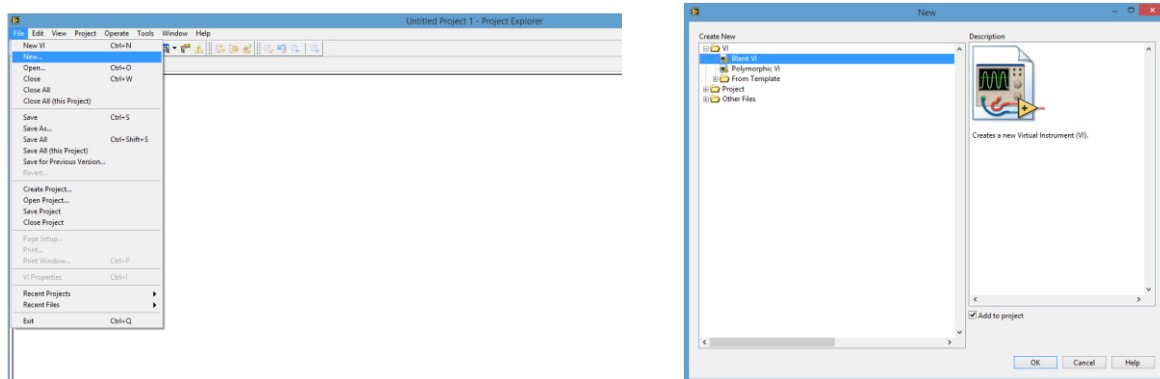


Figura 85. Nuevo proyecto.

Y ya obtenemos nuestro Panel Frontal del LabView, ver figura 86.

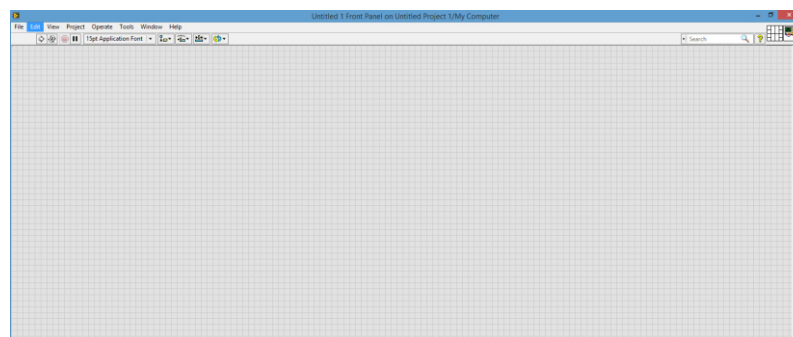


Figura 86. Panel frontal.

Pero trabajaremos en la hoja de “Diagrama de Bloques”, para seleccionar esa hoja entramos a las funciones de Window y seleccionamos “Show Block Diagram”, ver figura 87.

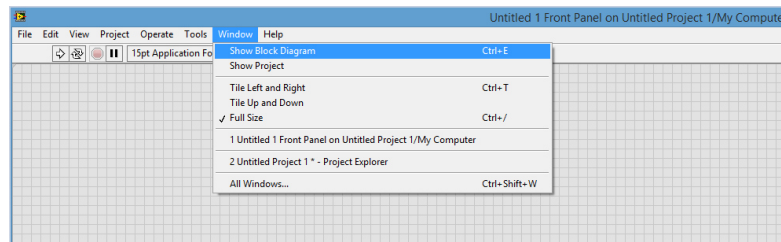


Figura 87. Desplegar Windows.

Nota: Si queremos regresar al Panel Frontal del LabView, solamente volvemos a desplegar las funciones de Window y seleccionamos “Show Front Panel”.

La siguiente es la hoja de Diagrama de Bloques (Block Diagram) en la cual estaremos configurando el programa para realizar las pruebas, ver figura 88.

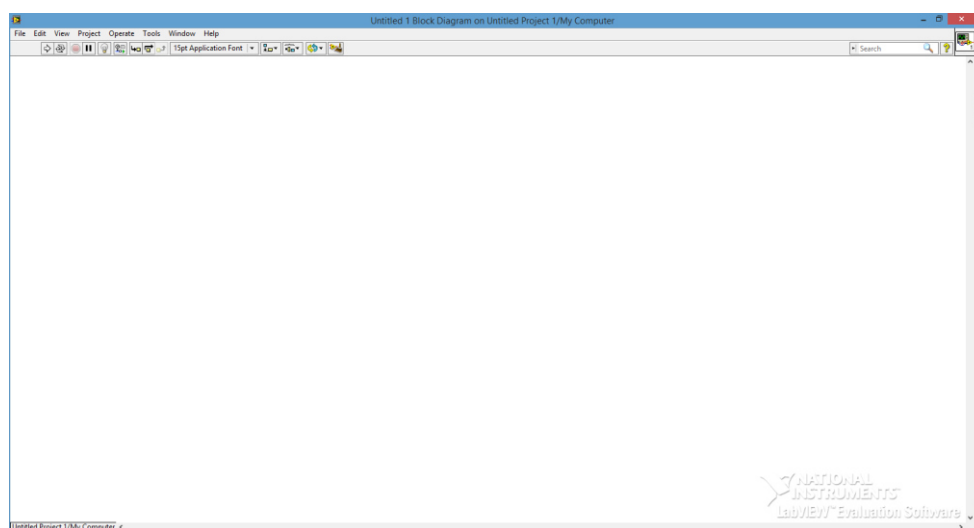


Figura 88. Diagrama de Bloques.

En qué consiste la programación:

- Realizaremos una programación en la cual buscamos mantener la temperatura exterior del cilindro en 205°C para poder verificar como se comportara la temperatura exterior del aislamiento térmico.
- El control para mantener la temperatura exterior del cilindro a 205°C, es por medio del Termopar tipo “K” que se encuentra embebido en el mismo cilindro a 1 cm de su periferia. Esta lectura se llevará a la programación del LabView para mantener la temperatura con una variación de +/- 5°C.
- Al correrse el programa que estamos buscando por el LabView, este mandará una señal por medio del módulo de tensión “NI 9472” (este módulo estará alimentado por medio de una fuente de 12 V) el cual energizará al relevador con los 12 V para cerrar su circuito y así poder dejar pasar los 24 V del transformador que alimentará a la resistencia eléctrica. De esta forma la resistencia eléctrica comenzará a generar calor al cilindro de concreto con la finalidad de llegar a la temperatura que buscamos en el exterior del cilindro (de 205 a 210 °C).
- Por medio del Termopar tipo “K” cual estará conectado al módulo de medición de termopares “NI 9211” el cual llevará su lectura de temperatura al programa del LabView, con la finalidad de conocer la temperatura exterior del concreto y así podremos realizar una programación para controlar la alimentación de la resistencia eléctrica, ya que este termopar cuando obtengamos una lectura por arriba de los 205 °C el programa del LabView deberá mandar una señal al módulo de tensión “NI 9472” para cortar el suministro de los 12 V y de esta forma abrirá el circuito del relevador para interrumpir el suministro de energía de los 24 V hacia la resistencia eléctrica.
- El Termopar tipo “T” que se localizará en el exterior del aislamiento térmico también estará conectado al módulo de medición de termopares “NI 9211”, el cual llevará su lectura de temperatura al programa del LabView con la finalidad de verificar que temperatura obtenemos en la superficie del aislante térmico, ya que ésta es la temperatura final que estamos buscando en la investigación de este proyecto.

Comenzaremos con la programación desde la hoja de Diagrama de Bloques (Block Diagram).

Nota: Se anexarán ilustraciones con una breve descripción de cada función, esto vendrá indicado dentro del cuadro “Context Help”.

Empezamos haciendo clic con en el botón derecho del mouse para desplegar las funciones del LabView. Y posteriormente desplegamos las funciones de las estructuras “Structures” que cuenta el programa, ver figura 89.

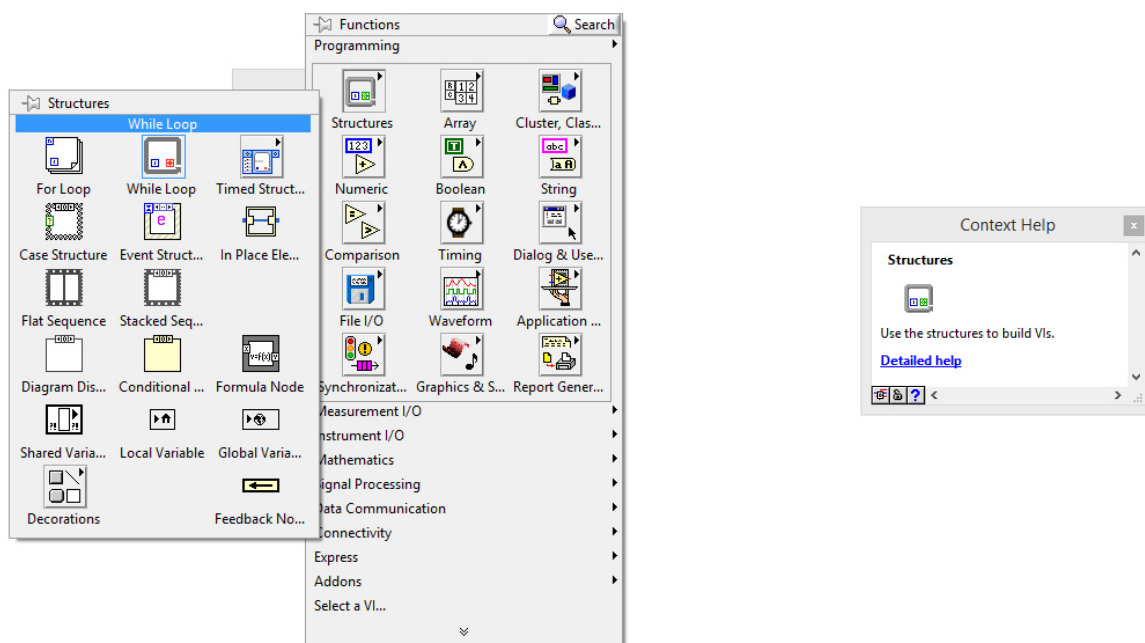


Figura 89. Estructuras y Funciones.

Desarrollaremos el programa por medio de un “While Loop”, ver figura 90.

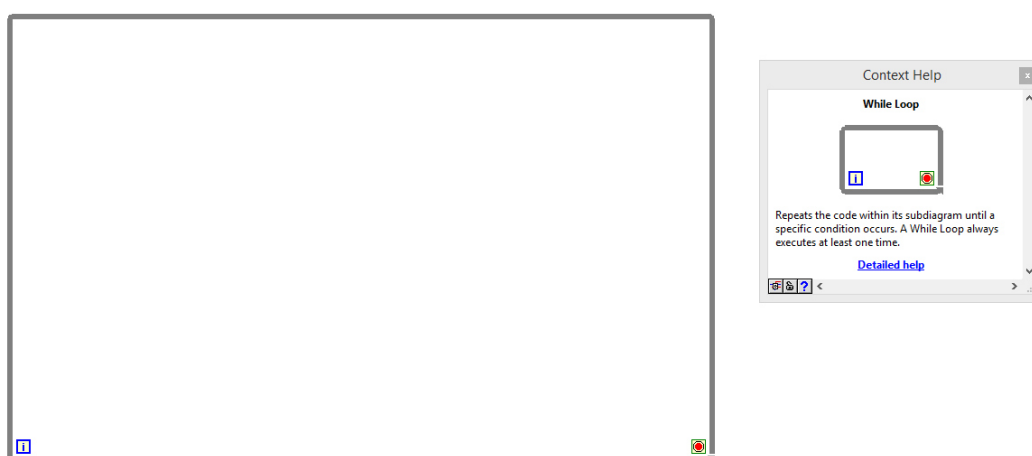


Figura 90. Crear un “While Loop”.

Incluimos los primeros criterios numéricos respecto a la comparación de la temperatura, ver figura 91.

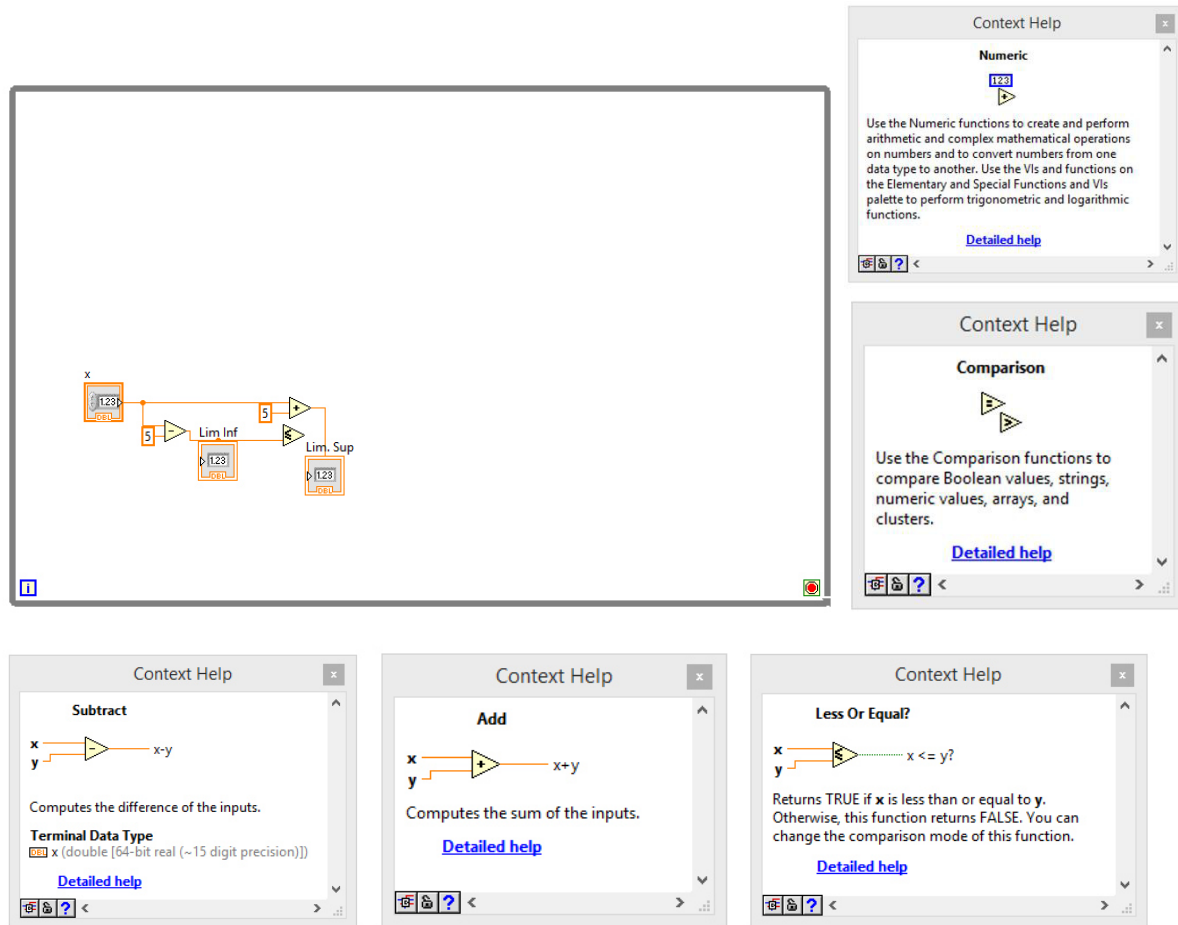


Figura 91. Función de Comparación.

Ahora incluimos un “Case Structure” para definir el valor de la temperatura como Falso o Verdadero, esto de acuerdo al rango de temperatura que se va a estar programando, esta función es la que dará la señal de encender o apagar la resistencia eléctrica.

La siguiente figura 92 muestra la programación cuando se encuentra en Falso.

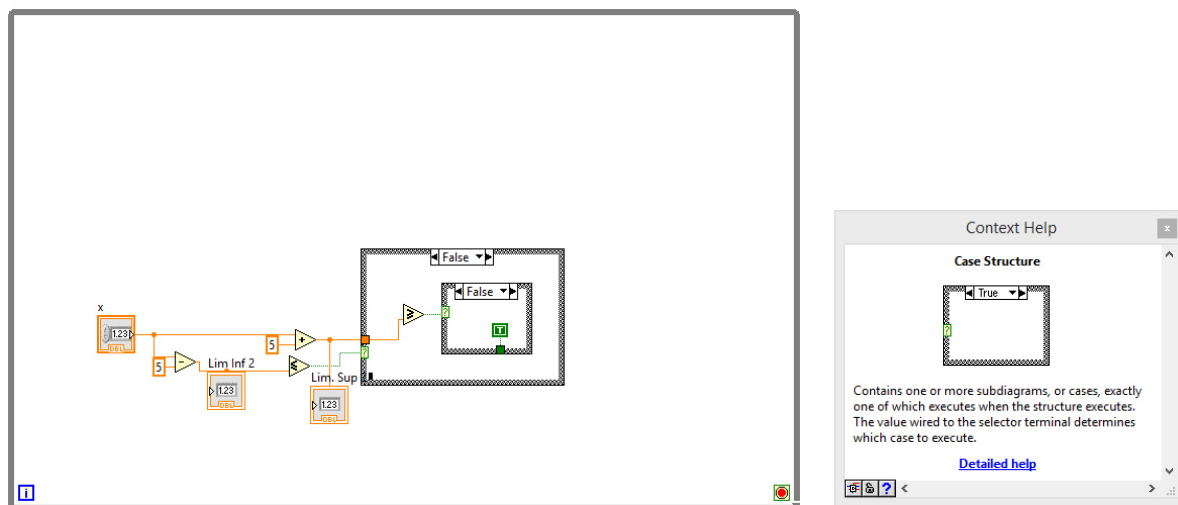


Figura 92. Crear un “Case Structure”.

La siguiente figura 93 muestra la programación cuando se encuentra en Verdadero.

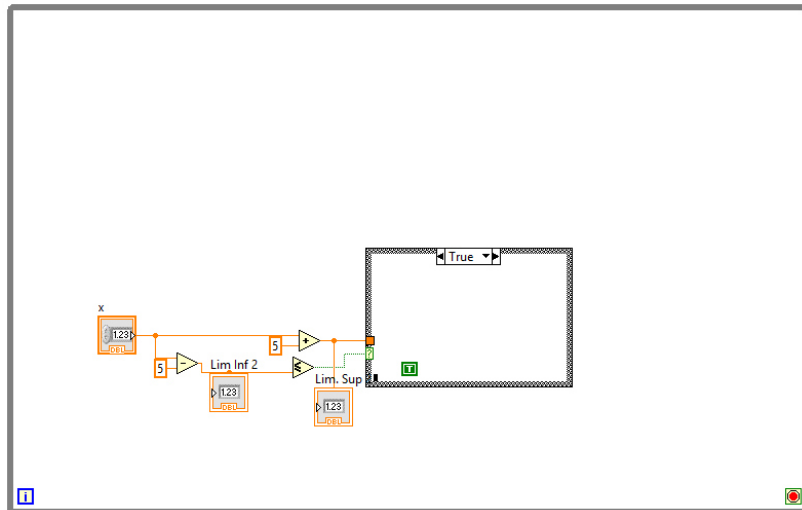


Figura 93. Pantalla en “Verdadero”.

Integramos el comando “Insert Into Array” y se une al extremo del While Loop con un Shift Register. También se integra un “Index Array” y un “Waveform Graph” para graficar los valores de los Termopares los cuales se mostrarán en el Panel Frontal del LabView, ver figura 94.

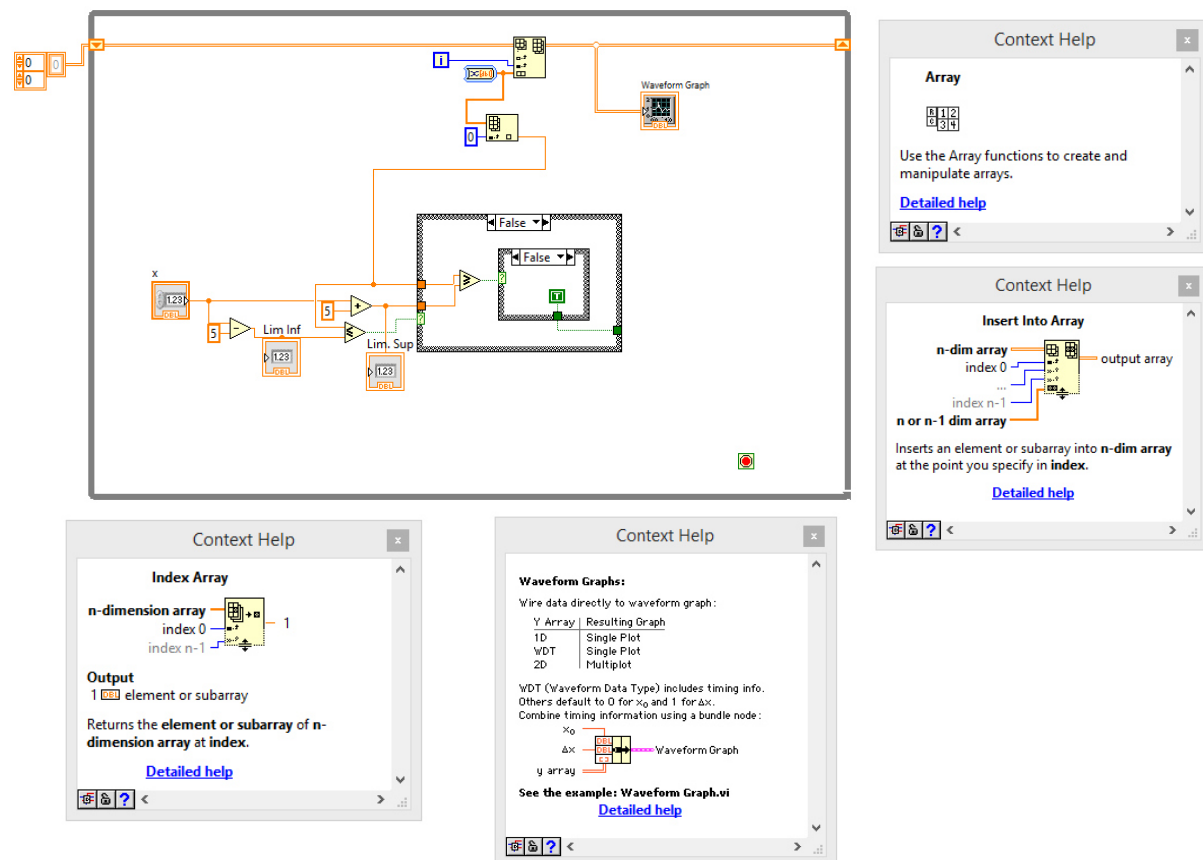


Figura 94. Funciones del “Array”.

Ahora integramos el indicador para saber cuándo el programa está en operación, también se integra el Stop cuando se desee finalizar la corrida, e incluimos el reloj “Wait (ms)” que tomará las lecturas de los termopares en milisegundos, por lo cual se introduce que las lecturas sean cada 60,000 milisegundos lo cual es igual a 1 minuto, ver figura 95.

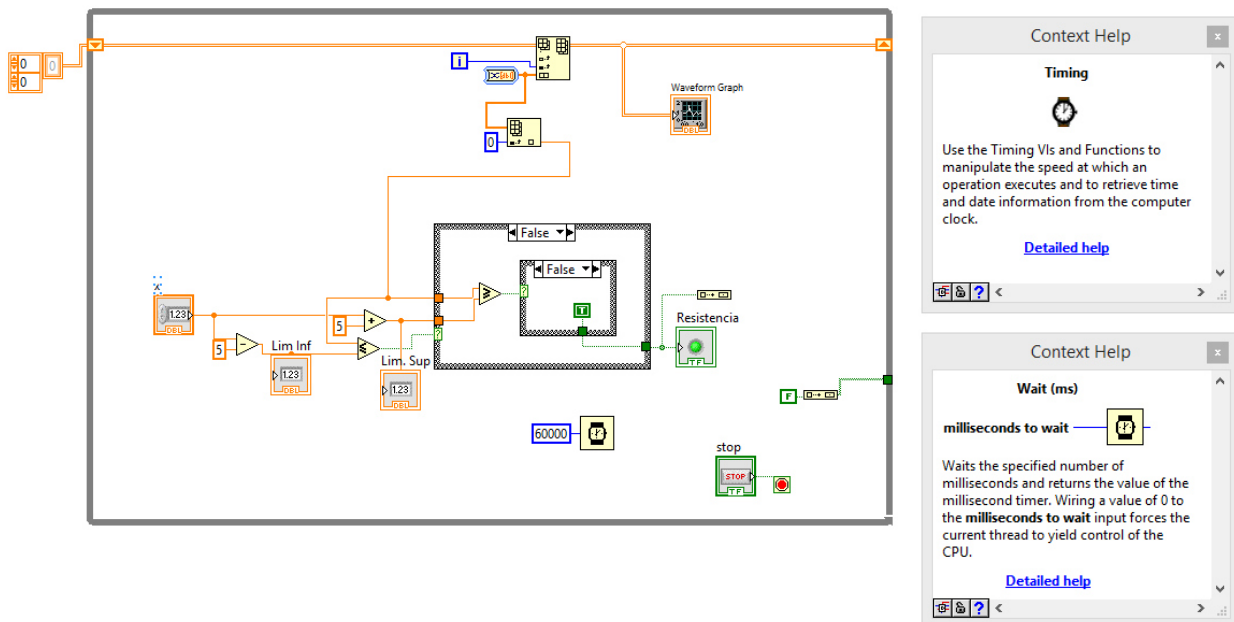


Figura 95. Indicador.

Por últimos el LabView debe detectar que el Compact DAQ “NI cDAQ-9174” esté conectado a la PC o equipo portátil, para poder dar de alta los Termopares del módulo “NI 9211” y el control de Tensión eléctrica del módulo “NI 9472”, ver figura 96.

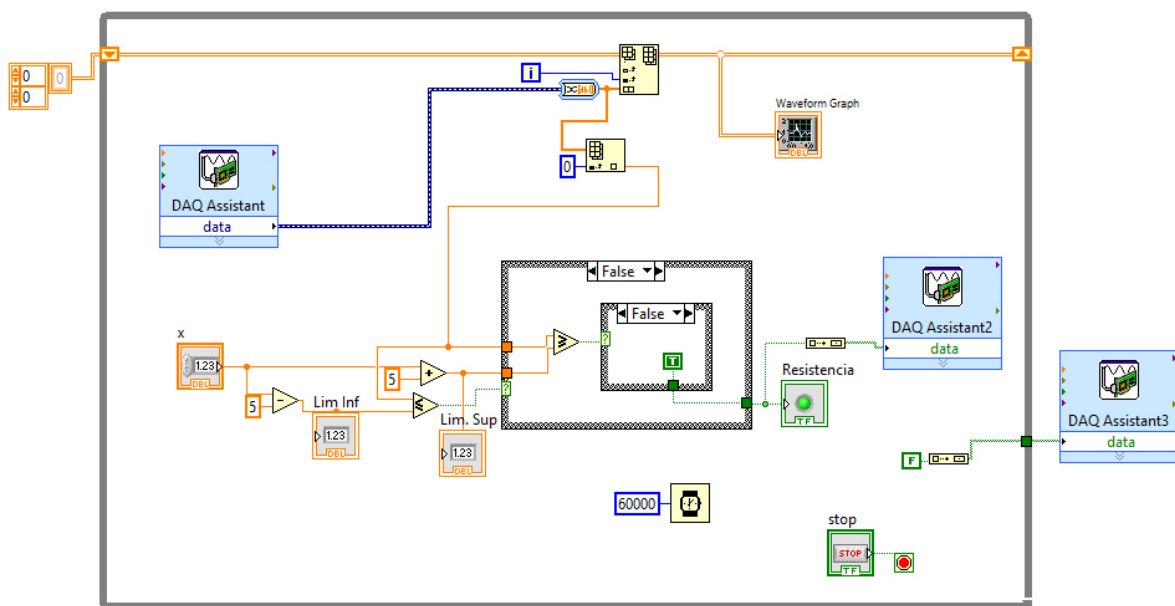


Figura 96. Detectar el equipo.

El Panel Frontal del LabView queda como se muestra en la Figura 97, en la cual desde esta ventana se arrancará y detendrá el programa, y nos generará la gráfica obteniendo los datos de la prueba.

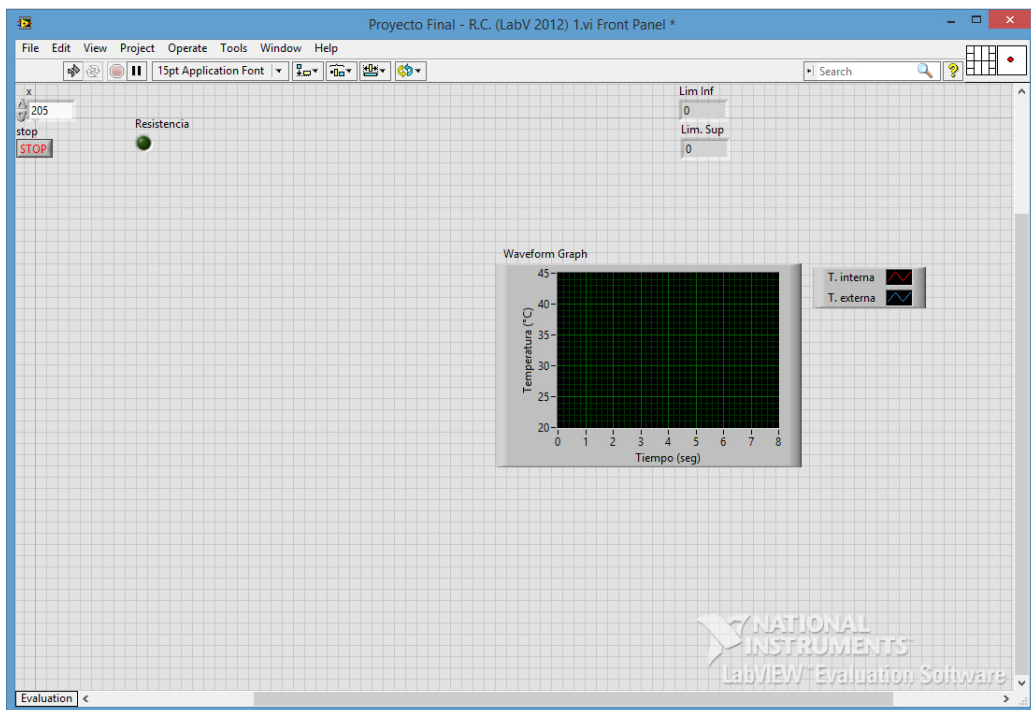


Figura 97. Panel Frontal.

Ya teniendo lista la programación en el LAbView, procedemos a preparar el cilindro para la prueba. Primero instalamos el Termopar tipo “T” en la superficie del Aislamiento Térmico, ver figura 98.



Figura 98. Preparación para la prueba.

Ahora conectamos los Termopares tipo “T” y “K” al Módulo “NI 9211”, se debe conectar correctamente la polaridad del cable (positivo y negativo) en cada entrada del modulo, ver figura 99.

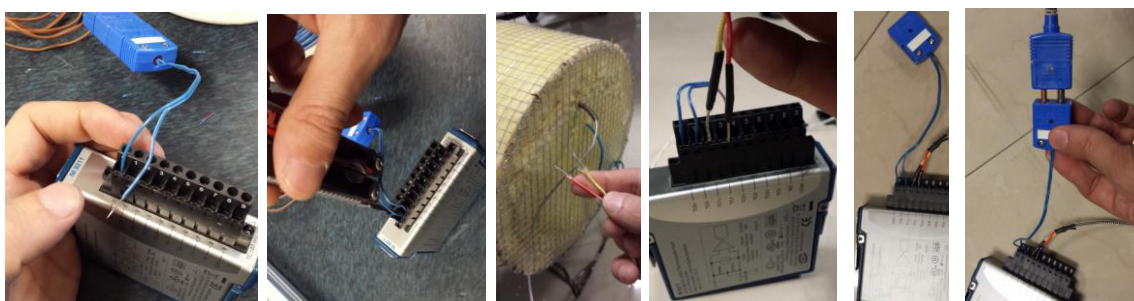


Figura 99. Conexión de Termopares.

Preparamos la fuente de 12 VDC la cual alimentará al módulo de Tensión eléctrica “NI 9472”. Estos cables de alimentación los identificaremos con cable naranja (+) y cable naranja/blanco (-), ver figura 100.



Figura 100. Fuente de 12 VDC.

Ahora conectamos estos cables naranjas a la alimentación del módulo de Tensión eléctrica “NI 9472”, y llevamos la salida de este módulo con cable color verde (+) y cable verde/blanco (-) hacia el conector de entrada de alimentación del relevador, ver figura 101.

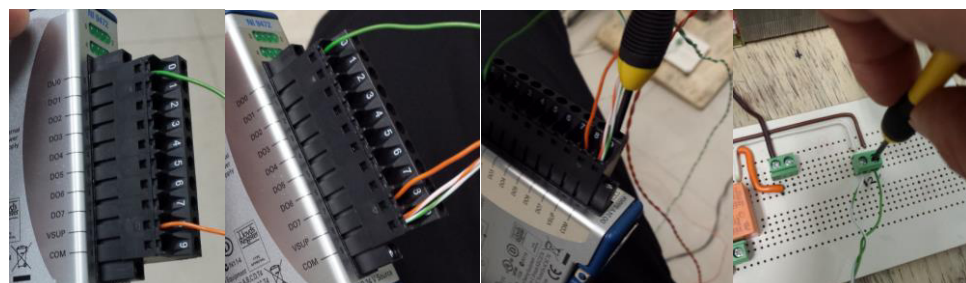


Figura 101. Alimentación del módulo.

Montamos los módulos al Compact.DAQ “NI cDAQ-9174”, ver figura 102.



Figura 102. Montar los módulos.

Verificamos de nueva cuenta la impedancia de la resistencia eléctrica, obteniendo 6.7 ohms, ver figura 103.



Figura 103. Verificar la resistencia eléctrica.

Conectamos la resistencia eléctrica a la tabla de alimentación de 24 V, ver figura 104.

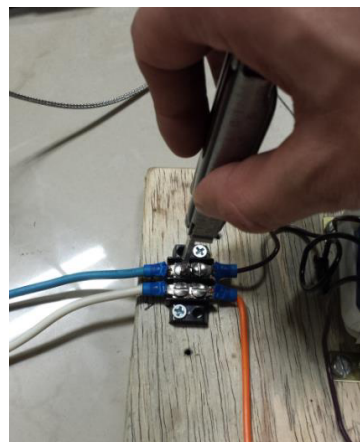


Figura 104. Conexión de Resistencia Eléctrica.

Alimentamos al Compact DAQ “NI cDAQ-9174” con la clavija regulada de 110 V para mantenerlo encendido, ver figura 105.



Figura 105. Alimentación del Compact DAQ.

El Transformador y la fuente de 12 V los alimentamos con la clavija no regulada de 127 a 131 V, ver figura 106.



Figura 106. Conexión a clavija eléctrica.

Verificamos el voltaje de entrada de la clavija no regulada que llega a la alimentación del transformador, se tiene una lectura de 131.7 V, ver figura 107.

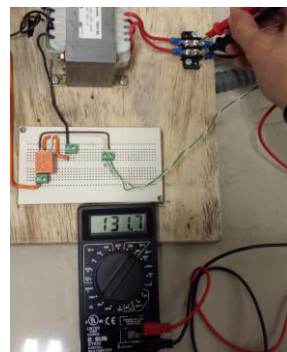


Figura 107. Voltaje de entrada al transformador.

Para verificar el voltaje de la alimentación del relevador, mandamos la señal de encendido al módulo “NI 9472” desde el LabView, y realizamos la siguiente lectura de 17.57 V, ver figura 108.

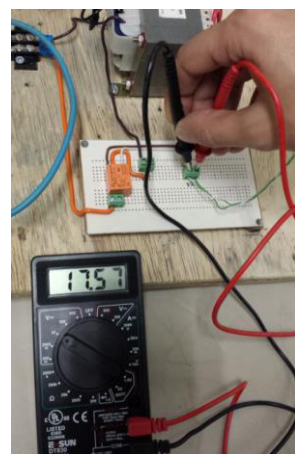


Figura 108. Voltaje de entrada al relevador.

Teniendo encendido el relevador verificamos el voltaje de la salida del transformador que alimentará a la resistencia eléctrica, se tiene una lectura de 23.9 V, ver figura 109.

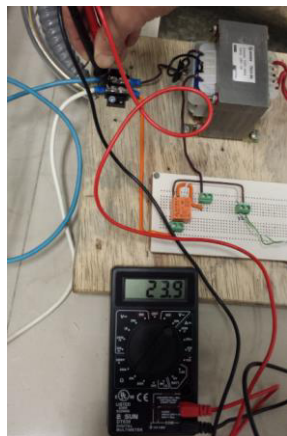


Figura 109. Voltaje de salida del transformador.

Montamos el equipo en un lugar seguro para evitar cualquier accidente, y señalizamos que el equipo se encuentra energizado, ver figura 110.

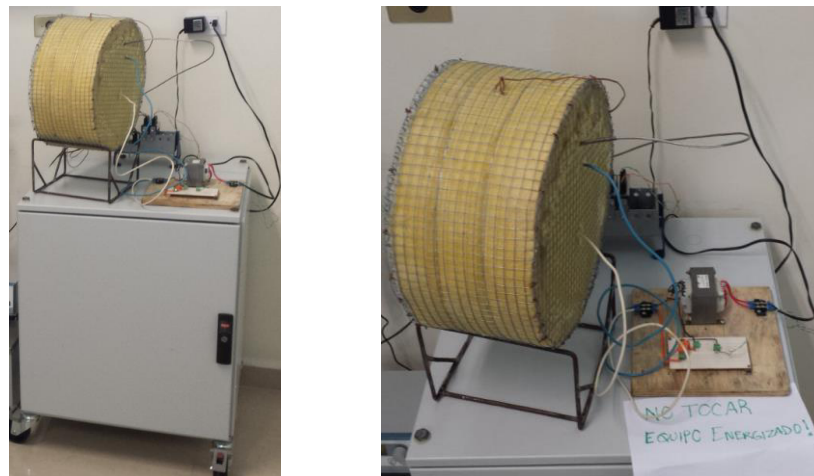


Figura 110. Equipo energizado.

Ya teniendo verificado los voltajes y el equipo en un lugar seguro conectamos el Compact DAQ “NI cDAQ-9174” por medio de su USB hacia la PC o equipo portátil, y ya de esta manera el equipo está listo para iniciar las pruebas, ver figura 111.

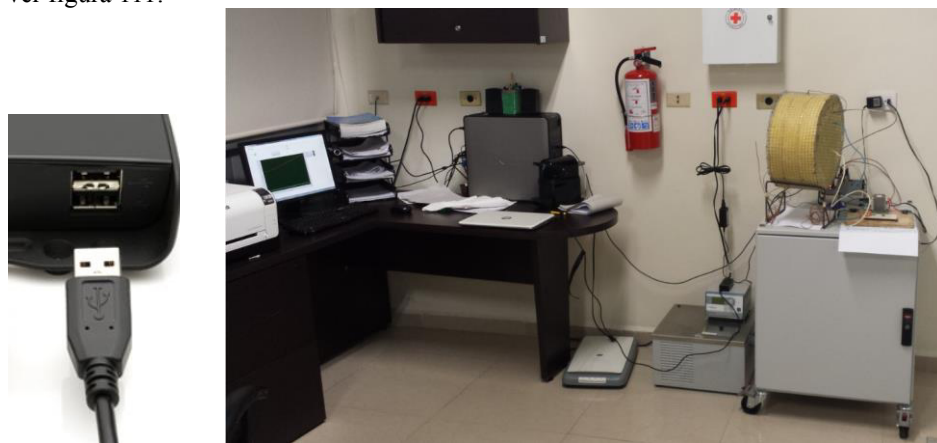


Figura 111. Equipo listo para iniciar pruebas.

Análisis de resultados preliminares

Realizamos la primera corrida y obtenemos los resultados mostrados en la figura 112. La línea roja que se muestra en la gráfica corresponde a la temperatura de la superficie del cemento. La línea azul que se muestra en la gráfica corresponde a la temperatura de la superficie del aislamiento térmico.

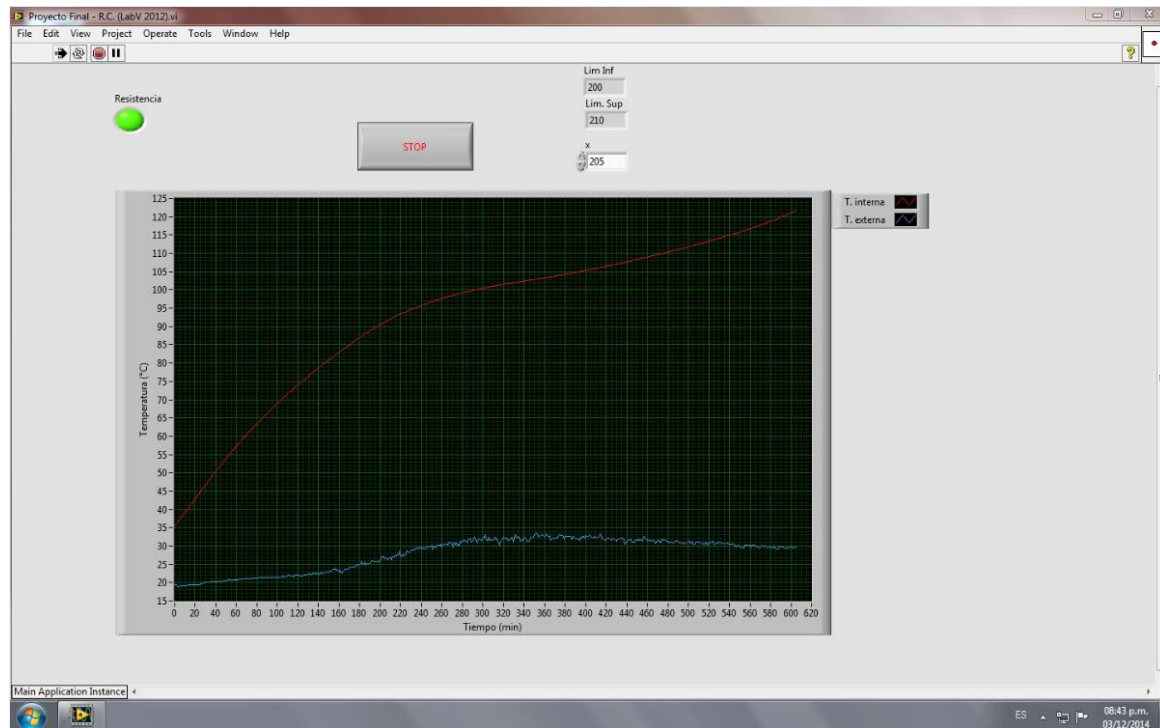


Figura 112. Pruebas preliminares.

De la gráfica final obtenida por el LabView podemos obtener sus valores y enviarlos a una tabla de Excel, solamente nos posicionamos en la gráfica del LabView y damos clic en el botón derecho y seleccionamos mandar datos a tabla de Excel, de esta forma podemos graficar desde Excel los resultados finales, ver figura 113:

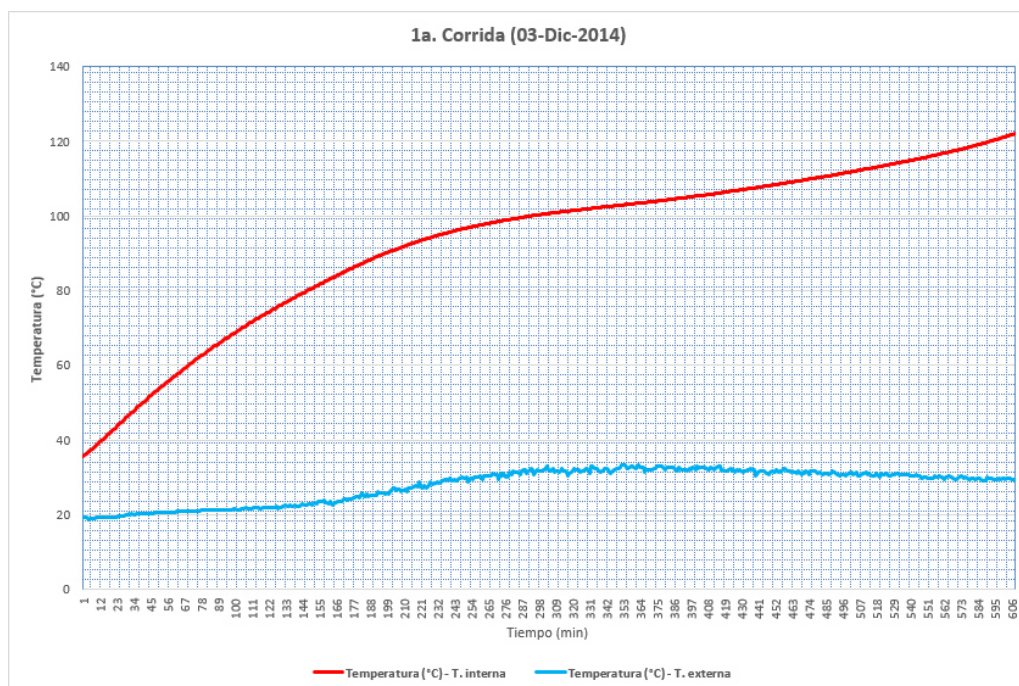


Figura 113. Grafica en Excel.

Se incluye la tabla de resultados obtenidos en esta 1^a Corrida (Ver Anexo R-1).

En esta 1^a Corrida se llevó la prueba por 607 min (10 hr con 7 min) en donde se llegó alcanzar una Temperatura máxima en la superficie del cemento de 122 °C y al final de esta prueba la temperatura de la superficie del aislamiento térmico llegó a 29.41 °C. Pero establecemos como resultado más crítico la temperatura más alta que se haya alcanzado en la superficie del Aislamiento Térmico, la cual sería en el tiempo indicado en la siguiente tabla 3:

| | |
|---|----------------------------|
| Tiempo: | 352 min (5 hr con 52 min). |
| Temperatura de la superficie del cemento: | 102.95 °C |
| Temperatura de la superficie del aislamiento térmico: | 33.47 °C |

Tabla 3. Resultados de la primera corrida.

Nota: Ya que no se tomó la temperatura del ambiente desde el inicio, se tuvo que tomar este valor al final de la prueba recurriendo a un Termopar tipo "T" adicional a los que se encuentran instalados en el cilindro, el cual tomó un valor de 20 °C.

Por lo anterior, esta 1^a Corrida es preliminar, ya que no contamos con los datos completos del análisis, esto debido a quedó pendiente la lectura de la temperatura ambiente y poderse incluir en la misma gráfica.

En esta primera corrida podemos observar que en la siguiente figura 114 el modelo libero un poco de humedad que pudo haber contenido el cemento o el aislamiento térmico.



Figura 114. Humedad en el cilindro.

Ampliación de resultados

Para realizar una ampliación en los resultados, integramos adicionalmente 2 Termopares tipo “T” para tomar la lectura de la temperatura ambiente del lugar donde se están realizando las pruebas, es por lo cual colocamos un termopar en cada uno de los lados del modelo en físico, ver figura 115.

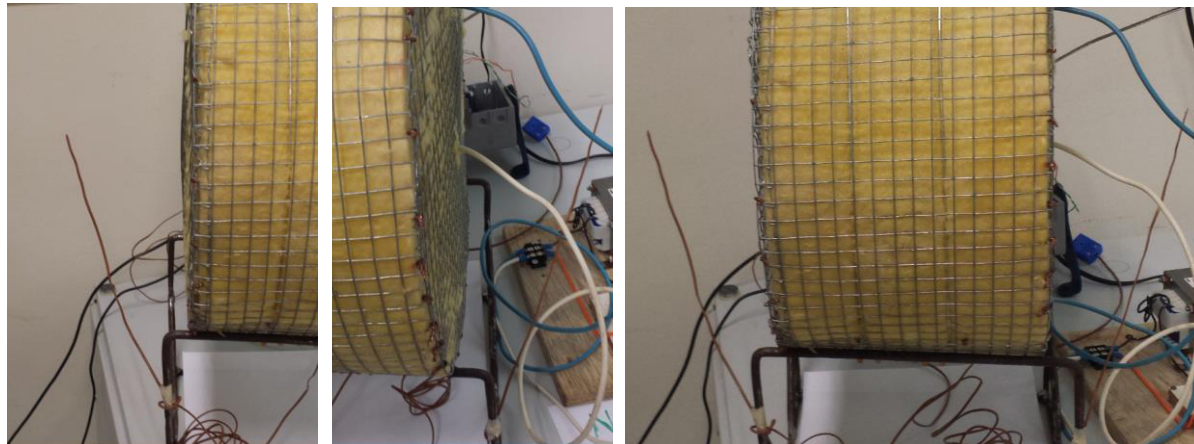


Figura 115. Termopares tipo “T”.

Se conectan los Termopares tipo “T” en el Modulo “NI 9211” y se dan de alta en el LabView, ver figura 116.

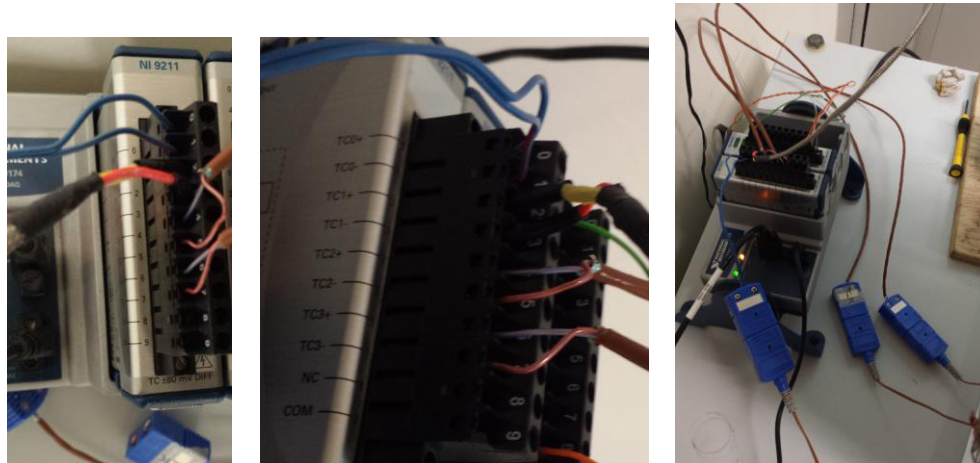


Figura 116. Conexión de Termopares tipo “T”.

La figura 117 representa el Panel Frontal del LabView ya incluyendo los 2 Termopares “T” que se dieron de alta.

Ahora la identificación de la lectura de los termopares es de la siguiente manera:

- La línea roja que se muestra en la gráfica corresponde a la temperatura de la superficie del cemento.
- La línea naranja que se muestra en la gráfica corresponde a la temperatura de la superficie del aislamiento térmico.
- La línea verde que se muestra en la gráfica corresponde a la temperatura ambiente del lado donde se ubica la resistencia eléctrica.
- La línea azul que se muestra en la gráfica corresponde a la temperatura ambiente del lado libre del cilindro.

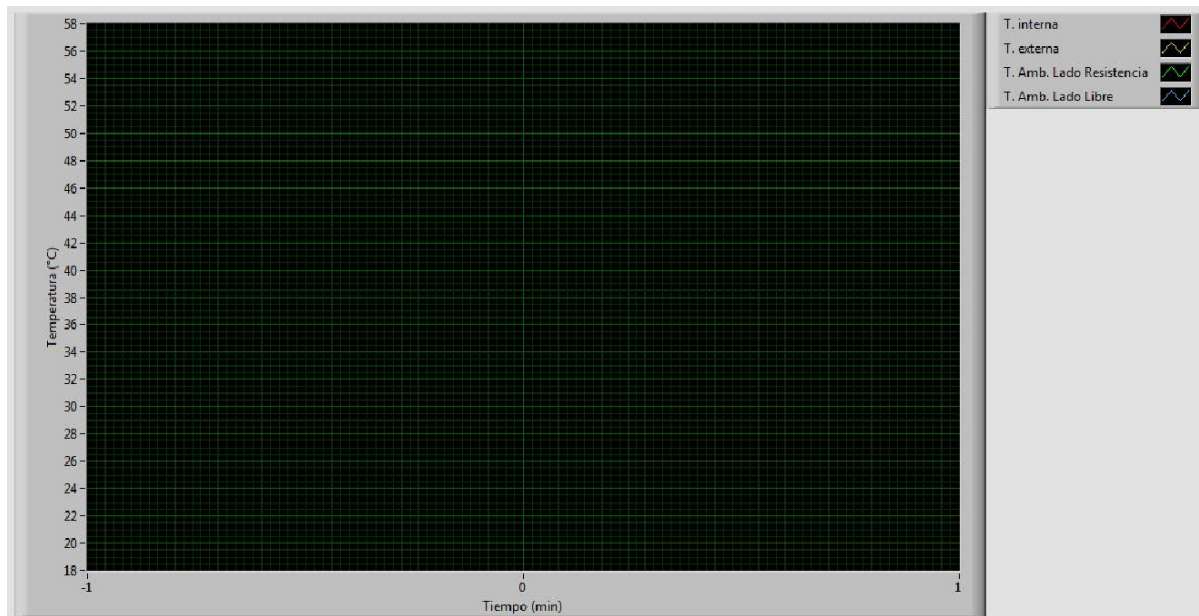


Figura 117. Panel frontal incluyendo Termopares tipo “T”.

Ahora si realizamos la segunda corrida de prueba, obteniendo los siguientes resultados, ver figura 118.

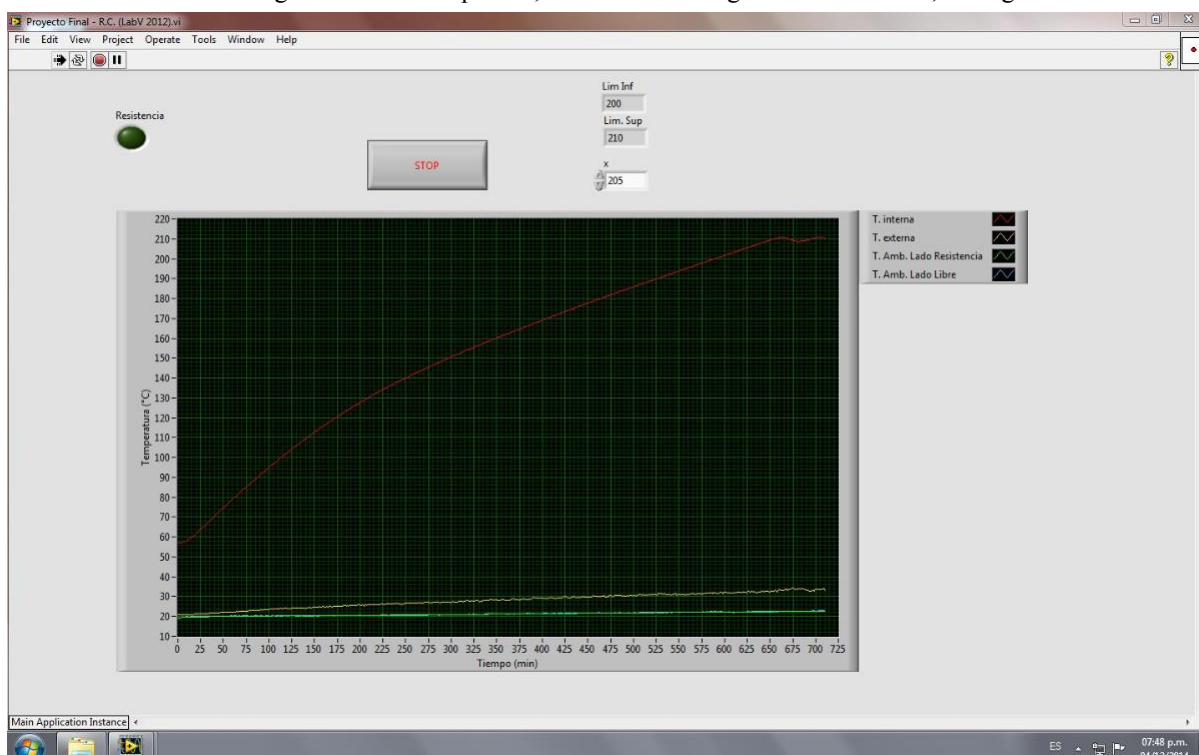


Figura 118. Segunda corrida.

Se grafica desde Excel la 2^a Corrida, ver figura 119:

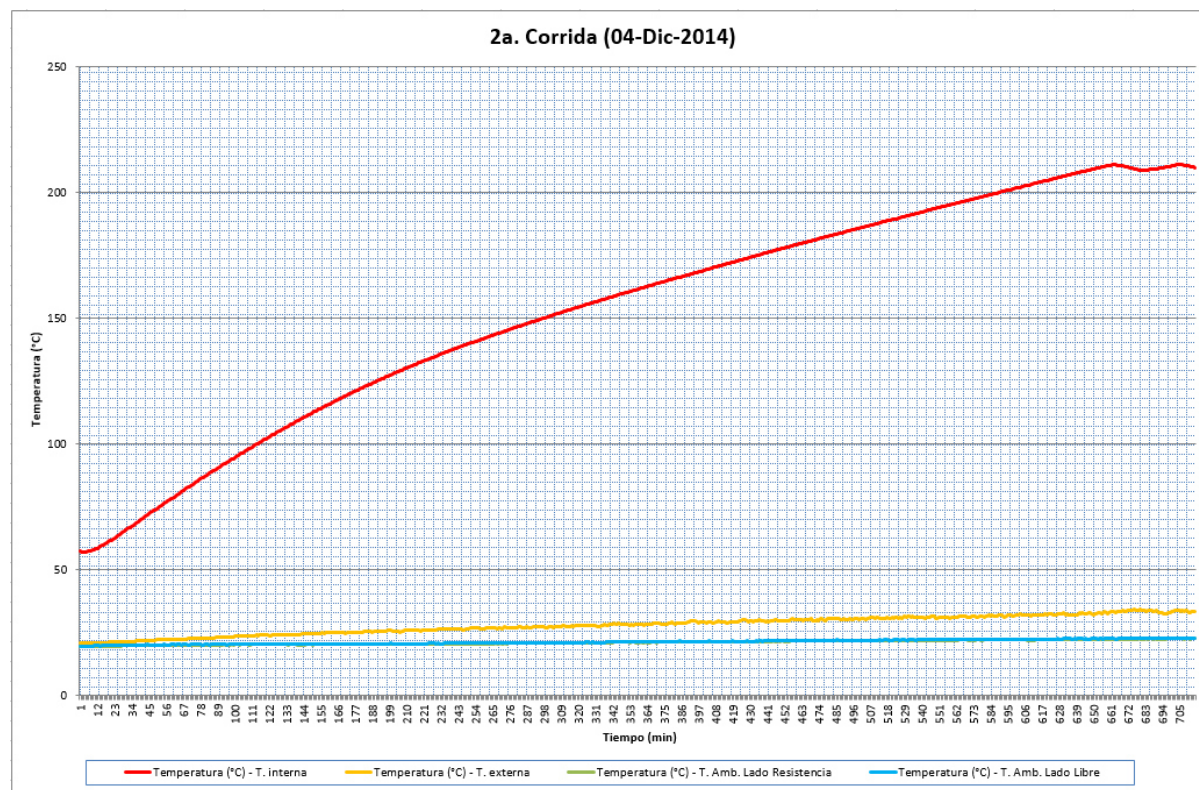


Figura 119. Grafica de la segunda corrida.

Se incluye la tabla de resultados obtenidos en esta 2^a Corrida (Ver Anexo R-2).

En esta 2^a Corrida se llevó la prueba por 714 min (11 hr con 54 min) en donde se llegó alcanzar una Temperatura máxima en la superficie del cemento de 210.82 °C y al final de esta prueba la temperatura de la superficie del aislamiento térmico llego a 33.41 °C. Pero establecemos como resultado más crítico la temperatura más alta que se haya alcanzado en la superficie del Aislamiento Térmico, la cual sería en el tiempo indicado en la siguiente tabla 4:

| | |
|---|-----------------------------|
| Tiempo: | 675 min (11 hr con 15 min). |
| Temperatura de la superficie del cemento: | 209.26 °C |
| Temperatura de la superficie del aislamiento térmico: | 34.33 °C |
| Temperatura Ambiente lado resistencia eléctrica: | 22.55 °C |
| Temperatura Ambiente lado libre: | 22.71 °C |

Tabla 4. Resultados de la segunda corrida.

Y como se podrá observar la temperatura de inicio de la superficie del cilindro de cemento comenzó con una temperatura mayor en comparación a la temperatura ambiente, ya que el calor se conservó de la prueba del día anterior (Aprox. 11 horas que quedo en reposo), y nos ayudó en arrancar el equipo desde una temperatura mayor

(a 57.28 °C).

Realizamos la tercera corrida de prueba, obteniendo los siguientes resultados, ver figura 120.

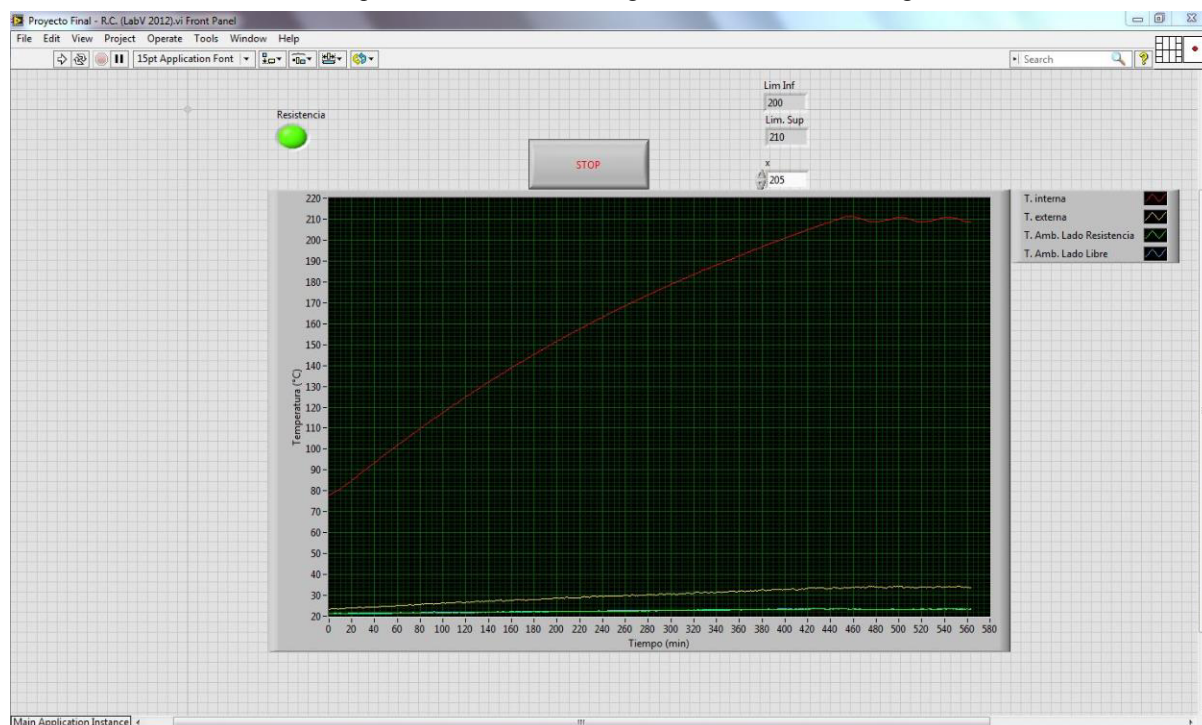


Figura 120. Tercera corrida.

Se grafica desde Excel la 3^a Corrida, ver figura 121:

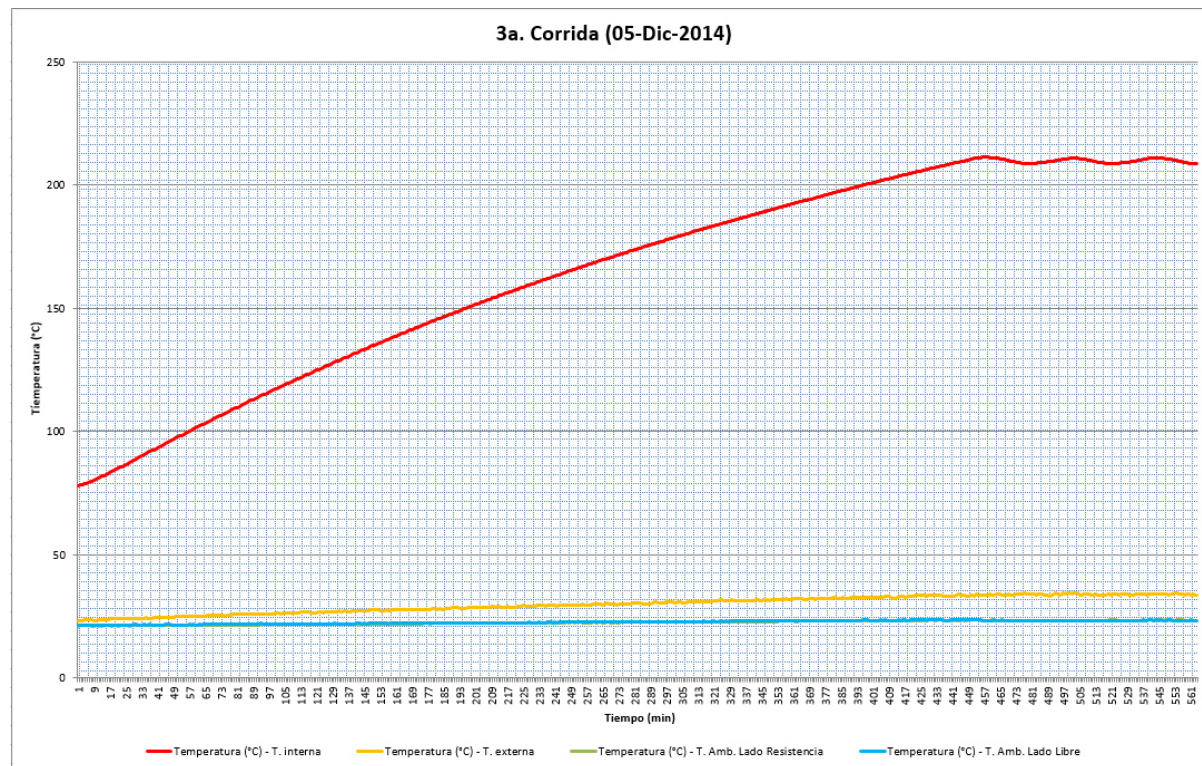


Figura 121. Grafica de la tercera corrida.

Se incluye la tabla de resultados obtenidos en esta 3^a Corrida (Ver Anexo R-3).

En esta 3^a Corrida se llevó la prueba por 563 min (9 hr con 23 min) en donde se llegó alcanzar una Temperatura máxima en la superficie del cemento de 211.19 °C y al final de esta prueba la temperatura de la superficie del aislamiento térmico llegó a 33.72 °C. Pero establecemos como resultado más crítico la temperatura más alta que se haya alcanzado en la superficie del Aislamiento Térmico, la cual sería en el tiempo indicado en la siguiente tabla 5:

| | |
|---|----------------------------|
| Tiempo: | 496 min (8 hr con 16 min). |
| Temperatura de la superficie del cemento: | 210.46 °C |
| Temperatura de la superficie del aislamiento térmico: | 34.51 °C |
| Temperatura Ambiente lado resistencia eléctrica: | 23.27 °C |
| Temperatura Ambiente lado libre: | 23.30 °C |

Tabla 5. Resultados de la tercera corrida.

Y como se podrá observar que la temperatura de inicio en la superficie del cilindro de cemento comenzó con una temperatura mayor en comparación a la temperatura ambiente, ya que el calor se conservó de la prueba del día anterior (Aprox. 15 horas que quedo en reposo), y nos ayudó en arrancar el equipo desde una temperatura mayor (a 77.93 °C).

Realizamos la cuarta y última corrida de prueba, obteniendo los siguientes resultados. Ver figura 122.

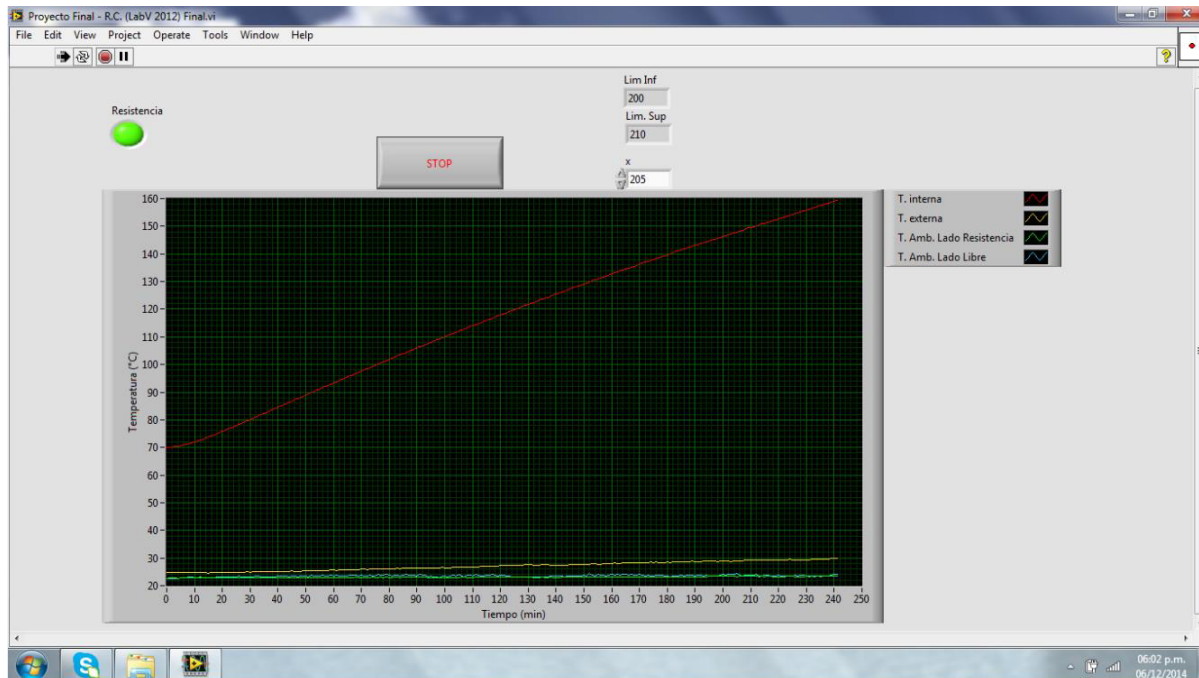


Figura 122. Cuarta corrida.

Se grafica desde Excel la 4^a Corrida, ver figura 123.

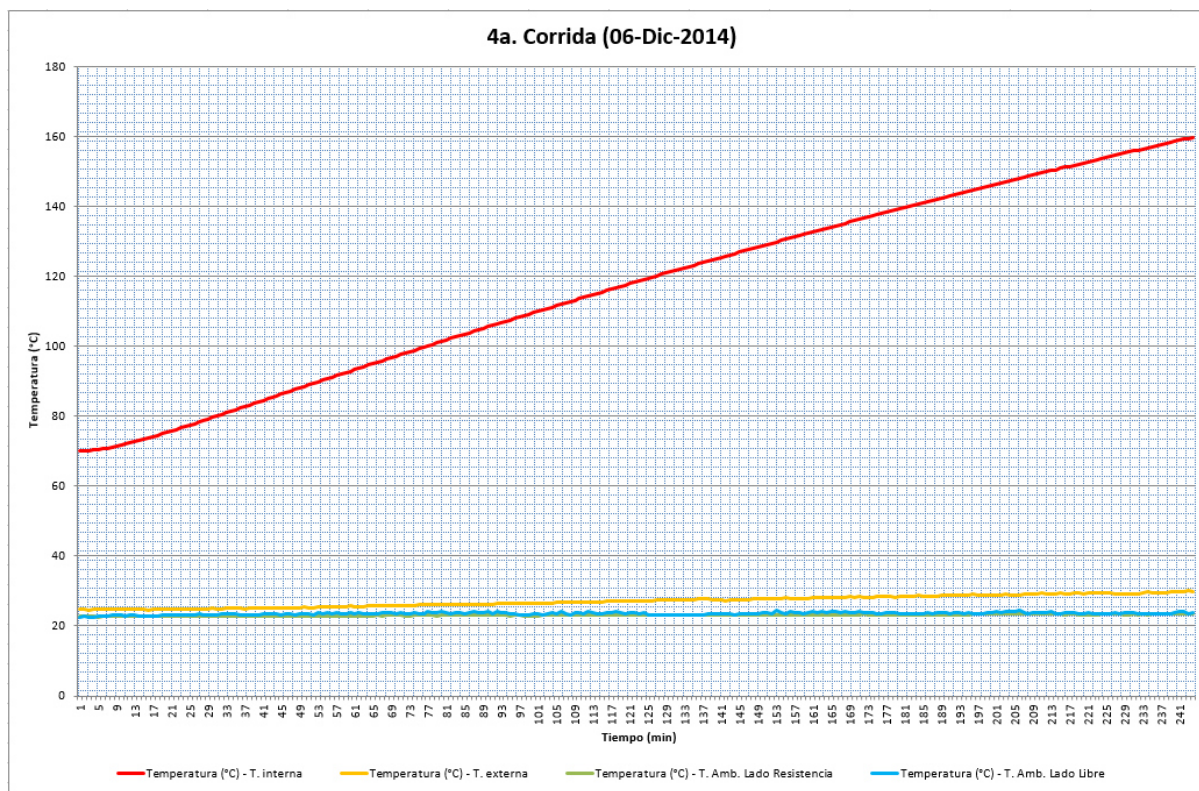


Figura 123. Grafica de la cuarta corrida.

Se incluye la tabla de resultados obtenidos en esta 4^a Corrida (Ver Anexo R-4).

En esta 4^a Corrida se llevó la prueba por 243 min (4 hrs con 4 min) en donde se llegó alcanzar una Temperatura máxima en la superficie del cemento de 159.77 °C y al final de esta prueba la temperatura de la superficie del aislamiento térmico llegó a 29.87 °C. Pero establecemos como resultado más crítico la temperatura más alta que se haya alcanzado en la superficie del Aislamiento Térmico, la cual sería en el tiempo indicado en la siguiente tabla 6:

| | |
|---|----------------------------|
| Tiempo: | 242 min (4 hrs con 2 min). |
| Temperatura de la superficie del cemento: | 159.51 °C |
| Temperatura de la superficie del aislamiento térmico: | 30.0 °C |
| Temperatura Ambiente lado resistencia eléctrica: | 23.52 °C |
| Temperatura Ambiente lado libre: | 23.51 °C |

Tabla 6. Resultados de la cuarta corrida.

Y como se podrá observar la temperatura de inicio de la superficie del cilindro de cemento comenzó con una temperatura mayor en comparación a la temperatura ambiente, ya que el calor se conservó de la prueba del día anterior (Aprox. 18 horas que quedo en reposo), y nos ayudó en arrancar el equipo desde una temperatura mayor (a 70.04 °C).

Verificación de resultados

Aplicamos el resultado más crítico que se haya obtenido en una de las 4 corridas realizadas, en este caso sería el que se obtuvo de la 3^a Corrida, por lo cual tomaremos los siguientes resultados para compararlo contra el resultado que nos arroje las ecuaciones (Anexo A – Ejemplo de cálculo) de la NRF-034-PEMEX-2011

De la tabla 7 tomaremos los datos que se indican sombreados en color amarillo.

| | |
|---|----------------------------|
| Tiempo: | 496 min (8 hr con 16 min). |
| Temperatura de la superficie del cemento: | 210.46 °C |
| Temperatura de la superficie del aislamiento térmico: | 34.51 °C |
| Temperatura Ambiente lado resistencia eléctrica: | 23.27 °C |
| Temperatura Ambiente lado libre: | 23.30 °C |

Tabla 7. Resultados a analizar.

Diámetro exterior del cilindro de cemento: 28 cm = 0.28 m

Diámetro exterior del Aislamiento Térmico: 38.16 cm = 0.3816 m (Espesor del Aislamiento: 2 pulgadas)

Consideraremos la emisividad del aislamiento térmico de 0.4, esto de acuerdo a la Tabla C-2 de la NRF-034-PEMEX-2011.

Se está manejando un Aislamiento Térmico de Fibra de Vidrio de 0.0508 m (2") de espesor, el cual cuenta con una conductividad térmica de 0.038 W/m-K @ 122.4°C (Temperatura Media = [T. Superficie Cemento + T. Superficie Aislamiento] / 2), esto de acuerdo al fabricante. Ver figura 124.

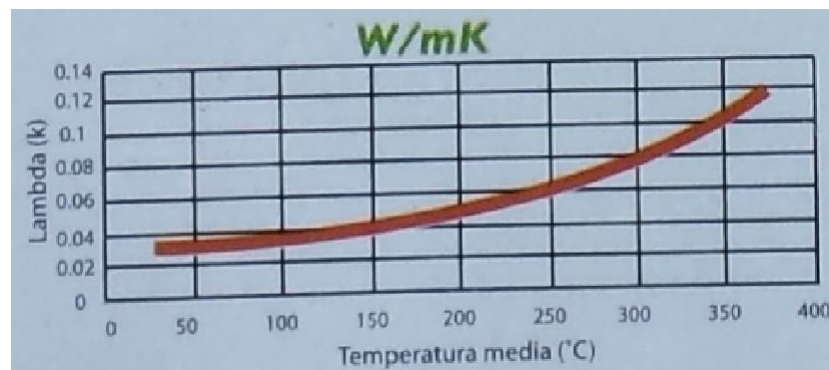


Figura 124. Conductividad térmica del aislante.

Consideramos que la habitación cuenta con un flujo de aire de 0.5m/s (1,800 m/h), el cual se filtra por las puertas de la habitación, ver figura 125.

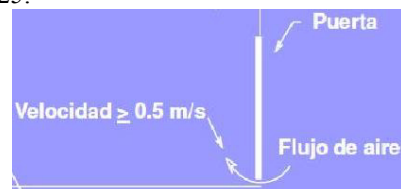


Figura 125. Flujo de aire en la habitación.

Por lo cual contamos con el siguiente Resumen de Datos:

- Diámetro exterior del cilindro de cemento (Dr) = 28 cm = 0.28 m
- Diámetro aislado (Da) = $Dr + 2E$ = 0.28 m + (2 x 0.0508)
= 0.3816 m
- Top (Temperatura de Operación) = 210.46 °C (483.46 K)
- Ta (Temperatura Ambiente) = 23.30 °C (296.3 K)
- V (Velocidad del Viento) = 1,800 m/h
- ϵ (Emisividad del Aislamiento) = 0.4
- E (Espesor del Aislamiento) = 0.0508 m

Se procede aplicar la siguiente ecuación; transferencia de calor en superficies cilíndricas.

$$Q = \frac{Top - Ta}{Eeq/k + 1/f}$$

El espesor equivalente (Eeq) se calcula con la siguiente ecuación:

$$Eeq = r_2 \ln(r_2/r_1)$$

$$r_1 = 0.28/2 = 0.14 \text{ m}$$

$$r_2 = r_1 + E = 0.14 + 0.0508 = 0.1908 \text{ m}$$

$$Eeq = 0.1908 \ln(0.1908/0.14) = 0.059 \text{ m}$$

Ya contamos con el valor de la conductiva térmica del aislamiento térmico por parte del fabricante:
 $k = 0.038 \text{ W/m-K}$

Ahora determinamos el valor de f

$$f = hr + hc.$$

En donde:

$$hc = 3.0075 C Da^{-0.2} [1.11/(Ts+Ta-510.44)]^{0.181} [1.8(Ts-Ta)]^{0.266} [1+(7.9366 \times 10^{-4} V)]^{0.5}$$

$$hr = 0.9824 \times 10^{-8} \epsilon [(Ts^4 - Ta^4) / (Ts-Ta)].$$

C Coeficiente de forma, 1.79 para superficies planas y 1.016 para tuberías, a dimensional.

Ts o Tss Temperatura de superficie supuesta en K (°C).

Tomamos el valor que nos resultó de la prueba (3^a Corrida), como la “Temperatura de la superficie del aislamiento térmico” en la cual nos dio un valor de 34.51 °C (307.51 K).

$$hc = 3.0075 \times 1.016 \times 0.3816^{-0.2} [1.11/(307.51+296.3-510.44)]^{0.181} [1.8(307.51-296.3)]^{0.266} [1+(7.9366 \times 10^{-4} \times 1,800)]^{0.5}$$

$$hc = 5.7559 \text{ m}^2\text{-K/W}$$

$$hr = 0.9824 \times 10^{-8} \times 0.4 [(307.51^4 - 296.3^4) / (307.51 - 296.3)].$$

$$hr = 0.4316 \text{ m}^2\text{-K/W}$$

$$hr + hc = 0.4316 + 5.7559 = 6.1875 \text{ m}^2\text{-K/W}$$

$$1/f = 1/(hr + hc) = 0.1616 \text{ W/m}^2 \text{ - K}$$

$$Q = \frac{Top - Ta}{Eeq/k + 1/f} = \frac{483.46 - 296.3}{0.059/0.038 + 0.1616} = 109.18 \text{ W/m}^2$$

Con el resultado de este primer tanteo procedemos a calcular la temperatura de superficie que se deriva de esta transferencia de calor empleando la ecuación.

Tsc = Temperatura de superficie calculada [K] [°C]

$$Tsc = Q / f + Ta \quad (4)$$

$$Tsc = 109.18 \times 0.1616 + 296.3 = 313.94 \text{ K} (40.94 \text{ °C})$$

Entonces:

$$Tsc - Tss = 313.94 - 307.51 = 6.43 \text{ K}$$

Siguiendo la indicación de la normativa nos indica lo siguiente:

La diferencia entre la temperatura de superficie calculada y la supuesta (considerada como la Temperatura de la superficie del aislamiento que nos resultó en la prueba) es mucho mayor que 1.0 (tenemos un resultado de 6.43), por lo tanto, siendo 1 el valor máximo aceptable por la NRF-034-PEMEX-2011, ahora si realizamos un tanteo de la superficie exterior del aislamiento térmico. La secuencia es la siguiente:

$$Tss = 310 \text{ K} (37 \text{ °C})$$

$$hr = 0.9824 \times 10^{-8} \times 0.4 [(310^4 - 296.3^4) / (310 - 296.3)] =$$

$$hr = 0.438 \text{ m}^2\text{-K/W}$$

$$hc = 3.0075 \times 1.016 \times 0.3816^{-0.2} [1.11/(310+296.3-510.44)]^{0.181} [1.8(310-296.3)]^{0.266} [1+(7.9366 \times 10^{-4} \times 1,800)]^{0.5}$$

$$hc = 6.043 \text{ m}^2\text{-K/W}$$

$$hr + hc = 0.438 + 6.043 = 6.4811 \text{ m}^2\text{-K/W}$$

$$1/f = 1/(hr + hc) = 0.1542 \text{ W/m}^2 \cdot \text{K}$$

$$Q = \frac{Top - Ta}{Eeq/k + 1/f} = \frac{483.46 - 296.3}{0.059/0.038 + 0.1542} = 109.64 \text{ W/m}^2$$

Con el resultado de este primer tanteo procedemos a calcular la temperatura de superficie que se deriva de esta transferencia de calor empleando la ecuación.

Tsc = Temperatura de superficie calculada [K] [°C]

$$Tsc = Q / f + Ta \quad (4)$$

$$Tsc = 109.64 \times 0.1542 + 296.3 = 313.21 \text{ K} (40.21 \text{ °C})$$

Entonces:

$$Tsc - Tss = 313.21 - 310 = 3.21 \text{ K}$$

La diferencia entre la temperatura de superficie calculada y la supuesta (la cual se consideró en 310 K) sigue siendo mayor que 1.0 (tenemos un resultado de 3.21), por lo tanto, siendo 1 el valor máximo aceptable por la NRF-034-PEMEX-2011, se realiza un tercer tanteo de la superficie exterior del aislamiento térmico. La secuencia es la siguiente:

T_{ss} = 312 K (39 °C)

$$hr = 0.9824 \times 10^{-8} \times 0.4 [(312^4 - 296.3^4) / (312 - 296.3)] = \\ hr = 0.4425 \text{ m}^2\text{-K/W}$$

$$hc = 3.0075 \times 1.016 \times 0.3816^{-0.2} [1.11/(312+296.3-510.44)]^{0.181} [1.8(312-296.3)]^{0.266} [1+(7.9366 \times 10^{-4}) \times 1,800]^{0.5} \\ hc = 6.2426 \text{ m}^2\text{-K/W}$$

$$hr + hc = 0.4425 + 6.2426 = 6.6851 \text{ m}^2\text{-K/W}$$

$$1/f = 1/(hr + hc) = 0.1495 \text{ W/m}^2 \text{- K}$$

$$Q = \frac{Top - Ta}{Eeq/k + 1/f} = \frac{483.46 - 296.3}{0.059/0.038 + 0.1495} = \\ 109.95 \text{ W/m}^2$$

Con el resultado de este primer tanteo procedemos a calcular la temperatura de superficie que se deriva de esta transferencia de calor empleando la ecuación.

T_{sc} = Temperatura de superficie calculada [K] [°C]

$$T_{sc} = Q 1/f + Ta \quad (4)$$

$$T_{sc} = 109.95 \times 0.1495 + 296.3 = 312.73 \text{ K (39.73 °C)}$$

Entonces:

$$T_{sc} - T_{ss} = 312.73 - 312 = 0.73 \text{ K}$$

La diferencia entre la temperatura de superficie calculada y la supuesta (la cual se consideró en 312 K) es menor que 1,0 (tenemos un resultado de 0.73). En sucesivas iteraciones esta diferencia tiende a cero, se realiza un cuarto tanteo de la superficie exterior del aislamiento térmico para acercar el valor más a cero. La secuencia es la siguiente:

T_{ss} = 312.6 K (39.6 °C)

$$hr = 0.9824 \times 10^{-8} \times 0.4 [(312.6^4 - 296.3^4) / (312.6 - 296.3)] = \\ hr = 0.4438 \text{ m}^2\text{-K/W}$$

$$hc = 3.0075 \times 1.016 \times 0.3816^{-0.2} [1.11/(312.6+296.3-510.44)]^{0.181} [1.8(312.6-296.3)]^{0.266} [1+(7.9366 \times 10^{-4}) \times 1,800]^{0.5} \\ hc = 6.2982 \text{ m}^2\text{-K/W}$$

$$hr + hc = 0.4438 + 6.2982 = 6.742 \text{ m}^2\text{-K/W}$$

$$1/f = 1/(hr + hc) = 0.1483 \text{ W/m}^2 \text{- K}$$

$$Q = \frac{Top - Ta}{Eeq/k + 1/f} = \frac{483.46 - 296.3}{0.059/0.038 + 0.1483} = \\ 110.03 \text{ W/m}^2$$

Con el resultado de este primer tanteo procedemos a calcular la temperatura de superficie que se deriva de esta transferencia de calor empleando la ecuación.

T_{sc} = Temperatura de superficie calculada [K] [°C]

$$T_{sc} = Q \cdot 1/f + T_a \quad (4)$$

$$T_{sc} = 110.03 \times 0.1483 + 296.3 = 312.617 \text{ K (} 39.617 \text{ °C})$$

Entonces:

$$T_{sc} - T_{ss} = 312.617 - 312.6 = \mathbf{0.017 \text{ K}}$$

La diferencia entre la temperatura de superficie calculada y la supuesta (la cual se consideró en 312.6 K) es menor que 1,0 (tenemos un resultado de 0.017). En sucesivas iteraciones esta diferencia tiende a cero pero ya con diferencias de decimales en la temperatura supuesta que estemos considerando, por lo cual si ya contamos con un resultado cercano a cero ya no tiene caso seguir realizando otra iteración ya que el valor de temperatura supuesto cambia en lo mínimo que no es de gran importancia. Recordamos que el valor 1 es el máximo aceptable por la NRF-034-PEMEX-2011, de esta forma llegamos al resultado que estábamos buscando con respecto a la Temperatura de superficie supuesta, siendo esta de 312.6 K (39.6 °C).

Capítulo IV

Conclusión

En el desarrollo de esta investigación se pudo analizar la transferencia de calor en un aislante térmico de fibra de vidrio, utilizando dimensiones similares a la de una bomba centrifuga horizontal, se construyó un modelo físico con forma de cilindro fabricado de concreto que representaría el modelo de la bomba bajo prueba. En el interior del cilindro se colocó una resistencia eléctrica para generar calor con la finalidad de llegar a una temperatura estipulada de 210°C que simula la temperatura de la superficie de una bomba centrifuga en operación con fluidos típicos de la industria petrolera. La temperatura del cilindro fue controlada manipulando la potencia suministrada a la resistencia eléctrica. El control de la potencia eléctrica se realizó mediante el uso de un software llamado LabView, que controla la tarjeta electrónica que suministra energía a la resistencia. El cilindro se forró con un aislamiento térmico de fibra de vidrio, mismo que se eligió de forma consistente con lo establecido por la normativa NRF-034-PEMEX-2011, aplicable a equipos de proceso que opera a altas temperaturas.

Con el modelo físico experimental se pudo comprobar si en efecto el forro empleado en bombas, en consistencia con la normativa NRF-034-PEMEX-2011, que operan a alta temperatura es el adecuado. El modelo físico nos permitió obtener resultados de la temperatura externa del aislante, encontrándose diferencias respecto a lo que se espera según las ecuaciones establecidas en la normativa. Por mencionar un caso, en la tabla 8 mostramos los resultados más críticos que se obtuvieron en la 3^a. Corrida del experimento en físico.

| | |
|--|----------------------------|
| Tiempo en el que se presentó el resultado más crítico en el aislamiento térmico: | 496 min (8 hr con 16 min). |
| Temperatura de la superficie del cemento: | 210.46 °C |
| Temperatura máxima alcanzada en la superficie del aislamiento térmico: | 34.51 °C |
| Temperatura Ambiente lado resistencia eléctrica: | 23.27 °C |
| Temperatura Ambiente lado libre: | 23.30 °C |

Tabla 8. Resultados del modelo experimental.

Con los datos que se obtuvieron en el modelo, se interpretaron en las ecuaciones del Anexo A de la NRF-034-PEMEX-2011, y obtuvimos un valor de T_{ss} (Temperatura de superficie supuesta) de 39.6 °C. Mientras que en la práctica se obtuvo un valor de 34.51 °C, medidos en la superficie del Aislamiento Térmico. Lo anterior indica que los resultados varían un 14.74%. Con este resultado llegamos a la conclusión de que el Anexo A de la NRF-034-PEMEX-2011 maneja criterios más conservadores en comparación a los resultados que se obtuvieron en la práctica.

Por lo tanto podremos decir, en base a la investigación realizada, que la normativa NRF-034-PEMEX-2011 en efecto asegura la integridad física del personal y la selección de un Aislamiento Térmico.

Nota: Para futuras contribuciones el modelo en físico que se desarrolló en este proyecto, es donado al Laboratorio de Investigación e Innovación en Tecnología Energética de la Facultad de Ingeniería Mecánica.

ANEXO R-1

Tabla de resultados obtenidos en la 1^a Corrida. (03-Dic-2014)

| Tiempo (min) | Temperatura (°C) T. interna | Temperatura (°C) T. externa | Tiempo (min) | Temperatura (°C) T. interna | Temperatura (°C) T. externa |
|--------------|--------------------------------|--------------------------------|--------------|--------------------------------|--------------------------------|
| 0 | 35.5506 | 19.307 | 41 | 50.7438 | 20.3532 |
| 1 | 35.9349 | 19.3187 | 42 | 51.1017 | 20.3909 |
| 2 | 36.2949 | 19.258 | 43 | 51.4709 | 20.4153 |
| 3 | 36.6541 | 18.8395 | 44 | 51.8401 | 20.3886 |
| 4 | 37.0089 | 18.7253 | 45 | 52.1337 | 20.3885 |
| 5 | 37.3427 | 18.9671 | 46 | 52.5225 | 20.3897 |
| 6 | 37.6517 | 19.0892 | 47 | 52.8751 | 20.4937 |
| 7 | 37.9911 | 19.1172 | 48 | 53.2411 | 20.5289 |
| 8 | 38.3614 | 19.1643 | 49 | 53.5798 | 20.5575 |
| 9 | 38.7211 | 19.2127 | 50 | 53.8986 | 20.5283 |
| 10 | 39.1163 | 19.2741 | 51 | 54.2657 | 20.6164 |
| 11 | 39.4485 | 19.171 | 52 | 54.6064 | 20.6244 |
| 12 | 39.8537 | 19.2513 | 53 | 54.9366 | 20.6417 |
| 13 | 40.2257 | 19.2989 | 54 | 55.2804 | 20.6564 |
| 14 | 40.6104 | 19.3378 | 55 | 55.5974 | 20.6139 |
| 15 | 40.9979 | 19.3616 | 56 | 55.9543 | 20.7008 |
| 16 | 41.3939 | 19.3966 | 57 | 56.2891 | 20.7021 |
| 17 | 41.7128 | 19.393 | 58 | 56.6033 | 20.6863 |
| 18 | 42.1043 | 19.4279 | 59 | 56.9499 | 20.7009 |
| 19 | 42.5119 | 19.44 | 60 | 57.2537 | 20.7486 |
| 20 | 42.8966 | 19.4299 | 61 | 57.5936 | 20.8268 |
| 21 | 43.2924 | 19.4108 | 62 | 57.9097 | 20.8386 |
| 22 | 43.6888 | 19.4352 | 63 | 58.2387 | 20.8618 |
| 23 | 44.059 | 19.5158 | 64 | 58.5687 | 20.8766 |
| 24 | 44.4246 | 19.5179 | 65 | 58.8734 | 20.8514 |
| 25 | 44.7851 | 19.5605 | 66 | 59.1807 | 20.8888 |
| 26 | 45.1546 | 19.5915 | 67 | 59.5119 | 20.9999 |
| 27 | 45.5453 | 19.6807 | 68 | 59.7819 | 21.0609 |
| 28 | 45.9225 | 19.9143 | 69 | 60.1199 | 21.0828 |
| 29 | 46.2483 | 19.9947 | 70 | 60.423 | 21.0952 |
| 30 | 46.6261 | 20.1694 | 71 | 60.7554 | 21.0609 |
| 31 | 47.0243 | 20.11 | 72 | 61.0434 | 21.0306 |
| 32 | 47.4203 | 20.1478 | 73 | 61.3606 | 21.0945 |
| 33 | 47.7938 | 20.1197 | 74 | 61.6636 | 21.0281 |
| 34 | 48.1717 | 20.1014 | 75 | 61.9532 | 21.0874 |
| 35 | 48.5778 | 20.1991 | 76 | 62.267 | 21.1092 |
| 36 | 48.937 | 20.2263 | 77 | 62.5578 | 21.1872 |
| 37 | 49.3002 | 20.2098 | 78 | 62.8332 | 21.2022 |
| 38 | 49.6411 | 20.2407 | 79 | 63.1421 | 21.2308 |
| 39 | 50.0467 | 20.3317 | 80 | 63.4212 | 21.1514 |
| 40 | 50.3988 | 20.3552 | 81 | 63.7425 | 21.2203 |

ANEXO R-1

Tabla de resultados obtenidos en la 1^a Corrida. (03-Dic-2014)

| Tiempo (min) | Temperatura (°C) T. interna | Temperatura (°C) T. externa | Tiempo (min) | Temperatura (°C) T. interna | Temperatura (°C) T. externa |
|--------------|--------------------------------|--------------------------------|--------------|--------------------------------|--------------------------------|
| 82 | 64.0164 | 21.2919 | 123 | 74.7417 | 21.8893 |
| 83 | 64.3266 | 21.4249 | 124 | 74.9913 | 21.8171 |
| 84 | 64.5924 | 21.4391 | 125 | 75.2025 | 21.8533 |
| 85 | 64.8882 | 21.4177 | 126 | 75.4449 | 22.3668 |
| 86 | 65.1904 | 21.2905 | 127 | 75.6909 | 21.7344 |
| 87 | 65.4158 | 21.3256 | 128 | 75.9411 | 22.0195 |
| 88 | 65.7399 | 21.3644 | 129 | 76.1474 | 22.0781 |
| 89 | 66.0187 | 21.3233 | 130 | 76.3882 | 22.2828 |
| 90 | 66.2837 | 21.4113 | 131 | 76.6246 | 22.3421 |
| 91 | 66.5922 | 21.4139 | 132 | 76.8509 | 22.5378 |
| 92 | 66.8647 | 21.356 | 133 | 77.0923 | 22.1327 |
| 93 | 67.117 | 21.3918 | 134 | 77.2986 | 22.3568 |
| 94 | 67.3901 | 21.2849 | 135 | 77.5227 | 22.6135 |
| 95 | 67.6363 | 21.3094 | 136 | 77.7464 | 22.4108 |
| 96 | 67.9272 | 21.4044 | 137 | 77.9603 | 22.1874 |
| 97 | 68.2035 | 21.3948 | 138 | 78.1958 | 22.651 |
| 98 | 68.4867 | 21.4898 | 139 | 78.3809 | 22.4204 |
| 99 | 68.7415 | 21.6147 | 140 | 78.6186 | 22.2262 |
| 100 | 69.0341 | 21.3898 | 141 | 78.8631 | 22.3046 |
| 101 | 69.259 | 21.4255 | 142 | 79.0628 | 22.5964 |
| 102 | 69.5299 | 21.4391 | 143 | 79.285 | 22.8777 |
| 103 | 69.7687 | 21.602 | 144 | 79.4975 | 22.5064 |
| 104 | 70.0928 | 21.5759 | 145 | 79.7364 | 22.4343 |
| 105 | 70.3292 | 21.5838 | 146 | 79.9477 | 22.7435 |
| 106 | 70.5916 | 21.8117 | 147 | 80.1757 | 22.8665 |
| 107 | 70.8589 | 21.5024 | 148 | 80.3543 | 22.8654 |
| 108 | 71.0985 | 21.648 | 149 | 80.6006 | 22.7343 |
| 109 | 71.3742 | 21.7294 | 150 | 80.8105 | 22.8685 |
| 110 | 71.5715 | 21.7542 | 151 | 81.0473 | 23.1046 |
| 111 | 71.8614 | 22.0791 | 152 | 81.2303 | 23.0022 |
| 112 | 72.0684 | 21.8301 | 153 | 81.4175 | 23.4418 |
| 113 | 72.3483 | 21.8178 | 154 | 81.6673 | 23.6874 |
| 114 | 72.5734 | 21.8277 | 155 | 81.8478 | 23.582 |
| 115 | 72.836 | 21.7155 | 156 | 82.0972 | 23.59 |
| 116 | 73.0762 | 21.7109 | 157 | 82.3162 | 23.757 |
| 117 | 73.3318 | 22.0786 | 158 | 82.5063 | 23.3769 |
| 118 | 73.5868 | 21.9957 | 159 | 82.7176 | 23.081 |
| 119 | 73.8217 | 22.0233 | 160 | 82.8925 | 23.0388 |
| 120 | 74.0463 | 22.0073 | 161 | 83.1212 | 23.4313 |
| 121 | 74.2873 | 21.9724 | 162 | 83.3383 | 22.7729 |
| 122 | 74.5182 | 21.9267 | 163 | 83.5245 | 22.6737 |

ANEXO R-1

Tabla de resultados obtenidos en la 1^a Corrida. (03-Dic-2014)

| Tiempo (min) | Temperatura (°C) T. interna | Temperatura (°C) T. externa | Tiempo (min) | Temperatura (°C) T. interna | Temperatura (°C) T. externa |
|--------------|--------------------------------|--------------------------------|--------------|--------------------------------|--------------------------------|
| 164 | 83.7435 | 23.1799 | 205 | 91.2462 | 26.7646 |
| 165 | 83.9347 | 23.3129 | 206 | 91.3775 | 26.757 |
| 166 | 84.1648 | 23.5847 | 207 | 91.562 | 26.2816 |
| 167 | 84.3495 | 23.6371 | 208 | 91.7156 | 26.5819 |
| 168 | 84.5428 | 23.6322 | 209 | 91.8522 | 26.5474 |
| 169 | 84.7881 | 23.5513 | 210 | 92.0112 | 26.8604 |
| 170 | 84.9697 | 24.2955 | 211 | 92.15 | 26.2817 |
| 171 | 85.186 | 24.2944 | 212 | 92.3017 | 27.2003 |
| 172 | 85.3888 | 24.0396 | 213 | 92.4172 | 27.1379 |
| 173 | 85.5725 | 24.2106 | 214 | 92.5686 | 27.098 |
| 174 | 85.7955 | 24.2557 | 215 | 92.7264 | 27.5956 |
| 175 | 85.9926 | 24.2789 | 216 | 92.8181 | 27.4118 |
| 176 | 86.1718 | 24.4294 | 217 | 92.9942 | 27.6628 |
| 177 | 86.4008 | 24.6575 | 218 | 93.1471 | 27.5457 |
| 178 | 86.5705 | 24.8578 | 219 | 93.2604 | 28.6805 |
| 179 | 86.7903 | 24.9688 | 220 | 93.367 | 27.4349 |
| 180 | 86.9817 | 24.6695 | 221 | 93.5506 | 27.1866 |
| 181 | 87.1721 | 25.2257 | 222 | 93.6618 | 27.7092 |
| 182 | 87.3345 | 25.7378 | 223 | 93.7682 | 27.5944 |
| 183 | 87.5662 | 24.9414 | 224 | 93.8906 | 27.2804 |
| 184 | 87.7256 | 24.8538 | 225 | 94.0239 | 27.7935 |
| 185 | 87.9115 | 25.4838 | 226 | 94.1322 | 28.6936 |
| 186 | 88.0976 | 24.7322 | 227 | 94.2693 | 28.4594 |
| 187 | 88.2761 | 25.1788 | 228 | 94.3971 | 28.1891 |
| 188 | 88.4558 | 25.2249 | 229 | 94.5188 | 28.4823 |
| 189 | 88.6375 | 25.1325 | 230 | 94.6221 | 28.5946 |
| 190 | 88.8379 | 25.3508 | 231 | 94.7507 | 28.9297 |
| 191 | 88.9819 | 25.3318 | 232 | 94.8619 | 28.5771 |
| 192 | 89.1323 | 26.0963 | 233 | 94.9755 | 28.884 |
| 193 | 89.3118 | 25.8656 | 234 | 95.0913 | 29.2237 |
| 194 | 89.4801 | 25.8709 | 235 | 95.1896 | 29.1863 |
| 195 | 89.6387 | 25.7533 | 236 | 95.3396 | 29.531 |
| 196 | 89.8303 | 25.7262 | 237 | 95.4483 | 29.5983 |
| 197 | 89.9928 | 25.6274 | 238 | 95.5473 | 29.1798 |
| 198 | 90.1671 | 25.7198 | 239 | 95.6485 | 29.8674 |
| 199 | 90.3 | 25.6484 | 240 | 95.7765 | 29.5417 |
| 200 | 90.4824 | 26.0423 | 241 | 95.8756 | 29.0481 |
| 201 | 90.6089 | 26.5282 | 242 | 95.9945 | 29.4668 |
| 202 | 90.7718 | 27.0653 | 243 | 96.0898 | 29.1155 |
| 203 | 90.9258 | 27.0584 | 244 | 96.1889 | 29.2701 |
| 204 | 91.0905 | 26.4707 | 245 | 96.2694 | 29.8375 |

ANEXO R-1

Tabla de resultados obtenidos en la 1^a Corrida. (03-Dic-2014)

| Tiempo (min) | Temperatura (°C) T. interna | Temperatura (°C) T. externa | Tiempo (min) | Temperatura (°C) T. interna | Temperatura (°C) T. externa |
|--------------|--------------------------------|--------------------------------|--------------|--------------------------------|--------------------------------|
| 246 | 96.3726 | 29.6381 | 287 | 99.6904 | 32.0769 |
| 247 | 96.4847 | 30.0568 | 288 | 99.7449 | 31.9685 |
| 248 | 96.5747 | 29.7228 | 289 | 99.8243 | 30.9993 |
| 249 | 96.6808 | 29.7503 | 290 | 99.8878 | 31.5118 |
| 250 | 96.7223 | 30.1026 | 291 | 99.9213 | 32.02 |
| 251 | 96.8316 | 28.854 | 292 | 99.9826 | 32.3424 |
| 252 | 96.9019 | 29.8878 | 293 | 100.066 | 32.0697 |
| 253 | 97.0635 | 29.8165 | 294 | 100.148 | 30.781 |
| 254 | 97.146 | 29.5941 | 295 | 100.164 | 31.8029 |
| 255 | 97.2206 | 30.0627 | 296 | 100.233 | 32.0041 |
| 256 | 97.3032 | 30.2222 | 297 | 100.307 | 31.7605 |
| 257 | 97.382 | 30.209 | 298 | 100.37 | 31.5965 |
| 258 | 97.4665 | 30.2344 | 299 | 100.424 | 31.639 |
| 259 | 97.5858 | 30.3847 | 300 | 100.407 | 31.9934 |
| 260 | 97.6452 | 29.5239 | 301 | 100.489 | 32.1798 |
| 261 | 97.7454 | 30.4411 | 302 | 100.554 | 33.0318 |
| 262 | 97.8296 | 30.4321 | 303 | 100.603 | 32.127 |
| 263 | 97.8818 | 30.4529 | 304 | 100.695 | 31.5934 |
| 264 | 97.9995 | 30.4196 | 305 | 100.751 | 31.64 |
| 265 | 98.0775 | 30.3662 | 306 | 100.784 | 32.4453 |
| 266 | 98.1603 | 30.2978 | 307 | 100.808 | 31.4621 |
| 267 | 98.2215 | 31.0699 | 308 | 100.883 | 31.6396 |
| 268 | 98.2757 | 30.7746 | 309 | 100.91 | 31.861 |
| 269 | 98.3762 | 30.8811 | 310 | 100.974 | 31.5473 |
| 270 | 98.472 | 30.6211 | 311 | 101.078 | 31.6875 |
| 271 | 98.5609 | 29.5563 | 312 | 101.098 | 32.3308 |
| 272 | 98.643 | 31.0346 | 313 | 101.138 | 31.6883 |
| 273 | 98.73 | 30.363 | 314 | 101.206 | 31.6712 |
| 274 | 98.7676 | 30.9499 | 315 | 101.234 | 31.2603 |
| 275 | 98.8482 | 30.147 | 316 | 101.33 | 30.3108 |
| 276 | 98.9106 | 30.4142 | 317 | 101.358 | 31.0637 |
| 277 | 99.0015 | 30.0559 | 318 | 101.38 | 31.4224 |
| 278 | 99.0846 | 31.2694 | 319 | 101.473 | 31.8337 |
| 279 | 99.1434 | 30.8849 | 320 | 101.526 | 32.3111 |
| 280 | 99.2158 | 31.5939 | 321 | 101.575 | 32.1903 |
| 281 | 99.2878 | 31.3852 | 322 | 101.568 | 32.0112 |
| 282 | 99.3682 | 31.5566 | 323 | 101.639 | 32.1489 |
| 283 | 99.3998 | 31.307 | 324 | 101.677 | 31.4289 |
| 284 | 99.493 | 31.1352 | 325 | 101.723 | 31.7087 |
| 285 | 99.5565 | 30.8373 | 326 | 101.774 | 31.5849 |
| 286 | 99.6059 | 31.7863 | 327 | 101.847 | 32.0091 |

ANEXO R-1

Tabla de resultados obtenidos en la 1^a Corrida. (03-Dic-2014)

| Tiempo (min) | Temperatura (°C) T. interna | Temperatura (°C) T. externa | Tiempo (min) | Temperatura (°C) T. interna | Temperatura (°C) T. externa |
|--------------|-----------------------------|-----------------------------|--------------|-----------------------------|-----------------------------|
| 328 | 101.883 | 32.4765 | 369 | 103.725 | 32.0121 |
| 329 | 101.902 | 31.8616 | 370 | 103.788 | 31.9399 |
| 330 | 101.973 | 31.193 | 371 | 103.819 | 32.1059 |
| 331 | 102.014 | 32.9168 | 372 | 103.872 | 32.4292 |
| 332 | 102.061 | 33.0474 | 373 | 103.912 | 32.3015 |
| 333 | 102.101 | 32.2867 | 374 | 103.966 | 32.9973 |
| 334 | 102.169 | 32.3356 | 375 | 104.013 | 33.1186 |
| 335 | 102.177 | 32.4123 | 376 | 104.05 | 32.917 |
| 336 | 102.261 | 31.8491 | 377 | 104.085 | 32.9509 |
| 337 | 102.31 | 31.2968 | 378 | 104.166 | 32.7102 |
| 338 | 102.353 | 31.7532 | 379 | 104.235 | 31.9989 |
| 339 | 102.381 | 31.5808 | 380 | 104.29 | 32.7729 |
| 340 | 102.431 | 32.2726 | 381 | 104.326 | 32.7365 |
| 341 | 102.487 | 32.3049 | 382 | 104.373 | 32.5844 |
| 342 | 102.544 | 32.0243 | 383 | 104.442 | 32.6527 |
| 343 | 102.566 | 31.5047 | 384 | 104.505 | 32.5578 |
| 344 | 102.62 | 31.1352 | 385 | 104.517 | 32.6521 |
| 345 | 102.639 | 31.5931 | 386 | 104.556 | 31.9488 |
| 346 | 102.706 | 32.0944 | 387 | 104.636 | 31.8453 |
| 347 | 102.769 | 32.152 | 388 | 104.697 | 32.5688 |
| 348 | 102.807 | 32.3171 | 389 | 104.722 | 32.2779 |
| 349 | 102.845 | 32.4145 | 390 | 104.783 | 32.0252 |
| 350 | 102.889 | 32.8196 | 391 | 104.849 | 31.9573 |
| 351 | 102.933 | 33.3642 | 392 | 104.91 | 32.0451 |
| 352 | 102.956 | 33.4778 | 393 | 104.953 | 32.046 |
| 353 | 103.031 | 33.3379 | 394 | 105.008 | 31.5969 |
| 354 | 103.051 | 32.7515 | 395 | 105.088 | 32.2594 |
| 355 | 103.088 | 32.3946 | 396 | 105.129 | 32.195 |
| 356 | 103.158 | 32.7856 | 397 | 105.156 | 32.6638 |
| 357 | 103.189 | 32.9435 | 398 | 105.253 | 32.681 |
| 358 | 103.234 | 33.0564 | 399 | 105.296 | 31.9348 |
| 359 | 103.294 | 32.7646 | 400 | 105.311 | 32.895 |
| 360 | 103.335 | 32.4763 | 401 | 105.342 | 32.4657 |
| 361 | 103.343 | 32.8815 | 402 | 105.449 | 32.7427 |
| 362 | 103.402 | 33.2925 | 403 | 105.48 | 32.6535 |
| 363 | 103.469 | 32.5599 | 404 | 105.529 | 32.7973 |
| 364 | 103.498 | 32.6137 | 405 | 105.592 | 32.5796 |
| 365 | 103.524 | 32.7517 | 406 | 105.658 | 32.3727 |
| 366 | 103.577 | 31.5497 | 407 | 105.728 | 32.2014 |
| 367 | 103.643 | 31.9958 | 408 | 105.742 | 32.1876 |
| 368 | 103.664 | 32.1319 | 409 | 105.823 | 32.6147 |

ANEXO R-1

Tabla de resultados obtenidos en la 1^a Corrida. (03-Dic-2014)

| Tiempo (min) | Temperatura (°C) T. interna | Temperatura (°C) T. externa | Tiempo (min) | Temperatura (°C) T. interna | Temperatura (°C) T. externa |
|--------------|--------------------------------|--------------------------------|--------------|--------------------------------|--------------------------------|
| 410 | 105.865 | 32.3772 | 451 | 108.434 | 31.4303 |
| 411 | 105.913 | 32.1438 | 452 | 108.491 | 31.9514 |
| 412 | 105.99 | 32.5123 | 453 | 108.534 | 31.5362 |
| 413 | 106.019 | 32.5809 | 454 | 108.587 | 31.7614 |
| 414 | 106.105 | 33.187 | 455 | 108.665 | 31.3939 |
| 415 | 106.169 | 33.1672 | 456 | 108.706 | 32.3729 |
| 416 | 106.214 | 31.8819 | 457 | 108.79 | 32.5277 |
| 417 | 106.28 | 32.0294 | 458 | 108.868 | 31.9956 |
| 418 | 106.334 | 31.6053 | 459 | 108.92 | 31.6764 |
| 419 | 106.393 | 31.5818 | 460 | 108.978 | 31.7544 |
| 420 | 106.486 | 31.8049 | 461 | 109.074 | 31.3341 |
| 421 | 106.529 | 31.8913 | 462 | 109.132 | 31.6515 |
| 422 | 106.611 | 32.2642 | 463 | 109.196 | 31.3752 |
| 423 | 106.642 | 31.8683 | 464 | 109.262 | 31.4696 |
| 424 | 106.683 | 31.9423 | 465 | 109.34 | 31.2208 |
| 425 | 106.769 | 31.5074 | 466 | 109.387 | 31.5721 |
| 426 | 106.84 | 32.0618 | 467 | 109.468 | 31.366 |
| 427 | 106.89 | 31.8773 | 468 | 109.494 | 30.67 |
| 428 | 106.951 | 31.989 | 469 | 109.584 | 31.3928 |
| 429 | 107.014 | 31.6003 | 470 | 109.664 | 31.1026 |
| 430 | 107.05 | 31.4157 | 471 | 109.74 | 31.6546 |
| 431 | 107.096 | 31.8269 | 472 | 109.825 | 31.5547 |
| 432 | 107.173 | 31.715 | 473 | 109.866 | 30.7696 |
| 433 | 107.243 | 32.0441 | 474 | 109.902 | 31.6756 |
| 434 | 107.287 | 32.1636 | 475 | 110.027 | 31.7464 |
| 435 | 107.404 | 32.2206 | 476 | 110.09 | 31.6418 |
| 436 | 107.455 | 31.9851 | 477 | 110.123 | 31.7492 |
| 437 | 107.499 | 32.0756 | 478 | 110.2 | 31.5204 |
| 438 | 107.556 | 30.3965 | 479 | 110.305 | 31.2268 |
| 439 | 107.628 | 30.7196 | 480 | 110.367 | 31.2585 |
| 440 | 107.678 | 31.3047 | 481 | 110.414 | 30.9596 |
| 441 | 107.745 | 31.6202 | 482 | 110.478 | 30.7813 |
| 442 | 107.832 | 31.6078 | 483 | 110.557 | 31.0723 |
| 443 | 107.874 | 31.7037 | 484 | 110.622 | 31.117 |
| 444 | 107.909 | 31.6883 | 485 | 110.701 | 30.9507 |
| 445 | 108.002 | 31.1751 | 486 | 110.759 | 30.8563 |
| 446 | 108.088 | 31.1513 | 487 | 110.818 | 31.2311 |
| 447 | 108.148 | 30.8896 | 488 | 110.948 | 31.6304 |
| 448 | 108.215 | 31.382 | 489 | 110.994 | 31.2471 |
| 449 | 108.289 | 31.7609 | 490 | 111.078 | 31.2787 |
| 450 | 108.339 | 31.4736 | 491 | 111.129 | 30.8145 |

ANEXO R-1

Tabla de resultados obtenidos en la 1^a Corrida. (03-Dic-2014)

| Tiempo (min) | Temperatura (°C) T. interna | Temperatura (°C) T. externa | Tiempo (min) | Temperatura (°C) T. interna | Temperatura (°C) T. externa |
|--------------|-----------------------------|-----------------------------|--------------|-----------------------------|-----------------------------|
| 492 | 111.213 | 30.7979 | 533 | 114.383 | 30.7002 |
| 493 | 111.298 | 30.5503 | 534 | 114.43 | 30.5973 |
| 494 | 111.373 | 30.7889 | 535 | 114.542 | 30.6893 |
| 495 | 111.416 | 30.7984 | 536 | 114.657 | 30.6374 |
| 496 | 111.49 | 30.8664 | 537 | 114.697 | 30.5851 |
| 497 | 111.584 | 30.5167 | 538 | 114.755 | 30.7861 |
| 498 | 111.65 | 30.8139 | 539 | 114.866 | 30.5126 |
| 499 | 111.697 | 30.9866 | 540 | 114.948 | 30.3486 |
| 500 | 111.789 | 31.2521 | 541 | 115.031 | 30.5134 |
| 501 | 111.886 | 31.2738 | 542 | 115.089 | 30.3622 |
| 502 | 111.952 | 30.6461 | 543 | 115.211 | 30.7472 |
| 503 | 112.011 | 31.0514 | 544 | 115.278 | 30.3515 |
| 504 | 112.081 | 31.2655 | 545 | 115.367 | 30.3656 |
| 505 | 112.15 | 30.4755 | 546 | 115.431 | 29.7761 |
| 506 | 112.227 | 30.5265 | 547 | 115.564 | 29.8578 |
| 507 | 112.315 | 30.6176 | 548 | 115.621 | 30.1327 |
| 508 | 112.376 | 31.0545 | 549 | 115.705 | 29.9836 |
| 509 | 112.465 | 31.1195 | 550 | 115.827 | 29.8383 |
| 510 | 112.524 | 31.2651 | 551 | 115.873 | 29.665 |
| 511 | 112.595 | 30.8153 | 552 | 115.978 | 29.6126 |
| 512 | 112.681 | 31.1295 | 553 | 116.072 | 29.6261 |
| 513 | 112.744 | 30.9029 | 554 | 116.149 | 29.6352 |
| 514 | 112.84 | 30.5021 | 555 | 116.26 | 30.273 |
| 515 | 112.916 | 30.5683 | 556 | 116.342 | 30.2389 |
| 516 | 112.971 | 30.5406 | 557 | 116.415 | 30.1295 |
| 517 | 113.072 | 31.1064 | 558 | 116.538 | 30.3086 |
| 518 | 113.156 | 30.3215 | 559 | 116.615 | 30.016 |
| 519 | 113.244 | 30.1509 | 560 | 116.716 | 30.1335 |
| 520 | 113.299 | 31.0221 | 561 | 116.804 | 29.5327 |
| 521 | 113.393 | 30.8498 | 562 | 116.9 | 30.1153 |
| 522 | 113.463 | 30.7646 | 563 | 117.011 | 30.1515 |
| 523 | 113.561 | 31.0293 | 564 | 117.088 | 30.2829 |
| 524 | 113.645 | 31.2323 | 565 | 117.167 | 30.0515 |
| 525 | 113.738 | 30.4489 | 566 | 117.271 | 30.0424 |
| 526 | 113.796 | 30.4773 | 567 | 117.384 | 29.8488 |
| 527 | 113.889 | 30.6794 | 568 | 117.476 | 29.528 |
| 528 | 113.945 | 30.8409 | 569 | 117.599 | 29.4837 |
| 529 | 114.029 | 30.6723 | 570 | 117.672 | 29.6311 |
| 530 | 114.158 | 31.0252 | 571 | 117.79 | 29.9683 |
| 531 | 114.182 | 30.9177 | 572 | 117.917 | 30.2792 |
| 532 | 114.244 | 30.8817 | 573 | 117.955 | 30.075 |

ANEXO R-1

Tabla de resultados obtenidos en la 1^a Corrida. (03-Dic-2014)

| Tiempo (min) | Temperatura (°C) T. | Temperatura (°C) T. |
|--------------|---------------------|---------------------|
| | interna | externa |
| 574 | 118.057 | 29.8472 |
| 575 | 118.188 | 29.9765 |
| 576 | 118.305 | 29.7621 |
| 577 | 118.399 | 29.5118 |
| 578 | 118.509 | 29.4983 |
| 579 | 118.647 | 29.7047 |
| 580 | 118.731 | 29.6667 |
| 581 | 118.827 | 29.5875 |
| 582 | 118.938 | 29.4496 |
| 583 | 119.026 | 29.7084 |
| 584 | 119.149 | 29.8505 |
| 585 | 119.239 | 29.4161 |
| 586 | 119.374 | 29.0573 |
| 587 | 119.513 | 29.1636 |
| 588 | 119.622 | 29.2525 |
| 589 | 119.697 | 30.0687 |
| 590 | 119.859 | 29.7952 |
| 591 | 120.005 | 29.8314 |
| 592 | 120.107 | 29.7286 |
| 593 | 120.222 | 29.4869 |
| 594 | 120.33 | 29.282 |
| 595 | 120.464 | 29.4286 |
| 596 | 120.57 | 29.5437 |
| 597 | 120.685 | 29.6247 |
| 598 | 120.841 | 29.5862 |
| 599 | 120.961 | 29.6951 |
| 600 | 121.116 | 29.8196 |
| 601 | 121.198 | 29.5736 |
| 602 | 121.338 | 29.6107 |
| 603 | 121.484 | 29.6561 |
| 604 | 121.601 | 29.8085 |
| 605 | 121.754 | 29.5665 |
| 606 | 121.88 | 29.4331 |
| 607 | 122.007 | 29.4167 |

ANEXO R-2

Tabla de resultados obtenidos en la 2^a Corrida. (04-Dic-2014)

| Tiempo (min) | Temperatura (°C) T. interna | Temperatura (°C) T. externa | Temperatura (°C) T. Amb. Lado | Temperatura Resistencia | Temperatura (°C) T. Amb. Lado Libre |
|--------------|--------------------------------|--------------------------------|----------------------------------|----------------------------|---|
| 0 | 57.2802 | 20.7907 | 19.3537 | 19.3305 | |
| 1 | 57.2148 | 20.8047 | 19.3891 | 19.3687 | |
| 2 | 57.1815 | 20.7802 | 19.4019 | 19.3808 | |
| 3 | 57.1842 | 20.7972 | 19.4422 | 19.4275 | |
| 4 | 57.1738 | 20.7876 | 19.4911 | 19.47 | |
| 5 | 57.2665 | 20.8391 | 19.6003 | 19.6349 | |
| 6 | 57.3889 | 20.8862 | 19.5476 | 19.7169 | |
| 7 | 57.5212 | 20.9451 | 19.5652 | 19.69 | |
| 8 | 57.7527 | 20.9556 | 19.5845 | 19.7602 | |
| 9 | 57.984 | 21.0021 | 19.6818 | 19.9181 | |
| 10 | 58.2684 | 20.9969 | 19.6405 | 19.8957 | |
| 11 | 58.5194 | 20.914 | 19.6626 | 19.8903 | |
| 12 | 58.8611 | 20.9563 | 19.6733 | 19.8267 | |
| 13 | 59.1492 | 20.965 | 19.6692 | 19.7805 | |
| 14 | 59.556 | 20.9869 | 19.7826 | 19.9701 | |
| 15 | 59.8751 | 21.0747 | 19.7527 | 19.9331 | |
| 16 | 60.267 | 21.0287 | 19.7203 | 20.0389 | |
| 17 | 60.6581 | 21.1315 | 19.785 | 20.0473 | |
| 18 | 61.0442 | 21.1726 | 19.7883 | 20.095 | |
| 19 | 61.4224 | 21.1942 | 19.7514 | 20.0728 | |
| 20 | 61.8013 | 21.1908 | 19.7342 | 20.0731 | |
| 21 | 62.2406 | 21.2509 | 19.7675 | 20.0137 | |
| 22 | 62.6383 | 21.2343 | 19.7688 | 20.0713 | |
| 23 | 63.0584 | 21.2205 | 19.7721 | 20.1488 | |
| 24 | 63.4884 | 21.2561 | 19.7576 | 20.0913 | |
| 25 | 63.9104 | 21.2604 | 19.7416 | 20.1112 | |
| 26 | 64.3372 | 21.3283 | 19.7808 | 20.0435 | |
| 27 | 64.7509 | 21.3572 | 19.8079 | 20.062 | |
| 28 | 65.1946 | 21.4161 | 19.8334 | 20.1476 | |
| 29 | 65.6254 | 21.3254 | 19.8735 | 20.1186 | |
| 30 | 66.06 | 21.3982 | 19.8443 | 20.2016 | |
| 31 | 66.4917 | 21.42 | 19.8784 | 20.2158 | |
| 32 | 66.932 | 21.4572 | 19.8679 | 20.1046 | |
| 33 | 67.337 | 21.4557 | 19.8433 | 20.2502 | |
| 34 | 67.7807 | 21.5475 | 19.8847 | 20.1095 | |
| 35 | 68.248 | 21.6196 | 19.9013 | 20.0456 | |
| 36 | 68.6517 | 21.6655 | 19.9005 | 20.1527 | |
| 37 | 69.1183 | 21.6965 | 19.9325 | 20.1823 | |
| 38 | 69.5471 | 21.7032 | 19.9492 | 20.2497 | |
| 39 | 69.9648 | 21.7429 | 19.9431 | 20.1343 | |
| 40 | 70.3994 | 21.741 | 19.9242 | 20.2298 | |

ANEXO R-2

Tabla de resultados obtenidos en la 2^a Corrida. (04-Dic-2014)

| Tiempo (min) | Temperatura (°C) T. interna | Temperatura (°C) T. externa | Temperatura (°C) T. Amb. Lado | Temperatura (°C) T. Amb. Lado Resistencia Libre |
|--------------|--------------------------------|--------------------------------|----------------------------------|---|
| 41 | 70.8368 | 21.66 | 19.938 | 20.246 |
| 42 | 71.265 | 21.7398 | 19.9145 | 20.1317 |
| 43 | 71.7342 | 21.8306 | 19.9512 | 20.2701 |
| 44 | 72.141 | 21.8399 | 19.9265 | 20.1281 |
| 45 | 72.5686 | 21.8536 | 19.9435 | 20.0675 |
| 46 | 73.0283 | 21.9526 | 19.98 | 20.2364 |
| 47 | 73.4296 | 21.9982 | 19.9798 | 20.1644 |
| 48 | 73.8698 | 22.0286 | 19.9811 | 20.1273 |
| 49 | 74.2711 | 22.1307 | 19.9696 | 20.1498 |
| 50 | 74.7538 | 22.1421 | 20.026 | 20.2242 |
| 51 | 75.1506 | 22.1383 | 20.0212 | 20.1476 |
| 52 | 75.5833 | 22.1893 | 20.0459 | 20.2115 |
| 53 | 76.024 | 22.2311 | 20.0525 | 20.1708 |
| 54 | 76.4183 | 22.2855 | 19.9992 | 20.2627 |
| 55 | 76.8612 | 22.2702 | 20.0486 | 20.1811 |
| 56 | 77.2815 | 22.2292 | 20.0553 | 20.175 |
| 57 | 77.6791 | 22.2686 | 20.0835 | 20.119 |
| 58 | 78.1098 | 22.2747 | 20.0754 | 20.459 |
| 59 | 78.5071 | 22.1583 | 20.0692 | 20.4329 |
| 60 | 78.9577 | 22.2525 | 20.0957 | 20.3412 |
| 61 | 79.3386 | 22.2847 | 20.0547 | 20.1517 |
| 62 | 79.7867 | 22.3353 | 20.1401 | 20.4239 |
| 63 | 80.2178 | 22.3553 | 20.0987 | 20.4969 |
| 64 | 80.6387 | 22.4209 | 20.1253 | 20.3921 |
| 65 | 81.0405 | 22.4413 | 20.1643 | 20.2111 |
| 66 | 81.4732 | 22.4145 | 20.1298 | 20.2754 |
| 67 | 81.8468 | 22.4417 | 20.0748 | 20.4461 |
| 68 | 82.2861 | 22.512 | 20.1175 | 20.3502 |
| 69 | 82.6849 | 22.6158 | 20.0866 | 20.2351 |
| 70 | 83.1033 | 22.7068 | 20.0854 | 20.233 |
| 71 | 83.5457 | 22.7683 | 20.1074 | 20.4858 |
| 72 | 83.9506 | 22.7334 | 20.1092 | 20.4427 |
| 73 | 84.3204 | 22.7293 | 20.0999 | 20.5288 |
| 74 | 84.7461 | 22.7029 | 20.1543 | 20.4395 |
| 75 | 85.1491 | 22.7262 | 20.1375 | 20.4553 |
| 76 | 85.5752 | 22.8131 | 20.1757 | 20.4197 |
| 77 | 85.9695 | 22.8256 | 20.157 | 20.393 |
| 78 | 86.3721 | 22.8807 | 20.1703 | 20.2299 |
| 79 | 86.781 | 22.932 | 20.1808 | 20.2096 |
| 80 | 87.1716 | 22.9987 | 20.1429 | 20.2554 |

ANEXO R-2

Tabla de resultados obtenidos en la 2^a Corrida. (04-Dic-2014)

| Tiempo (min) | Temperatura (°C) T. interna | Temperatura (°C) T. externa | Temperatura (°C) T. Amb. Lado | Temperatura (°C) T. Amb. Lado Resistencia Libre |
|--------------|--------------------------------|--------------------------------|----------------------------------|---|
| 81 | 87.5701 | 23.0125 | 20.1506 | 20.3445 |
| 82 | 88.0047 | 22.977 | 20.13 | 20.2724 |
| 83 | 88.3876 | 22.9111 | 20.0884 | 20.2279 |
| 84 | 88.7884 | 22.9102 | 20.1205 | 20.5272 |
| 85 | 89.1532 | 22.8812 | 20.1259 | 20.377 |
| 86 | 89.5508 | 23.0155 | 20.1224 | 20.512 |
| 87 | 89.9485 | 23.0972 | 20.1696 | 20.4798 |
| 88 | 90.3601 | 23.1578 | 20.215 | 20.2892 |
| 89 | 90.7254 | 23.0986 | 20.1823 | 20.4434 |
| 90 | 91.1207 | 23.1749 | 20.1546 | 20.297 |
| 91 | 91.5013 | 23.275 | 20.1551 | 20.3306 |
| 92 | 91.9375 | 23.299 | 20.2587 | 20.4057 |
| 93 | 92.2782 | 23.2332 | 20.1745 | 20.3443 |
| 94 | 92.6339 | 23.2875 | 20.1502 | 20.2136 |
| 95 | 93.0479 | 23.4442 | 20.1844 | 20.2549 |
| 96 | 93.4359 | 23.3402 | 20.2354 | 20.4467 |
| 97 | 93.8392 | 23.4275 | 20.2546 | 20.3965 |
| 98 | 94.2245 | 23.4587 | 20.2407 | 20.4553 |
| 99 | 94.5981 | 23.5602 | 20.2648 | 20.3901 |
| 100 | 94.998 | 23.6184 | 20.2633 | 20.2983 |
| 101 | 95.3861 | 23.7143 | 20.2796 | 20.2829 |
| 102 | 95.7058 | 23.737 | 20.2263 | 20.2641 |
| 103 | 96.1239 | 23.7558 | 20.2855 | 20.338 |
| 104 | 96.4924 | 23.6879 | 20.2572 | 20.3891 |
| 105 | 96.8841 | 23.6754 | 20.3118 | 20.3497 |
| 106 | 97.2479 | 23.7777 | 20.289 | 20.2999 |
| 107 | 97.6302 | 23.8344 | 20.28 | 20.3363 |
| 108 | 97.9886 | 23.8278 | 20.2227 | 20.3315 |
| 109 | 98.3786 | 23.7725 | 20.2493 | 20.3496 |
| 110 | 98.7308 | 23.8589 | 20.2866 | 20.3141 |
| 111 | 99.138 | 23.9182 | 20.3374 | 20.3668 |
| 112 | 99.497 | 23.8949 | 20.2776 | 20.5471 |
| 113 | 99.8835 | 24.102 | 20.2995 | 20.4319 |
| 114 | 100.241 | 23.8926 | 20.2549 | 20.4114 |
| 115 | 100.601 | 24.0081 | 20.2601 | 20.3699 |
| 116 | 100.993 | 24.0857 | 20.2979 | 20.4149 |
| 117 | 101.329 | 24.1756 | 20.3188 | 20.42 |
| 118 | 101.69 | 24.1441 | 20.3032 | 20.411 |
| 119 | 102.058 | 23.9623 | 20.3317 | 20.4007 |
| 120 | 102.409 | 24.1003 | 20.2949 | 20.3819 |

ANEXO R-2

Tabla de resultados obtenidos en la 2^a Corrida. (04-Dic-2014)

| Tiempo (min) | Temperatura (°C) T. interna | Temperatura (°C) T. externa | Temperatura (°C) T. Amb. Lado | Temperatura (°C) T. Amb. Lado Resistencia Libre |
|--------------|--------------------------------|--------------------------------|----------------------------------|---|
| 121 | 102.764 | 23.858 | 20.3288 | 20.4238 |
| 122 | 103.136 | 23.9155 | 20.304 | 20.5749 |
| 123 | 103.488 | 23.9675 | 20.4651 | 20.5119 |
| 124 | 103.841 | 23.9945 | 20.4035 | 20.4701 |
| 125 | 104.198 | 24.1807 | 20.4001 | 20.5386 |
| 126 | 104.539 | 24.1787 | 20.3739 | 20.5224 |
| 127 | 104.918 | 24.1268 | 20.3878 | 20.4999 |
| 128 | 105.259 | 24.1022 | 20.3238 | 20.5522 |
| 129 | 105.631 | 24.1929 | 20.2885 | 20.5651 |
| 130 | 105.978 | 24.1715 | 20.2674 | 20.492 |
| 131 | 106.328 | 24.1443 | 20.266 | 20.466 |
| 132 | 106.653 | 24.1048 | 20.2701 | 20.3988 |
| 133 | 106.996 | 24.2198 | 20.2513 | 20.4338 |
| 134 | 107.381 | 24.1896 | 20.3168 | 20.4081 |
| 135 | 107.693 | 24.2481 | 20.2822 | 20.4364 |
| 136 | 108.067 | 24.3991 | 20.3285 | 20.3881 |
| 137 | 108.374 | 24.2237 | 20.2557 | 20.5701 |
| 138 | 108.732 | 24.3547 | 20.2743 | 20.5363 |
| 139 | 109.079 | 24.3944 | 20.2146 | 20.4718 |
| 140 | 109.4 | 24.0708 | 20.2122 | 20.4553 |
| 141 | 109.749 | 24.2161 | 20.2258 | 20.4305 |
| 142 | 110.09 | 24.5161 | 20.2243 | 20.3794 |
| 143 | 110.445 | 24.5215 | 20.286 | 20.3971 |
| 144 | 110.758 | 24.4796 | 20.2452 | 20.3526 |
| 145 | 111.092 | 24.5407 | 20.2936 | 20.4747 |
| 146 | 111.415 | 24.5107 | 20.2733 | 20.4483 |
| 147 | 111.765 | 24.4781 | 20.3002 | 20.434 |
| 148 | 112.104 | 24.576 | 20.2526 | 20.4323 |
| 149 | 112.423 | 24.5328 | 20.2445 | 20.4067 |
| 150 | 112.754 | 24.5545 | 20.2768 | 20.4115 |
| 151 | 113.079 | 24.6994 | 20.3114 | 20.4467 |
| 152 | 113.431 | 24.6343 | 20.2987 | 20.468 |
| 153 | 113.705 | 24.6212 | 20.2841 | 20.4165 |
| 154 | 114.059 | 24.653 | 20.2872 | 20.4229 |
| 155 | 114.419 | 24.9846 | 20.3076 | 20.4272 |
| 156 | 114.681 | 24.831 | 20.3199 | 20.3488 |
| 157 | 115.065 | 24.9123 | 20.3471 | 20.5291 |
| 158 | 115.36 | 24.922 | 20.363 | 20.4855 |
| 159 | 115.686 | 24.9976 | 20.3278 | 20.5079 |
| 160 | 115.958 | 25.1445 | 20.3211 | 20.5159 |

ANEXO R-2

Tabla de resultados obtenidos en la 2^a Corrida. (04-Dic-2014)

| Tiempo (min) | Temperatura (°C) T. interna | Temperatura (°C) T. externa | Temperatura (°C) T. Amb. Lado | Temperatura (°C) T. Amb. Lado Resistencia Libre |
|--------------|--------------------------------|--------------------------------|----------------------------------|---|
| 161 | 116.262 | 24.9139 | 20.3137 | 20.4981 |
| 162 | 116.596 | 24.9294 | 20.3594 | 20.5159 |
| 163 | 116.941 | 25.0082 | 20.364 | 20.6183 |
| 164 | 117.229 | 24.9029 | 20.4326 | 20.583 |
| 165 | 117.541 | 24.9066 | 20.357 | 20.5073 |
| 166 | 117.854 | 24.9938 | 20.3453 | 20.6573 |
| 167 | 118.159 | 25.0634 | 20.3781 | 20.5417 |
| 168 | 118.478 | 25.0657 | 20.3498 | 20.5176 |
| 169 | 118.779 | 24.882 | 20.3555 | 20.537 |
| 170 | 119.055 | 24.8429 | 20.3144 | 20.5163 |
| 171 | 119.374 | 25.0491 | 20.3226 | 20.4876 |
| 172 | 119.664 | 25.0575 | 20.303 | 20.463 |
| 173 | 119.973 | 25.1592 | 20.334 | 20.4872 |
| 174 | 120.287 | 25.122 | 20.3638 | 20.5482 |
| 175 | 120.595 | 25.0612 | 20.3901 | 20.6071 |
| 176 | 120.873 | 25.0854 | 20.3805 | 20.4968 |
| 177 | 121.167 | 25.0579 | 20.3362 | 20.4658 |
| 178 | 121.461 | 25.0708 | 20.3724 | 20.476 |
| 179 | 121.734 | 25.1557 | 20.3626 | 20.4477 |
| 180 | 122.034 | 25.0122 | 20.3447 | 20.4787 |
| 181 | 122.325 | 25.1981 | 20.3431 | 20.5606 |
| 182 | 122.607 | 25.5199 | 20.3347 | 20.5134 |
| 183 | 122.943 | 25.4058 | 20.3591 | 20.5378 |
| 184 | 123.201 | 25.5183 | 20.3517 | 20.5068 |
| 185 | 123.505 | 25.345 | 20.3842 | 20.5974 |
| 186 | 123.807 | 25.3929 | 20.3882 | 20.5739 |
| 187 | 124.072 | 25.2674 | 20.3899 | 20.5114 |
| 188 | 124.384 | 25.3982 | 20.3925 | 20.5694 |
| 189 | 124.668 | 25.4623 | 20.3925 | 20.5532 |
| 190 | 124.961 | 25.4438 | 20.4116 | 20.596 |
| 191 | 125.23 | 25.7382 | 20.4308 | 20.5754 |
| 192 | 125.496 | 25.7781 | 20.3941 | 20.5917 |
| 193 | 125.774 | 25.4641 | 20.3556 | 20.557 |
| 194 | 126.084 | 25.5642 | 20.4327 | 20.5688 |
| 195 | 126.346 | 25.5355 | 20.3834 | 20.5649 |
| 196 | 126.629 | 25.4458 | 20.4017 | 20.5986 |
| 197 | 126.894 | 25.8065 | 20.4248 | 20.5533 |
| 198 | 127.177 | 25.8497 | 20.5025 | 20.6438 |
| 199 | 127.446 | 25.9245 | 20.4575 | 20.7369 |
| 200 | 127.688 | 25.5863 | 20.4346 | 20.6294 |

ANEXO R-2

Tabla de resultados obtenidos en la 2^a Corrida. (04-Dic-2014)

| Tiempo (min) | Temperatura (°C) T. interna | Temperatura (°C) T. externa | Temperatura (°C) T. Amb. Lado | Temperatura (°C) T. Amb. Lado Resistencia Libre |
|--------------|--------------------------------|--------------------------------|----------------------------------|---|
| 201 | 128.012 | 25.486 | 20.4883 | 20.5866 |
| 202 | 128.271 | 25.6965 | 20.4515 | 20.6387 |
| 203 | 128.544 | 25.7902 | 20.4562 | 20.6177 |
| 204 | 128.789 | 25.6305 | 20.434 | 20.6377 |
| 205 | 129.075 | 25.3291 | 20.4797 | 20.6002 |
| 206 | 129.296 | 25.7968 | 20.4111 | 20.5931 |
| 207 | 129.595 | 25.5869 | 20.4273 | 20.6267 |
| 208 | 129.872 | 25.8622 | 20.4494 | 20.5931 |
| 209 | 130.163 | 25.8788 | 20.486 | 20.6155 |
| 210 | 130.426 | 25.9092 | 20.4662 | 20.59 |
| 211 | 130.637 | 25.9148 | 20.4409 | 20.5849 |
| 212 | 130.939 | 26.0039 | 20.476 | 20.6126 |
| 213 | 131.179 | 26.0091 | 20.459 | 20.6339 |
| 214 | 131.416 | 26.0241 | 20.4732 | 20.6779 |
| 215 | 131.658 | 25.9749 | 20.4845 | 20.6348 |
| 216 | 131.954 | 25.9174 | 20.5071 | 20.6031 |
| 217 | 132.185 | 25.8822 | 20.4984 | 20.6246 |
| 218 | 132.448 | 25.7885 | 20.4594 | 20.5762 |
| 219 | 132.684 | 25.8427 | 20.4765 | 20.6145 |
| 220 | 132.939 | 26.0799 | 20.5028 | 20.6238 |
| 221 | 133.184 | 26.0838 | 20.5101 | 20.6873 |
| 222 | 133.42 | 26.1623 | 20.5207 | 20.6988 |
| 223 | 133.675 | 26.2046 | 20.5462 | 20.7759 |
| 224 | 133.947 | 26.2055 | 20.5382 | 20.88 |
| 225 | 134.198 | 26.2462 | 20.5692 | 20.7906 |
| 226 | 134.437 | 26.0732 | 20.5799 | 20.8169 |
| 227 | 134.683 | 25.9791 | 20.5582 | 20.8218 |
| 228 | 134.902 | 26.1296 | 20.4114 | 20.5984 |
| 229 | 135.174 | 26.2796 | 20.5243 | 20.7715 |
| 230 | 135.439 | 26.4785 | 20.517 | 20.7134 |
| 231 | 135.637 | 26.3289 | 20.5643 | 20.6926 |
| 232 | 135.889 | 26.3233 | 20.5515 | 20.6687 |
| 233 | 136.136 | 26.3892 | 20.5918 | 20.7555 |
| 234 | 136.353 | 26.3318 | 20.541 | 20.782 |
| 235 | 136.585 | 26.3303 | 20.6343 | 20.8955 |
| 236 | 136.816 | 26.2882 | 20.5996 | 20.8564 |
| 237 | 137.034 | 26.5065 | 20.5479 | 20.8021 |
| 238 | 137.244 | 26.5103 | 20.5844 | 20.7734 |
| 239 | 137.502 | 26.5611 | 20.5867 | 20.8027 |
| 240 | 137.739 | 26.6271 | 20.6006 | 20.8413 |

ANEXO R-2

Tabla de resultados obtenidos en la 2^a Corrida. (04-Dic-2014)

| Tiempo (min) | Temperatura (°C) T. interna | Temperatura (°C) T. externa | Temperatura (°C) T. Amb. Lado | Temperatura (°C) T. Amb. Lado Resistencia Libre |
|--------------|--------------------------------|--------------------------------|----------------------------------|---|
| 241 | 137.991 | 26.5064 | 20.5866 | 20.841 |
| 242 | 138.181 | 26.4119 | 20.6086 | 20.8831 |
| 243 | 138.439 | 26.5123 | 20.5873 | 20.8033 |
| 244 | 138.646 | 26.5227 | 20.5988 | 20.7425 |
| 245 | 138.884 | 25.9602 | 20.583 | 20.8127 |
| 246 | 139.106 | 26.1453 | 20.5954 | 20.8018 |
| 247 | 139.336 | 26.4457 | 20.6253 | 20.755 |
| 248 | 139.597 | 26.5901 | 20.6336 | 20.9187 |
| 249 | 139.769 | 26.5487 | 20.6398 | 20.8383 |
| 250 | 140.022 | 26.7615 | 20.517 | 20.8085 |
| 251 | 140.232 | 26.7365 | 20.5288 | 20.9259 |
| 252 | 140.435 | 27.0421 | 20.6061 | 20.814 |
| 253 | 140.661 | 26.9538 | 20.6889 | 20.8063 |
| 254 | 140.886 | 26.8488 | 20.6642 | 20.78 |
| 255 | 141.103 | 26.7699 | 20.6724 | 20.8373 |
| 256 | 141.327 | 26.6831 | 20.5945 | 20.7891 |
| 257 | 141.525 | 26.6677 | 20.5263 | 21.0847 |
| 258 | 141.766 | 26.6765 | 20.5861 | 20.9 |
| 259 | 142 | 26.7084 | 20.66 | 20.8429 |
| 260 | 142.201 | 26.8684 | 20.6841 | 20.9602 |
| 261 | 142.374 | 26.9088 | 20.6802 | 20.9176 |
| 262 | 142.651 | 26.8069 | 20.7156 | 20.9027 |
| 263 | 142.82 | 26.8805 | 20.6881 | 20.827 |
| 264 | 143.062 | 27.0152 | 20.7107 | 20.868 |
| 265 | 143.278 | 27.0698 | 20.7093 | 20.8912 |
| 266 | 143.504 | 26.8231 | 20.7146 | 20.8846 |
| 267 | 143.707 | 26.6788 | 20.6827 | 20.8561 |
| 268 | 143.952 | 26.8132 | 20.7125 | 20.8732 |
| 269 | 144.131 | 26.8769 | 20.7156 | 20.8805 |
| 270 | 144.326 | 26.7039 | 20.6902 | 20.9207 |
| 271 | 144.566 | 27.0997 | 20.7089 | 20.887 |
| 272 | 144.784 | 27.3216 | 20.7142 | 20.8937 |
| 273 | 144.983 | 27.1708 | 20.6165 | 20.994 |
| 274 | 145.196 | 27.0549 | 20.7226 | 21.0922 |
| 275 | 145.387 | 27.1404 | 20.7317 | 20.9873 |
| 276 | 145.642 | 26.9012 | 20.7742 | 20.9608 |
| 277 | 145.816 | 27.0367 | 20.7849 | 21.0275 |
| 278 | 146.039 | 27.0945 | 20.75 | 21.0433 |
| 279 | 146.252 | 26.897 | 20.7565 | 20.9455 |
| 280 | 146.489 | 27.0981 | 20.7659 | 20.9418 |

ANEXO R-2

Tabla de resultados obtenidos en la 2^a Corrida. (04-Dic-2014)

| Tiempo (min) | Temperatura (°C) T. interna | Temperatura (°C) T. externa | Temperatura (°C) T. Amb. Lado | Temperatura (°C) T. Amb. Lado Resistencia Libre |
|--------------|--------------------------------|--------------------------------|----------------------------------|---|
| 281 | 146.666 | 27.2032 | 20.7642 | 20.9055 |
| 282 | 146.896 | 27.2967 | 20.7914 | 20.9639 |
| 283 | 147.119 | 27.1214 | 20.8014 | 20.9365 |
| 284 | 147.32 | 27.0803 | 20.7415 | 20.8995 |
| 285 | 147.493 | 27.0933 | 20.7327 | 20.9131 |
| 286 | 147.704 | 27.2348 | 20.7269 | 20.9012 |
| 287 | 147.904 | 26.8602 | 20.7282 | 20.9113 |
| 288 | 148.152 | 27.0329 | 20.825 | 20.987 |
| 289 | 148.373 | 27.1783 | 20.8146 | 20.9992 |
| 290 | 148.558 | 27.3147 | 20.7705 | 20.9542 |
| 291 | 148.739 | 27.2484 | 20.786 | 21.0434 |
| 292 | 148.99 | 27.3459 | 20.8135 | 20.9547 |
| 293 | 149.15 | 27.1902 | 20.7917 | 20.9636 |
| 294 | 149.353 | 27.2313 | 20.7705 | 20.9391 |
| 295 | 149.571 | 27.2477 | 20.815 | 21.0044 |
| 296 | 149.766 | 27.3421 | 20.7959 | 20.9317 |
| 297 | 149.966 | 27.2749 | 20.8071 | 20.951 |
| 298 | 150.161 | 27.0977 | 20.7869 | 20.9291 |
| 299 | 150.376 | 27.0385 | 20.795 | 21.0035 |
| 300 | 150.584 | 27.3719 | 20.8295 | 20.9698 |
| 301 | 150.776 | 27.3685 | 20.8329 | 20.9741 |
| 302 | 150.947 | 27.5651 | 20.8241 | 20.9913 |
| 303 | 151.231 | 27.0798 | 20.8688 | 21.0164 |
| 304 | 151.419 | 27.3248 | 20.8691 | 21.0419 |
| 305 | 151.581 | 27.4503 | 20.8093 | 20.976 |
| 306 | 151.789 | 27.3624 | 20.9084 | 21.0042 |
| 307 | 151.978 | 27.4089 | 20.9383 | 21.0816 |
| 308 | 152.154 | 27.4906 | 20.9035 | 21.0058 |
| 309 | 152.373 | 27.7165 | 20.8955 | 21.0306 |
| 310 | 152.54 | 27.7508 | 20.9182 | 21.0691 |
| 311 | 152.78 | 27.5108 | 20.933 | 21.0237 |
| 312 | 152.965 | 27.5247 | 20.9494 | 21.1184 |
| 313 | 153.152 | 27.4148 | 20.9617 | 21.0746 |
| 314 | 153.374 | 27.556 | 20.9473 | 21.0725 |
| 315 | 153.538 | 27.7224 | 20.9081 | 21.0791 |
| 316 | 153.731 | 27.5626 | 20.9163 | 21.0093 |
| 317 | 153.913 | 27.9451 | 20.9251 | 21.0701 |
| 318 | 154.139 | 27.9202 | 20.9487 | 21.0648 |
| 319 | 154.306 | 27.8669 | 20.9192 | 21.1619 |
| 320 | 154.51 | 27.8005 | 20.9311 | 21.1252 |

ANEXO R-2

Tabla de resultados obtenidos en la 2^a Corrida. (04-Dic-2014)

| Tiempo (min) | Temperatura (°C) T. interna | Temperatura (°C) T. externa | Temperatura (°C) T. Amb. Lado | Temperatura (°C) T. Amb. Lado Resistencia Libre |
|--------------|--------------------------------|--------------------------------|----------------------------------|---|
| 321 | 154.688 | 27.8355 | 20.9083 | 21.1435 |
| 322 | 154.9 | 27.8701 | 20.9795 | 21.1339 |
| 323 | 155.097 | 27.8981 | 20.9279 | 21.0512 |
| 324 | 155.276 | 27.8238 | 20.9642 | 21.2347 |
| 325 | 155.483 | 27.7757 | 20.9725 | 21.2648 |
| 326 | 155.681 | 27.8027 | 20.9617 | 21.1383 |
| 327 | 155.88 | 27.9886 | 20.9907 | 21.1491 |
| 328 | 156.052 | 27.9976 | 20.9696 | 21.2071 |
| 329 | 156.233 | 27.8925 | 20.9914 | 21.1411 |
| 330 | 156.422 | 27.7968 | 20.9432 | 21.1085 |
| 331 | 156.615 | 27.42 | 20.9516 | 21.1155 |
| 332 | 156.805 | 27.5373 | 20.9683 | 21.0774 |
| 333 | 157.001 | 27.6277 | 20.9689 | 21.1077 |
| 334 | 157.21 | 27.8218 | 20.9796 | 21.1338 |
| 335 | 157.403 | 28.0481 | 21.0062 | 21.1314 |
| 336 | 157.577 | 28.139 | 20.9961 | 21.082 |
| 337 | 157.753 | 28.0382 | 20.9891 | 21.1789 |
| 338 | 157.941 | 28.0713 | 20.9692 | 21.3013 |
| 339 | 158.143 | 28.1977 | 21.0339 | 21.3067 |
| 340 | 158.283 | 28.1888 | 21.0749 | 21.3628 |
| 341 | 158.498 | 28.1969 | 21.1263 | 21.6032 |
| 342 | 158.674 | 28.6898 | 21.2211 | 21.4283 |
| 343 | 158.861 | 28.5469 | 21.1865 | 21.3587 |
| 344 | 159.08 | 28.4916 | 21.2691 | 21.542 |
| 345 | 159.266 | 28.6045 | 21.3059 | 21.5918 |
| 346 | 159.442 | 28.1576 | 21.3302 | 21.5121 |
| 347 | 159.598 | 28.3835 | 21.241 | 21.3538 |
| 348 | 159.803 | 28.1727 | 21.2543 | 21.3291 |
| 349 | 160.002 | 28.5116 | 21.2629 | 21.3866 |
| 350 | 160.177 | 28.4994 | 21.1979 | 21.3218 |
| 351 | 160.341 | 28.2298 | 21.1916 | 21.4285 |
| 352 | 160.53 | 28.0719 | 21.1716 | 21.3396 |
| 353 | 160.725 | 28.2773 | 21.2091 | 21.3248 |
| 354 | 160.896 | 28.0452 | 21.2016 | 21.3701 |
| 355 | 161.078 | 28.3344 | 21.1812 | 21.3209 |
| 356 | 161.269 | 28.5139 | 21.1751 | 21.38 |
| 357 | 161.43 | 28.532 | 21.1727 | 21.2558 |
| 358 | 161.646 | 28.3986 | 21.169 | 21.2971 |
| 359 | 161.828 | 28.2009 | 21.1788 | 21.3308 |
| 360 | 161.994 | 28.2463 | 21.1722 | 21.2586 |

ANEXO R-2

Tabla de resultados obtenidos en la 2^a Corrida. (04-Dic-2014)

| Tiempo (min) | Temperatura (°C) T. interna | Temperatura (°C) T. externa | Temperatura (°C) T. Amb. Lado | Temperatura (°C) T. Amb. Lado Resistencia Libre |
|--------------|--------------------------------|--------------------------------|----------------------------------|---|
| 361 | 162.163 | 28.0277 | 21.1286 | 21.3566 |
| 362 | 162.376 | 28.224 | 21.1973 | 21.3382 |
| 363 | 162.532 | 28.215 | 21.1348 | 21.3706 |
| 364 | 162.699 | 28.2334 | 21.1681 | 21.2712 |
| 365 | 162.876 | 28.4565 | 21.1688 | 21.3814 |
| 366 | 163.065 | 28.4927 | 21.1868 | 21.3931 |
| 367 | 163.217 | 28.9041 | 21.1949 | 21.3711 |
| 368 | 163.426 | 28.8015 | 21.1925 | 21.369 |
| 369 | 163.599 | 28.887 | 21.1095 | 21.378 |
| 370 | 163.773 | 28.6111 | 21.2348 | 21.5368 |
| 371 | 163.963 | 28.6845 | 21.3267 | 21.4494 |
| 372 | 164.078 | 28.4512 | 21.2726 | 21.471 |
| 373 | 164.296 | 28.497 | 21.3023 | 21.4861 |
| 374 | 164.449 | 28.2856 | 21.2728 | 21.3988 |
| 375 | 164.638 | 28.3196 | 21.2995 | 21.3986 |
| 376 | 164.827 | 28.5334 | 21.3252 | 21.4285 |
| 377 | 165 | 28.6671 | 21.2764 | 21.4699 |
| 378 | 165.179 | 28.7466 | 21.2722 | 21.4199 |
| 379 | 165.371 | 29.0731 | 21.2803 | 21.3876 |
| 380 | 165.531 | 28.8441 | 21.2826 | 21.4157 |
| 381 | 165.706 | 28.5506 | 21.2818 | 21.3521 |
| 382 | 165.909 | 28.809 | 21.2773 | 21.5481 |
| 383 | 166.029 | 28.6592 | 21.2061 | 21.5899 |
| 384 | 166.221 | 28.7091 | 21.3969 | 21.6587 |
| 385 | 166.356 | 28.685 | 21.3505 | 21.5472 |
| 386 | 166.557 | 28.8868 | 21.3726 | 21.5892 |
| 387 | 166.701 | 28.5966 | 21.3714 | 21.5446 |
| 388 | 166.91 | 28.9118 | 21.3825 | 21.5255 |
| 389 | 167.077 | 29.3269 | 21.4262 | 21.556 |
| 390 | 167.269 | 29.3571 | 21.3961 | 21.5803 |
| 391 | 167.447 | 29.6247 | 21.4029 | 21.569 |
| 392 | 167.654 | 29.54 | 21.4153 | 21.521 |
| 393 | 167.802 | 29.5431 | 21.4326 | 21.5444 |
| 394 | 167.974 | 29.5268 | 21.432 | 21.5037 |
| 395 | 168.157 | 29.4758 | 21.3768 | 21.5292 |
| 396 | 168.358 | 29.0074 | 21.3961 | 21.5013 |
| 397 | 168.531 | 29.1777 | 21.4029 | 21.5242 |
| 398 | 168.658 | 29.2912 | 21.3555 | 21.4961 |
| 399 | 168.866 | 29.3529 | 21.4017 | 21.4081 |
| 400 | 169.046 | 29.3828 | 21.4125 | 21.438 |

ANEXO R-2

Tabla de resultados obtenidos en la 2^a Corrida. (04-Dic-2014)

| Tiempo (min) | Temperatura (°C) T. interna | Temperatura (°C) T. externa | Temperatura (°C) T. Amb. Lado | Temperatura (°C) T. Amb. Lado Resistencia Libre |
|--------------|--------------------------------|--------------------------------|----------------------------------|---|
| 401 | 169.206 | 28.9867 | 21.3944 | 21.5885 |
| 402 | 169.384 | 29.3024 | 21.4098 | 21.6226 |
| 403 | 169.588 | 29.133 | 21.4238 | 21.6641 |
| 404 | 169.728 | 29.2009 | 21.3918 | 21.6107 |
| 405 | 169.945 | 28.9713 | 21.3957 | 21.6248 |
| 406 | 170.102 | 28.9139 | 21.4215 | 21.5771 |
| 407 | 170.279 | 29.3218 | 21.4432 | 21.529 |
| 408 | 170.441 | 29.3103 | 21.4589 | 21.5466 |
| 409 | 170.619 | 29.6412 | 21.4057 | 21.5316 |
| 410 | 170.803 | 29.48 | 21.4692 | 21.623 |
| 411 | 170.976 | 29.4294 | 21.4246 | 21.5642 |
| 412 | 171.151 | 29.469 | 21.4403 | 21.6363 |
| 413 | 171.309 | 29.3782 | 21.3833 | 21.5758 |
| 414 | 171.48 | 28.9928 | 21.4348 | 21.6008 |
| 415 | 171.687 | 28.9065 | 21.4616 | 21.529 |
| 416 | 171.849 | 29.272 | 21.4381 | 21.523 |
| 417 | 172.006 | 29.3556 | 21.4495 | 21.5514 |
| 418 | 172.183 | 29.1776 | 21.503 | 21.6417 |
| 419 | 172.336 | 29.3135 | 21.4803 | 21.6183 |
| 420 | 172.508 | 29.3134 | 21.4123 | 21.6361 |
| 421 | 172.693 | 29.3671 | 21.4378 | 21.6175 |
| 422 | 172.898 | 29.5097 | 21.4829 | 21.6237 |
| 423 | 173.082 | 29.7199 | 21.4931 | 21.5254 |
| 424 | 173.253 | 30.0508 | 21.498 | 21.5577 |
| 425 | 173.371 | 29.9859 | 21.4593 | 21.5951 |
| 426 | 173.592 | 30.2826 | 21.5348 | 21.6107 |
| 427 | 173.744 | 29.6595 | 21.492 | 21.6899 |
| 428 | 173.909 | 29.4708 | 21.5629 | 21.5742 |
| 429 | 174.082 | 29.5184 | 21.5191 | 21.6181 |
| 430 | 174.263 | 29.5438 | 21.5298 | 21.6352 |
| 431 | 174.417 | 29.4305 | 21.4943 | 21.6054 |
| 432 | 174.603 | 29.5978 | 21.4576 | 21.5474 |
| 433 | 174.798 | 29.5944 | 21.5386 | 21.6697 |
| 434 | 174.927 | 29.82 | 21.4846 | 21.6164 |
| 435 | 175.123 | 30.0289 | 21.5239 | 21.6484 |
| 436 | 175.306 | 29.8958 | 21.5434 | 21.6401 |
| 437 | 175.47 | 29.5183 | 21.455 | 21.6187 |
| 438 | 175.657 | 29.7086 | 21.5406 | 21.6811 |
| 439 | 175.811 | 29.4671 | 21.6131 | 21.8962 |
| 440 | 175.978 | 29.6066 | 21.6057 | 21.7533 |

ANEXO R-2

Tabla de resultados obtenidos en la 2^a Corrida. (04-Dic-2014)

| Tiempo (min) | Temperatura (°C) T. interna | Temperatura (°C) T. externa | Temperatura (°C) T. Amb. Lado | Temperatura (°C) T. Amb. Lado Resistencia Libre |
|--------------|--------------------------------|--------------------------------|----------------------------------|---|
| 441 | 176.148 | 29.4901 | 21.591 | 21.7291 |
| 442 | 176.34 | 29.7823 | 21.6014 | 21.7556 |
| 443 | 176.514 | 29.885 | 21.5958 | 21.6541 |
| 444 | 176.689 | 29.8624 | 21.6442 | 21.7739 |
| 445 | 176.84 | 30.2516 | 21.6023 | 21.7004 |
| 446 | 177.019 | 29.9679 | 21.5893 | 21.8161 |
| 447 | 177.187 | 29.8002 | 21.646 | 21.821 |
| 448 | 177.335 | 29.7997 | 21.6288 | 21.8252 |
| 449 | 177.489 | 29.7414 | 21.6504 | 21.6975 |
| 450 | 177.704 | 29.9117 | 21.6569 | 21.8077 |
| 451 | 177.846 | 29.9067 | 21.5768 | 21.7414 |
| 452 | 178.062 | 29.7268 | 21.5834 | 21.7607 |
| 453 | 178.205 | 29.6885 | 21.627 | 21.768 |
| 454 | 178.356 | 29.7062 | 21.6363 | 21.7273 |
| 455 | 178.534 | 30.2201 | 21.6626 | 21.7852 |
| 456 | 178.683 | 30.7614 | 21.7048 | 21.7835 |
| 457 | 178.863 | 30.4008 | 21.6988 | 21.7964 |
| 458 | 179.051 | 29.9991 | 21.6815 | 21.8102 |
| 459 | 179.189 | 30.0889 | 21.6566 | 21.8367 |
| 460 | 179.343 | 30.1785 | 21.7283 | 21.889 |
| 461 | 179.529 | 29.9683 | 21.7414 | 21.9332 |
| 462 | 179.71 | 30.0406 | 21.7376 | 22.0751 |
| 463 | 179.803 | 29.8659 | 21.719 | 21.9641 |
| 464 | 179.988 | 29.9975 | 21.7093 | 21.9389 |
| 465 | 180.155 | 30.0022 | 21.7393 | 21.9189 |
| 466 | 180.327 | 30.1902 | 21.7246 | 21.9301 |
| 467 | 180.484 | 30.2346 | 21.7302 | 21.894 |
| 468 | 180.662 | 30.6112 | 21.713 | 21.9213 |
| 469 | 180.849 | 29.7799 | 21.7338 | 21.9045 |
| 470 | 180.998 | 29.9382 | 21.7157 | 21.8616 |
| 471 | 181.134 | 29.8511 | 21.7582 | 21.8699 |
| 472 | 181.329 | 30.1895 | 21.7437 | 21.9304 |
| 473 | 181.486 | 29.8132 | 21.7342 | 21.8724 |
| 474 | 181.664 | 30.4356 | 21.734 | 21.8813 |
| 475 | 181.815 | 30.4673 | 21.7119 | 21.8698 |
| 476 | 182.026 | 30.2598 | 21.7457 | 21.8673 |
| 477 | 182.138 | 29.9006 | 21.6864 | 21.847 |
| 478 | 182.324 | 30.3432 | 21.7701 | 21.8865 |
| 479 | 182.479 | 30.7042 | 21.737 | 21.8853 |
| 480 | 182.66 | 30.5067 | 21.7578 | 22.0086 |

ANEXO R-2

Tabla de resultados obtenidos en la 2^a Corrida. (04-Dic-2014)

| Tiempo (min) | Temperatura (°C) T. interna | Temperatura (°C) T. externa | Temperatura (°C) T. Amb. Lado | Temperatura (°C) T. Amb. Lado Resistencia Libre |
|--------------|--------------------------------|--------------------------------|----------------------------------|---|
| 481 | 182.782 | 30.5612 | 21.719 | 21.897 |
| 482 | 182.944 | 30.4321 | 21.7215 | 21.9138 |
| 483 | 183.109 | 30.5511 | 21.7517 | 21.8083 |
| 484 | 183.288 | 30.4494 | 21.7212 | 21.906 |
| 485 | 183.471 | 30.5861 | 21.718 | 22.1843 |
| 486 | 183.602 | 30.4779 | 21.7523 | 21.9644 |
| 487 | 183.823 | 30.1994 | 21.8172 | 21.919 |
| 488 | 183.913 | 30.3887 | 21.7885 | 21.9082 |
| 489 | 184.074 | 30.7384 | 21.7686 | 21.9145 |
| 490 | 184.238 | 30.0883 | 21.7737 | 21.8892 |
| 491 | 184.407 | 30.2391 | 21.781 | 21.8541 |
| 492 | 184.57 | 30.4022 | 21.7722 | 21.8711 |
| 493 | 184.713 | 30.6201 | 21.7998 | 21.9601 |
| 494 | 184.904 | 30.3224 | 21.7951 | 21.912 |
| 495 | 185.051 | 30.3727 | 21.7806 | 21.9971 |
| 496 | 185.215 | 30.5046 | 21.8288 | 21.9132 |
| 497 | 185.371 | 30.4336 | 21.819 | 21.9029 |
| 498 | 185.553 | 30.6654 | 21.8123 | 21.9631 |
| 499 | 185.717 | 30.3354 | 21.8107 | 21.9516 |
| 500 | 185.849 | 30.5369 | 21.8136 | 21.9131 |
| 501 | 186.028 | 30.6193 | 21.8459 | 21.9967 |
| 502 | 186.193 | 30.7907 | 21.8197 | 21.9974 |
| 503 | 186.332 | 30.3261 | 21.7913 | 21.974 |
| 504 | 186.483 | 30.4808 | 21.8425 | 21.9796 |
| 505 | 186.677 | 30.5796 | 21.8359 | 21.9676 |
| 506 | 186.815 | 31.1312 | 21.8274 | 21.9878 |
| 507 | 186.97 | 31.0106 | 21.8843 | 22.0153 |
| 508 | 187.147 | 31.2359 | 21.8513 | 22.0099 |
| 509 | 187.288 | 30.569 | 21.7737 | 22.0527 |
| 510 | 187.417 | 31.2431 | 21.7855 | 22.0449 |
| 511 | 187.62 | 31.0799 | 21.8771 | 22.0774 |
| 512 | 187.787 | 30.6898 | 21.9392 | 22.1074 |
| 513 | 187.943 | 30.5877 | 21.933 | 22.0772 |
| 514 | 188.116 | 30.849 | 21.9437 | 22.0813 |
| 515 | 188.248 | 30.6325 | 21.9032 | 22.1202 |
| 516 | 188.376 | 30.8463 | 21.9395 | 22.1242 |
| 517 | 188.577 | 31.1497 | 21.9219 | 22.1771 |
| 518 | 188.75 | 30.7167 | 21.9519 | 22.0751 |
| 519 | 188.878 | 30.8476 | 21.8857 | 22.0328 |
| 520 | 189.04 | 31.0254 | 21.9564 | 22.0803 |

ANEXO R-2

Tabla de resultados obtenidos en la 2^a Corrida. (04-Dic-2014)

| Tiempo (min) | Temperatura (°C) T. interna | Temperatura (°C) T. externa | Temperatura (°C) T. Amb. Lado | Temperatura (°C) T. Amb. Lado Resistencia Libre |
|--------------|--------------------------------|--------------------------------|----------------------------------|---|
| 521 | 189.195 | 30.8437 | 21.8012 | 22.1775 |
| 522 | 189.363 | 30.924 | 21.9595 | 22.2874 |
| 523 | 189.473 | 30.9146 | 21.9236 | 22.1964 |
| 524 | 189.63 | 30.8476 | 21.9991 | 22.2021 |
| 525 | 189.823 | 31.0107 | 22.0043 | 22.0887 |
| 526 | 189.993 | 30.7644 | 21.9826 | 22.1169 |
| 527 | 190.158 | 31.2283 | 21.9714 | 22.1514 |
| 528 | 190.307 | 31.7146 | 21.9298 | 22.1295 |
| 529 | 190.48 | 31.2685 | 21.9266 | 22.0986 |
| 530 | 190.652 | 31.3763 | 21.9308 | 22.0922 |
| 531 | 190.812 | 31.542 | 21.961 | 22.1028 |
| 532 | 190.974 | 30.9881 | 21.9759 | 22.1083 |
| 533 | 191.129 | 31.4292 | 21.9647 | 22.1254 |
| 534 | 191.278 | 31.2676 | 21.9877 | 22.1175 |
| 535 | 191.455 | 31.242 | 22.0122 | 22.0902 |
| 536 | 191.562 | 31.034 | 21.9548 | 22.1324 |
| 537 | 191.77 | 31.2106 | 21.967 | 22.1941 |
| 538 | 191.881 | 31.1649 | 21.9546 | 22.1565 |
| 539 | 192.09 | 31.2465 | 22.03 | 22.1551 |
| 540 | 192.235 | 30.9508 | 22.0166 | 22.1372 |
| 541 | 192.385 | 30.7943 | 21.9753 | 22.1351 |
| 542 | 192.53 | 31.0843 | 21.9698 | 22.2007 |
| 543 | 192.72 | 31.0926 | 22.0046 | 22.2246 |
| 544 | 192.89 | 30.8952 | 22.0087 | 22.2426 |
| 545 | 192.999 | 31.5252 | 22.0044 | 22.1931 |
| 546 | 193.183 | 31.4311 | 22.092 | 22.2376 |
| 547 | 193.348 | 31.431 | 22.0759 | 22.2459 |
| 548 | 193.505 | 30.7875 | 22.0333 | 22.2033 |
| 549 | 193.651 | 30.8572 | 22.0628 | 22.2342 |
| 550 | 193.812 | 30.9415 | 22.0156 | 22.2294 |
| 551 | 193.954 | 30.9657 | 21.9827 | 22.1818 |
| 552 | 194.136 | 31.2378 | 22.021 | 22.1651 |
| 553 | 194.297 | 31.0508 | 22.0263 | 22.2138 |
| 554 | 194.454 | 30.9547 | 22.0371 | 22.2825 |
| 555 | 194.573 | 31.0425 | 22.0421 | 22.2117 |
| 556 | 194.747 | 31.04 | 22.0389 | 22.2471 |
| 557 | 194.934 | 30.8186 | 22.0656 | 22.2399 |
| 558 | 195.091 | 30.9096 | 22.0165 | 22.1564 |
| 559 | 195.26 | 31.1174 | 22.0386 | 22.2586 |
| 560 | 195.415 | 31.1619 | 22.0757 | 22.2368 |

ANEXO R-2

Tabla de resultados obtenidos en la 2^a Corrida. (04-Dic-2014)

| Tiempo (min) | Temperatura (°C) T. interna | Temperatura (°C) T. externa | Temperatura (°C) T. Amb. Lado | Temperatura (°C) T. Amb. Lado Resistencia Libre |
|--------------|--------------------------------|--------------------------------|----------------------------------|---|
| 561 | 195.557 | 30.9531 | 22.0316 | 22.1939 |
| 562 | 195.706 | 31.0236 | 22.0354 | 22.2167 |
| 563 | 195.866 | 31.4076 | 22.1184 | 22.2583 |
| 564 | 196.047 | 31.4213 | 22.1242 | 22.294 |
| 565 | 196.197 | 31.5618 | 22.1012 | 22.3138 |
| 566 | 196.349 | 31.3512 | 22.1615 | 22.2399 |
| 567 | 196.504 | 31.4819 | 22.1342 | 22.2319 |
| 568 | 196.679 | 31.2405 | 22.1026 | 22.2872 |
| 569 | 196.785 | 31.0002 | 22.0791 | 22.2598 |
| 570 | 196.945 | 31.256 | 22.0458 | 22.2842 |
| 571 | 197.135 | 31.379 | 22.1225 | 22.2834 |
| 572 | 197.269 | 31.5259 | 22.0932 | 22.3064 |
| 573 | 197.436 | 31.606 | 22.0923 | 22.3318 |
| 574 | 197.599 | 31.3291 | 22.1359 | 22.2836 |
| 575 | 197.759 | 31.2474 | 22.1626 | 22.3277 |
| 576 | 197.916 | 31.474 | 22.1451 | 22.4364 |
| 577 | 198.054 | 31.5288 | 22.0648 | 22.2641 |
| 578 | 198.192 | 31.679 | 22.0763 | 22.282 |
| 579 | 198.371 | 31.2983 | 22.1601 | 22.331 |
| 580 | 198.529 | 31.6756 | 22.2026 | 22.3477 |
| 581 | 198.68 | 31.701 | 22.2716 | 22.4592 |
| 582 | 198.849 | 31.8485 | 22.3124 | 22.3908 |
| 583 | 199.005 | 31.744 | 22.308 | 22.3569 |
| 584 | 199.17 | 31.9763 | 22.252 | 22.4356 |
| 585 | 199.328 | 31.7769 | 22.2292 | 22.4303 |
| 586 | 199.467 | 31.7814 | 22.1829 | 22.4155 |
| 587 | 199.623 | 31.5084 | 22.2486 | 22.4115 |
| 588 | 199.8 | 32.1298 | 22.3526 | 22.5372 |
| 589 | 199.975 | 31.9827 | 22.3487 | 22.5095 |
| 590 | 200.132 | 31.9963 | 22.2931 | 22.4801 |
| 591 | 200.252 | 31.6788 | 22.2782 | 22.5235 |
| 592 | 200.402 | 31.3471 | 22.2004 | 22.4043 |
| 593 | 200.582 | 31.3926 | 22.2611 | 22.4963 |
| 594 | 200.724 | 31.9576 | 22.2181 | 22.3947 |
| 595 | 200.879 | 31.9209 | 22.2266 | 22.5604 |
| 596 | 201.024 | 32.2035 | 22.1891 | 22.5093 |
| 597 | 201.213 | 31.7793 | 22.2438 | 22.4159 |
| 598 | 201.351 | 31.6551 | 22.2019 | 22.3922 |
| 599 | 201.518 | 32.0993 | 22.2296 | 22.3671 |
| 600 | 201.646 | 32.2471 | 22.212 | 22.2963 |

ANEXO R-2

Tabla de resultados obtenidos en la 2^a Corrida. (04-Dic-2014)

| Tiempo (min) | Temperatura (°C) T. interna | Temperatura (°C) T. externa | Temperatura (°C) T. Amb. Lado | Temperatura (°C) T. Amb. Lado Resistencia Libre |
|--------------|--------------------------------|--------------------------------|----------------------------------|---|
| 601 | 201.796 | 32.232 | 22.1686 | 22.3216 |
| 602 | 201.952 | 32.3386 | 22.1802 | 22.3822 |
| 603 | 202.128 | 32.0321 | 22.2098 | 22.3417 |
| 604 | 202.288 | 31.9666 | 22.264 | 22.3144 |
| 605 | 202.438 | 32.0678 | 22.2051 | 22.4266 |
| 606 | 202.584 | 31.9779 | 22.2162 | 22.402 |
| 607 | 202.743 | 31.9096 | 22.0205 | 22.2011 |
| 608 | 202.887 | 31.991 | 21.9964 | 22.3005 |
| 609 | 203.048 | 31.7201 | 21.9684 | 22.2136 |
| 610 | 203.24 | 31.8913 | 21.7753 | 22.1235 |
| 611 | 203.393 | 31.8653 | 22.0184 | 22.256 |
| 612 | 203.504 | 32.2027 | 22.1275 | 22.2373 |
| 613 | 203.666 | 31.9702 | 22.162 | 22.3134 |
| 614 | 203.868 | 32.1608 | 22.2256 | 22.3115 |
| 615 | 204.008 | 32.1372 | 22.2182 | 22.3383 |
| 616 | 204.123 | 32.2473 | 22.2395 | 22.23 |
| 617 | 204.299 | 32.1034 | 22.2326 | 22.3687 |
| 618 | 204.442 | 32.3908 | 22.2296 | 22.4022 |
| 619 | 204.589 | 32.0877 | 22.2176 | 22.3203 |
| 620 | 204.728 | 32.4846 | 22.1856 | 22.2337 |
| 621 | 204.923 | 32.2895 | 22.2093 | 22.3026 |
| 622 | 205.087 | 32.3293 | 22.2679 | 22.347 |
| 623 | 205.233 | 32.2621 | 22.301 | 22.3812 |
| 624 | 205.381 | 31.9118 | 22.2234 | 22.3194 |
| 625 | 205.539 | 32.1795 | 22.2812 | 22.4323 |
| 626 | 205.706 | 32.5962 | 22.2721 | 22.5671 |
| 627 | 205.844 | 32.5632 | 22.3013 | 22.4555 |
| 628 | 206.001 | 32.3822 | 22.2741 | 22.2956 |
| 629 | 206.167 | 32.4283 | 22.2522 | 22.3416 |
| 630 | 206.304 | 32.8561 | 22.3008 | 22.6155 |
| 631 | 206.477 | 32.1351 | 22.2808 | 22.6075 |
| 632 | 206.637 | 32.6342 | 22.2871 | 22.7049 |
| 633 | 206.801 | 32.1564 | 22.2871 | 22.6326 |
| 634 | 206.911 | 32.1286 | 22.2876 | 22.603 |
| 635 | 207.081 | 31.9183 | 22.2715 | 22.5528 |
| 636 | 207.21 | 32.0937 | 22.2597 | 22.4857 |
| 637 | 207.382 | 32.1586 | 22.3074 | 22.5826 |
| 638 | 207.521 | 32.1464 | 22.2632 | 22.5629 |
| 639 | 207.697 | 32.1271 | 22.3251 | 22.6097 |
| 640 | 207.839 | 32.8198 | 22.3673 | 22.5664 |

ANEXO R-2

Tabla de resultados obtenidos en la 2^a Corrida. (04-Dic-2014)

| Tiempo (min) | Temperatura (°C) T. interna | Temperatura (°C) T. externa | Temperatura (°C) T. Amb. Lado | Temperatura (°C) T. Amb. Lado Resistencia Libre |
|--------------|--------------------------------|--------------------------------|----------------------------------|---|
| 641 | 207.98 | 32.4481 | 22.3485 | 22.6376 |
| 642 | 208.134 | 32.8745 | 22.2945 | 22.6045 |
| 643 | 208.25 | 32.3724 | 22.2844 | 22.5306 |
| 644 | 208.434 | 32.6986 | 22.4054 | 22.582 |
| 645 | 208.522 | 32.6223 | 22.3247 | 22.5128 |
| 646 | 208.677 | 32.9134 | 22.2956 | 22.5054 |
| 647 | 208.864 | 32.7727 | 22.354 | 22.4988 |
| 648 | 209.04 | 32.6317 | 22.3309 | 22.5738 |
| 649 | 209.153 | 32.2202 | 22.2662 | 22.572 |
| 650 | 209.32 | 32.4042 | 22.3472 | 22.5736 |
| 651 | 209.494 | 32.5317 | 22.3646 | 22.6007 |
| 652 | 209.624 | 32.7496 | 22.3078 | 22.5051 |
| 653 | 209.729 | 32.8392 | 22.2916 | 22.5668 |
| 654 | 209.918 | 32.5449 | 22.3174 | 22.5634 |
| 655 | 210.083 | 33.0198 | 22.4322 | 22.5572 |
| 656 | 210.22 | 33.2489 | 22.3795 | 22.6574 |
| 657 | 210.371 | 32.9216 | 22.3492 | 22.6462 |
| 658 | 210.514 | 32.4335 | 22.4362 | 22.5932 |
| 659 | 210.622 | 33.1397 | 22.391 | 22.6056 |
| 660 | 210.693 | 33.5051 | 22.4321 | 22.6342 |
| 661 | 210.791 | 33.5413 | 22.4167 | 22.6361 |
| 662 | 210.818 | 33.3415 | 22.5268 | 22.5741 |
| 663 | 210.765 | 33.1309 | 22.4292 | 22.5481 |
| 664 | 210.728 | 33.2088 | 22.4364 | 22.5253 |
| 665 | 210.685 | 33.2969 | 22.4611 | 22.651 |
| 666 | 210.605 | 33.5672 | 22.4676 | 22.6559 |
| 667 | 210.542 | 33.5064 | 22.5269 | 22.6443 |
| 668 | 210.413 | 33.9039 | 22.4664 | 22.649 |
| 669 | 210.262 | 33.215 | 22.4859 | 22.6715 |
| 670 | 210.109 | 33.4867 | 22.5312 | 22.6127 |
| 671 | 209.922 | 33.675 | 22.5225 | 22.6053 |
| 672 | 209.776 | 33.734 | 22.48 | 22.6494 |
| 673 | 209.587 | 33.7925 | 22.4879 | 22.6919 |
| 674 | 209.43 | 33.8634 | 22.5057 | 22.6955 |
| 675 | 209.264 | 34.3371 | 22.551 | 22.7103 |
| 676 | 209.06 | 34.0374 | 22.4746 | 22.6883 |
| 677 | 208.983 | 33.7156 | 22.4871 | 22.6791 |
| 678 | 208.865 | 33.6678 | 22.5721 | 22.749 |
| 679 | 208.809 | 34.1411 | 22.4782 | 22.6966 |
| 680 | 208.797 | 33.6871 | 22.5381 | 22.7273 |

ANEXO R-2

Tabla de resultados obtenidos en la 2^a Corrida. (04-Dic-2014)

| Tiempo (min) | Temperatura (°C) T. interna | Temperatura (°C) T. externa | Temperatura (°C) T. Amb. Lado | Temperatura (°C) T. Amb. Lado Resistencia Libre |
|--------------|--------------------------------|--------------------------------|----------------------------------|---|
| 681 | 208.774 | 33.8725 | 22.53 | 22.7648 |
| 682 | 208.773 | 33.9466 | 22.4828 | 22.712 |
| 683 | 208.819 | 33.6396 | 22.5688 | 22.7674 |
| 684 | 208.852 | 33.7792 | 22.563 | 22.7331 |
| 685 | 208.911 | 34.0556 | 22.6045 | 22.785 |
| 686 | 208.968 | 33.9471 | 22.5744 | 22.59 |
| 687 | 208.979 | 33.5069 | 22.5463 | 22.5971 |
| 688 | 209.114 | 33.4839 | 22.5879 | 22.7093 |
| 689 | 209.216 | 33.6614 | 22.5607 | 22.7941 |
| 690 | 209.297 | 33.2594 | 22.5121 | 22.6543 |
| 691 | 209.409 | 33.0645 | 22.436 | 22.7278 |
| 692 | 209.534 | 32.9931 | 22.5146 | 22.8275 |
| 693 | 209.606 | 32.8085 | 22.4525 | 22.6766 |
| 694 | 209.748 | 32.7034 | 22.4894 | 22.7847 |
| 695 | 209.864 | 32.5528 | 22.5284 | 22.6795 |
| 696 | 209.974 | 32.5715 | 22.6772 | 22.8155 |
| 697 | 210.12 | 32.9864 | 22.6202 | 22.8523 |
| 698 | 210.248 | 32.9281 | 22.6745 | 22.8669 |
| 699 | 210.347 | 33.5367 | 22.6534 | 22.7353 |
| 700 | 210.527 | 33.417 | 22.6548 | 22.764 |
| 701 | 210.654 | 33.7128 | 22.6684 | 22.7649 |
| 702 | 210.774 | 33.7913 | 22.6544 | 22.8217 |
| 703 | 210.82 | 33.6964 | 22.7176 | 22.8585 |
| 704 | 210.802 | 33.7364 | 22.6667 | 22.8427 |
| 705 | 210.809 | 33.6604 | 22.6645 | 22.8376 |
| 706 | 210.77 | 33.7208 | 22.6422 | 22.8765 |
| 707 | 210.723 | 33.6255 | 22.5504 | 22.8929 |
| 708 | 210.658 | 34.0153 | 22.6171 | 22.858 |
| 709 | 210.528 | 33.8821 | 22.67 | 22.8582 |
| 710 | 210.436 | 33.1622 | 22.5756 | 22.6445 |
| 711 | 210.275 | 32.9068 | 22.52 | 22.6323 |
| 712 | 210.142 | 33.381 | 22.6006 | 22.6693 |
| 713 | 209.956 | 33.278 | 22.5915 | 22.5677 |
| 714 | 209.792 | 33.4178 | 22.7013 | 22.7859 |

ANEXO R-3

Tabla de resultados obtenidos en la 3^a Corrida. (05-Dic-2014)

| Tiempo (min) | Temperatura (°C) T. interna | Temperatura (°C) T. externa | Temperatura (°C) T. Amb. Lado Resistencia | Temperatura (°C) T. Amb. Lado Libre |
|--------------|--------------------------------|--------------------------------|--|---|
| 0 | 77.9392 | 23.3819 | 21.1907 | 21.2652 |
| 1 | 78.2129 | 23.3745 | 21.2856 | 21.3309 |
| 2 | 78.4853 | 23.4338 | 21.2518 | 21.3721 |
| 3 | 78.7326 | 23.4744 | 21.2124 | 21.2893 |
| 4 | 79.0301 | 23.4755 | 21.3002 | 21.3507 |
| 5 | 79.371 | 23.5914 | 21.2203 | 21.4572 |
| 6 | 79.6575 | 23.5674 | 21.2435 | 21.4285 |
| 7 | 79.9831 | 23.5371 | 21.1148 | 21.256 |
| 8 | 80.3198 | 23.364 | 21.1344 | 21.3662 |
| 9 | 80.6697 | 23.4078 | 21.2101 | 21.555 |
| 10 | 81.023 | 23.5443 | 21.1797 | 21.4034 |
| 11 | 81.4213 | 23.6782 | 21.2057 | 21.3892 |
| 12 | 81.8103 | 23.7361 | 21.1884 | 21.3512 |
| 13 | 82.1669 | 23.7905 | 21.2119 | 21.3535 |
| 14 | 82.5726 | 23.795 | 21.208 | 21.3392 |
| 15 | 82.9569 | 23.8388 | 21.2132 | 21.3463 |
| 16 | 83.3543 | 23.9235 | 21.2131 | 21.3542 |
| 17 | 83.7732 | 23.9425 | 21.184 | 21.5167 |
| 18 | 84.2062 | 23.9872 | 21.2421 | 21.4332 |
| 19 | 84.6124 | 24.0226 | 21.2344 | 21.4934 |
| 20 | 85.0074 | 23.9433 | 21.1914 | 21.5656 |
| 21 | 85.4362 | 24.0779 | 21.2588 | 21.466 |
| 22 | 85.8626 | 24.147 | 21.2509 | 21.4496 |
| 23 | 86.2679 | 24.1251 | 21.2539 | 21.4455 |
| 24 | 86.7134 | 24.1391 | 21.2562 | 21.5402 |
| 25 | 87.1165 | 24.1838 | 21.2314 | 21.4225 |
| 26 | 87.5505 | 24.2295 | 21.1862 | 21.3957 |
| 27 | 87.9672 | 24.2144 | 21.197 | 21.4457 |
| 28 | 88.4151 | 24.2334 | 21.2794 | 21.7596 |
| 29 | 88.8162 | 24.0887 | 21.2754 | 21.6886 |
| 30 | 89.2652 | 24.0506 | 21.2894 | 21.4933 |
| 31 | 89.6738 | 24.1569 | 21.2793 | 21.5544 |
| 32 | 90.0945 | 24.2675 | 21.2122 | 21.5104 |
| 33 | 90.5267 | 24.3466 | 21.2456 | 21.7023 |
| 34 | 90.9685 | 24.4248 | 21.2365 | 21.5375 |
| 35 | 91.3635 | 24.2866 | 21.2291 | 21.4707 |
| 36 | 91.8001 | 24.3246 | 21.2649 | 21.6697 |
| 37 | 92.2238 | 24.3128 | 21.2332 | 21.5437 |
| 38 | 92.6239 | 24.3771 | 21.2668 | 21.5386 |
| 39 | 93.0678 | 24.4448 | 21.28 | 21.6091 |
| 40 | 93.4973 | 24.4433 | 21.2754 | 21.6038 |

ANEXO R-3

Tabla de resultados obtenidos en la 3^a Corrida. (05-Dic-2014)

| Tiempo (min) | Temperatura (°C) T. interna | Temperatura (°C) T. externa | Temperatura (°C) T. Amb. Lado Resistencia | Temperatura (°C) T. Amb. Lado Libre |
|--------------|--------------------------------|--------------------------------|--|---|
| 41 | 93.9429 | 24.4573 | 21.2805 | 21.5584 |
| 42 | 94.3448 | 24.5408 | 21.2896 | 21.6156 |
| 43 | 94.7524 | 24.6009 | 21.3199 | 21.619 |
| 44 | 95.2141 | 24.6544 | 21.3455 | 21.6856 |
| 45 | 95.6231 | 24.6051 | 21.3378 | 21.6553 |
| 46 | 96.0546 | 24.7176 | 21.3157 | 21.6855 |
| 47 | 96.4563 | 24.7209 | 21.383 | 21.5486 |
| 48 | 96.8691 | 24.7794 | 21.3466 | 21.5565 |
| 49 | 97.2808 | 24.8477 | 21.3412 | 21.583 |
| 50 | 97.6895 | 24.862 | 21.3599 | 21.6024 |
| 51 | 98.122 | 24.93 | 21.398 | 21.5699 |
| 52 | 98.516 | 24.8794 | 21.389 | 21.5947 |
| 53 | 98.945 | 24.9362 | 21.3759 | 21.5561 |
| 54 | 99.3612 | 24.8506 | 21.3802 | 21.6137 |
| 55 | 99.7472 | 24.8571 | 21.3585 | 21.5628 |
| 56 | 100.173 | 24.8353 | 21.4264 | 21.6653 |
| 57 | 100.59 | 24.8656 | 21.4454 | 21.6138 |
| 58 | 100.998 | 24.9645 | 21.479 | 21.6495 |
| 59 | 101.373 | 25.0764 | 21.5179 | 21.6351 |
| 60 | 101.811 | 25.1527 | 21.5629 | 21.6033 |
| 61 | 102.203 | 25.1218 | 21.5492 | 21.6719 |
| 62 | 102.613 | 25.1028 | 21.5108 | 21.6143 |
| 63 | 103.04 | 25.2282 | 21.4935 | 21.8191 |
| 64 | 103.418 | 25.2219 | 21.5136 | 21.681 |
| 65 | 103.846 | 25.3597 | 21.5621 | 21.6656 |
| 66 | 104.253 | 25.359 | 21.5699 | 21.6986 |
| 67 | 104.662 | 25.3671 | 21.5536 | 21.7436 |
| 68 | 105.03 | 25.3297 | 21.5116 | 21.6531 |
| 69 | 105.463 | 25.3506 | 21.5409 | 21.6758 |
| 70 | 105.858 | 25.4945 | 21.5417 | 21.6966 |
| 71 | 106.256 | 25.4663 | 21.48 | 21.7113 |
| 72 | 106.648 | 25.4295 | 21.4884 | 21.7093 |
| 73 | 107.059 | 25.329 | 21.5874 | 21.7727 |
| 74 | 107.445 | 25.2511 | 21.6363 | 21.8226 |
| 75 | 107.854 | 25.4526 | 21.61 | 21.7447 |
| 76 | 108.234 | 25.6532 | 21.6161 | 21.7277 |
| 77 | 108.619 | 25.6863 | 21.5741 | 21.741 |
| 78 | 109.022 | 25.7539 | 21.5739 | 21.7403 |
| 79 | 109.408 | 25.7534 | 21.5871 | 21.734 |
| 80 | 109.812 | 25.7634 | 21.5608 | 21.7836 |

ANEXO R-3

Tabla de resultados obtenidos en la 3^a Corrida. (05-Dic-2014)

| Tiempo (min) | Temperatura (°C) T. interna | Temperatura (°C) T. externa | Temperatura (°C) T. Amb. Lado Resistencia | Temperatura (°C) T. Amb. Lado Libre |
|--------------|--------------------------------|--------------------------------|--|---|
| 81 | 110.161 | 25.7753 | 21.5488 | 21.8326 |
| 82 | 110.597 | 25.829 | 21.6131 | 21.8432 |
| 83 | 110.998 | 25.7718 | 21.6316 | 21.8042 |
| 84 | 111.392 | 25.8643 | 21.5723 | 21.8696 |
| 85 | 111.749 | 25.8497 | 21.5616 | 21.8259 |
| 86 | 112.131 | 25.864 | 21.5322 | 21.7571 |
| 87 | 112.564 | 25.8709 | 21.5702 | 21.8383 |
| 88 | 112.932 | 25.9132 | 21.5938 | 22.0164 |
| 89 | 113.336 | 25.8182 | 21.6225 | 21.997 |
| 90 | 113.691 | 25.9908 | 21.6407 | 21.8989 |
| 91 | 114.051 | 26.0002 | 21.6013 | 21.8212 |
| 92 | 114.429 | 25.7721 | 21.6981 | 22.2892 |
| 93 | 114.83 | 25.8602 | 21.8117 | 21.9967 |
| 94 | 115.168 | 25.8215 | 21.675 | 21.8641 |
| 95 | 115.587 | 26.1061 | 21.7206 | 21.8076 |
| 96 | 115.924 | 25.9563 | 21.6991 | 21.9975 |
| 97 | 116.358 | 25.9659 | 21.7206 | 21.8943 |
| 98 | 116.728 | 26.0823 | 21.7178 | 21.885 |
| 99 | 117.083 | 26.2961 | 21.7056 | 21.8605 |
| 100 | 117.489 | 26.4022 | 21.6771 | 21.8767 |
| 101 | 117.863 | 26.301 | 21.6939 | 21.852 |
| 102 | 118.215 | 26.1314 | 21.7075 | 21.8972 |
| 103 | 118.596 | 26.2678 | 21.7176 | 22.0061 |
| 104 | 118.985 | 26.3639 | 21.6459 | 21.9238 |
| 105 | 119.342 | 26.2742 | 21.6784 | 21.9044 |
| 106 | 119.707 | 26.2958 | 21.7148 | 22.0172 |
| 107 | 120.074 | 26.3627 | 21.7927 | 22.0545 |
| 108 | 120.479 | 26.3444 | 21.8115 | 22.0198 |
| 109 | 120.828 | 26.3376 | 21.7879 | 21.9371 |
| 110 | 121.222 | 26.3987 | 21.747 | 22.0016 |
| 111 | 121.542 | 26.5869 | 21.6908 | 21.8977 |
| 112 | 121.933 | 26.6849 | 21.756 | 21.8157 |
| 113 | 122.288 | 26.7133 | 21.7329 | 21.8983 |
| 114 | 122.702 | 26.8121 | 21.829 | 22.0173 |
| 115 | 123.004 | 26.7553 | 21.7301 | 21.9613 |
| 116 | 123.384 | 26.7078 | 21.6215 | 21.9353 |
| 117 | 123.761 | 26.5303 | 21.7444 | 22.0364 |
| 118 | 124.117 | 26.6102 | 21.7002 | 21.9086 |
| 119 | 124.492 | 26.6041 | 21.6732 | 21.8493 |
| 120 | 124.872 | 26.5343 | 21.6954 | 21.9474 |

ANEXO R-3

Tabla de resultados obtenidos en la 3^a Corrida. (05-Dic-2014)

| Tiempo (min) | Temperatura (°C) T. interna | Temperatura (°C) T. externa | Temperatura (°C) T. Amb. Lado Resistencia | Temperatura (°C) T. Amb. Lado Libre |
|--------------|--------------------------------|--------------------------------|--|---|
| 121 | 125.212 | 26.6801 | 21.7698 | 21.9803 |
| 122 | 125.572 | 26.6933 | 21.7434 | 21.956 |
| 123 | 125.945 | 26.4605 | 21.7708 | 21.9895 |
| 124 | 126.306 | 26.701 | 21.7599 | 22.0309 |
| 125 | 126.657 | 26.7335 | 21.767 | 21.9327 |
| 126 | 126.973 | 26.741 | 21.7347 | 21.9989 |
| 127 | 127.354 | 26.7809 | 21.7836 | 21.9612 |
| 128 | 127.735 | 26.9879 | 21.7783 | 22.0224 |
| 129 | 128.094 | 27.0631 | 21.8282 | 22.1242 |
| 130 | 128.445 | 27.0158 | 21.799 | 22.0405 |
| 131 | 128.774 | 27.0865 | 21.7837 | 22.0644 |
| 132 | 129.164 | 26.9876 | 21.8249 | 21.989 |
| 133 | 129.523 | 26.9119 | 21.7887 | 22.0724 |
| 134 | 129.858 | 27.1087 | 21.838 | 22.0668 |
| 135 | 130.181 | 27.1474 | 21.8135 | 21.9551 |
| 136 | 130.542 | 26.9583 | 21.8245 | 22.0057 |
| 137 | 130.902 | 27.0718 | 21.7932 | 22.0547 |
| 138 | 131.279 | 27.272 | 21.865 | 22.0189 |
| 139 | 131.625 | 27.2218 | 21.9045 | 22.0737 |
| 140 | 131.962 | 27.3204 | 21.9597 | 22.1484 |
| 141 | 132.276 | 27.4159 | 21.9305 | 22.179 |
| 142 | 132.65 | 27.2741 | 21.8962 | 22.1372 |
| 143 | 132.983 | 27.3633 | 21.9074 | 22.0867 |
| 144 | 133.353 | 27.3385 | 21.9395 | 22.1158 |
| 145 | 133.707 | 27.2306 | 22.0084 | 22.0986 |
| 146 | 134.052 | 27.4444 | 21.9998 | 22.136 |
| 147 | 134.357 | 27.5431 | 21.9029 | 22.1741 |
| 148 | 134.731 | 27.5625 | 21.9266 | 22.2808 |
| 149 | 135.057 | 27.5858 | 21.945 | 22.112 |
| 150 | 135.402 | 27.6217 | 21.969 | 22.1061 |
| 151 | 135.7 | 27.8185 | 21.893 | 22.1703 |
| 152 | 136.063 | 27.4137 | 21.9345 | 22.2099 |
| 153 | 136.388 | 27.2557 | 21.9081 | 22.2747 |
| 154 | 136.751 | 27.3131 | 21.9252 | 22.1742 |
| 155 | 137.07 | 27.6597 | 21.9892 | 22.1437 |
| 156 | 137.412 | 27.5032 | 21.9667 | 22.088 |
| 157 | 137.753 | 27.335 | 22.0065 | 22.1485 |
| 158 | 138.094 | 27.6389 | 21.9496 | 22.197 |
| 159 | 138.46 | 27.6486 | 21.9506 | 22.515 |
| 160 | 138.765 | 27.6321 | 21.9906 | 22.2725 |

ANEXO R-3

Tabla de resultados obtenidos en la 3^a Corrida. (05-Dic-2014)

| Tiempo (min) | Temperatura (°C) T. interna | Temperatura (°C) T. externa | Temperatura (°C) T. Amb. Lado Resistencia | Temperatura (°C) T. Amb. Lado Libre |
|--------------|--------------------------------|--------------------------------|--|---|
| 161 | 139.079 | 27.8057 | 22.031 | 22.2946 |
| 162 | 139.427 | 27.7903 | 22.0959 | 22.3038 |
| 163 | 139.773 | 27.979 | 21.9843 | 22.1858 |
| 164 | 140.091 | 27.895 | 22.0515 | 22.2239 |
| 165 | 140.446 | 27.9735 | 22.077 | 22.3156 |
| 166 | 140.75 | 27.9066 | 22.0192 | 22.2882 |
| 167 | 141.08 | 27.9572 | 22.0825 | 22.2261 |
| 168 | 141.411 | 27.8573 | 22.0056 | 22.2055 |
| 169 | 141.73 | 27.7115 | 22.0278 | 22.2019 |
| 170 | 142.032 | 27.9108 | 22.0183 | 22.3016 |
| 171 | 142.365 | 27.8257 | 22.0488 | 22.2518 |
| 172 | 142.691 | 27.7524 | 22.0287 | 22.3471 |
| 173 | 142.99 | 27.7761 | 22.0542 | 22.2675 |
| 174 | 143.324 | 27.7907 | 22.1057 | 22.2105 |
| 175 | 143.687 | 27.8787 | 22.1455 | 22.2738 |
| 176 | 144.002 | 27.9221 | 22.127 | 22.2243 |
| 177 | 144.329 | 27.9394 | 22.0498 | 22.29 |
| 178 | 144.665 | 28.0487 | 22.1605 | 22.2238 |
| 179 | 144.999 | 28.1964 | 22.2215 | 22.2551 |
| 180 | 145.34 | 28.0695 | 22.214 | 22.2597 |
| 181 | 145.639 | 27.974 | 22.1847 | 22.3502 |
| 182 | 145.909 | 28.0097 | 22.1325 | 22.259 |
| 183 | 146.248 | 27.9344 | 22.1306 | 22.25 |
| 184 | 146.547 | 27.9731 | 22.1866 | 22.2775 |
| 185 | 146.88 | 28.016 | 22.1839 | 22.3101 |
| 186 | 147.203 | 28.0535 | 22.2508 | 22.2715 |
| 187 | 147.513 | 28.4254 | 22.1955 | 22.2438 |
| 188 | 147.806 | 28.4966 | 22.1991 | 22.412 |
| 189 | 148.127 | 28.5274 | 22.184 | 22.3834 |
| 190 | 148.421 | 28.5116 | 22.1425 | 22.3575 |
| 191 | 148.72 | 28.4377 | 22.1583 | 22.2763 |
| 192 | 149.078 | 28.389 | 22.1905 | 22.3252 |
| 193 | 149.396 | 28.3065 | 22.2525 | 22.4208 |
| 194 | 149.696 | 28.3468 | 22.2257 | 22.2954 |
| 195 | 150.012 | 28.2657 | 22.2147 | 22.2571 |
| 196 | 150.319 | 28.5013 | 22.2306 | 22.3697 |
| 197 | 150.61 | 28.6449 | 22.2254 | 22.263 |
| 198 | 150.913 | 28.6845 | 22.2294 | 22.3043 |
| 199 | 151.222 | 28.6489 | 22.2276 | 22.3265 |
| 200 | 151.546 | 28.6213 | 22.322 | 22.3554 |

ANEXO R-3

Tabla de resultados obtenidos en la 3^a Corrida. (05-Dic-2014)

| Tiempo (min) | Temperatura (°C) T. interna | Temperatura (°C) T. externa | Temperatura (°C) T. Amb. Lado Resistencia | Temperatura (°C) T. Amb. Lado Libre |
|--------------|--------------------------------|--------------------------------|--|---|
| 201 | 151.86 | 28.7181 | 22.252 | 22.3382 |
| 202 | 152.123 | 28.6114 | 22.2675 | 22.2917 |
| 203 | 152.443 | 28.6481 | 22.2684 | 22.3595 |
| 204 | 152.726 | 28.8143 | 22.268 | 22.442 |
| 205 | 153.028 | 28.6673 | 22.285 | 22.3493 |
| 206 | 153.315 | 28.6096 | 22.259 | 22.357 |
| 207 | 153.652 | 28.8043 | 22.2739 | 22.4498 |
| 208 | 153.91 | 29.1118 | 22.2191 | 22.2829 |
| 209 | 154.237 | 29.0348 | 22.2799 | 22.3362 |
| 210 | 154.547 | 28.745 | 22.291 | 22.3421 |
| 211 | 154.813 | 28.8894 | 22.316 | 22.3315 |
| 212 | 155.128 | 28.944 | 22.3103 | 22.4881 |
| 213 | 155.406 | 28.8007 | 22.2832 | 22.4221 |
| 214 | 155.684 | 28.7723 | 22.2923 | 22.3869 |
| 215 | 155.975 | 28.7342 | 22.314 | 22.4255 |
| 216 | 156.278 | 28.9313 | 22.3257 | 22.5333 |
| 217 | 156.577 | 28.7895 | 22.315 | 22.4426 |
| 218 | 156.859 | 28.7783 | 22.3019 | 22.4194 |
| 219 | 157.149 | 28.7543 | 22.317 | 22.4439 |
| 220 | 157.438 | 28.7667 | 22.3331 | 22.4067 |
| 221 | 157.768 | 29.0104 | 22.3179 | 22.3892 |
| 222 | 158.035 | 29.2358 | 22.344 | 22.478 |
| 223 | 158.289 | 29.2623 | 22.3 | 22.4537 |
| 224 | 158.56 | 29.6374 | 22.3553 | 22.497 |
| 225 | 158.86 | 29.3352 | 22.3815 | 22.4893 |
| 226 | 159.152 | 29.1317 | 22.3615 | 22.5367 |
| 227 | 159.419 | 29.1976 | 22.3766 | 22.5574 |
| 228 | 159.731 | 28.9747 | 22.3734 | 22.51 |
| 229 | 159.982 | 29.1392 | 22.4005 | 22.5038 |
| 230 | 160.292 | 29.0573 | 22.4478 | 22.5033 |
| 231 | 160.558 | 29.5807 | 22.4379 | 22.521 |
| 232 | 160.857 | 29.448 | 22.4371 | 22.5654 |
| 233 | 161.149 | 29.4787 | 22.3468 | 22.5507 |
| 234 | 161.434 | 29.4304 | 22.3515 | 22.448 |
| 235 | 161.699 | 29.0604 | 22.3916 | 22.5208 |
| 236 | 161.978 | 29.3496 | 22.4322 | 22.599 |
| 237 | 162.265 | 29.4818 | 22.5023 | 22.6776 |
| 238 | 162.554 | 29.5256 | 22.4613 | 22.5952 |
| 239 | 162.853 | 29.5902 | 22.4619 | 22.5158 |
| 240 | 163.077 | 29.5038 | 22.4638 | 22.5603 |

ANEXO R-3

Tabla de resultados obtenidos en la 3^a Corrida. (05-Dic-2014)

| Tiempo (min) | Temperatura (°C) T. interna | Temperatura (°C) T. externa | Temperatura (°C) T. Amb. Lado Resistencia | Temperatura (°C) T. Amb. Lado Libre |
|--------------|--------------------------------|--------------------------------|--|---|
| 241 | 163.358 | 29.178 | 22.4596 | 22.5299 |
| 242 | 163.638 | 29.4253 | 22.46 | 22.5953 |
| 243 | 163.929 | 29.4681 | 22.4514 | 22.5801 |
| 244 | 164.182 | 29.6908 | 22.48 | 22.6042 |
| 245 | 164.495 | 29.5979 | 22.5528 | 22.6255 |
| 246 | 164.8 | 29.566 | 22.5743 | 22.6313 |
| 247 | 165.057 | 29.5926 | 22.5411 | 22.6303 |
| 248 | 165.319 | 29.7537 | 22.5808 | 22.6923 |
| 249 | 165.563 | 29.5754 | 22.58 | 22.6231 |
| 250 | 165.844 | 29.7453 | 22.5516 | 22.6641 |
| 251 | 166.122 | 29.4837 | 22.5806 | 22.7039 |
| 252 | 166.414 | 29.6845 | 22.6035 | 22.6631 |
| 253 | 166.721 | 29.6871 | 22.5657 | 22.6934 |
| 254 | 166.961 | 29.8171 | 22.4694 | 22.6496 |
| 255 | 167.224 | 29.6667 | 22.5275 | 22.7071 |
| 256 | 167.445 | 29.4958 | 22.4774 | 22.6379 |
| 257 | 167.739 | 29.5933 | 22.5168 | 22.6441 |
| 258 | 168.023 | 29.6533 | 22.53 | 22.6556 |
| 259 | 168.277 | 30.0046 | 22.5854 | 22.6393 |
| 260 | 168.572 | 30.1153 | 22.5786 | 22.6972 |
| 261 | 168.845 | 30.0009 | 22.5504 | 22.6789 |
| 262 | 169.093 | 29.9883 | 22.5672 | 22.7375 |
| 263 | 169.35 | 29.8104 | 22.5657 | 22.7563 |
| 264 | 169.597 | 29.6541 | 22.5359 | 22.7248 |
| 265 | 169.856 | 29.8938 | 22.5405 | 22.7261 |
| 266 | 170.158 | 30.2639 | 22.5846 | 22.8001 |
| 267 | 170.434 | 30.2142 | 22.5764 | 22.6875 |
| 268 | 170.663 | 30.0577 | 22.5151 | 22.7043 |
| 269 | 170.892 | 29.8125 | 22.5111 | 22.6607 |
| 270 | 171.177 | 29.9427 | 22.6004 | 22.7515 |
| 271 | 171.43 | 29.774 | 22.5393 | 22.6708 |
| 272 | 171.686 | 29.967 | 22.5379 | 22.775 |
| 273 | 171.937 | 30.159 | 22.614 | 22.7575 |
| 274 | 172.19 | 30.1377 | 22.5573 | 22.7966 |
| 275 | 172.452 | 29.91 | 22.5625 | 22.7719 |
| 276 | 172.7 | 29.9442 | 22.6013 | 22.8142 |
| 277 | 172.979 | 30.0069 | 22.6016 | 22.74 |
| 278 | 173.243 | 30.0414 | 22.5752 | 22.802 |
| 279 | 173.497 | 30.5215 | 22.6079 | 22.8445 |
| 280 | 173.724 | 30.5065 | 22.5663 | 22.7785 |

ANEXO R-3

Tabla de resultados obtenidos en la 3^a Corrida. (05-Dic-2014)

| Tiempo (min) | Temperatura (°C) T. interna | Temperatura (°C) T. externa | Temperatura (°C) T. Amb. Lado Resistencia | Temperatura (°C) T. Amb. Lado Libre |
|--------------|--------------------------------|--------------------------------|--|---|
| 281 | 173.972 | 30.4041 | 22.6004 | 22.7882 |
| 282 | 174.233 | 30.4753 | 22.6209 | 22.7727 |
| 283 | 174.492 | 30.3181 | 22.6415 | 22.8217 |
| 284 | 174.73 | 30.213 | 22.6614 | 22.8228 |
| 285 | 174.998 | 30.224 | 22.6509 | 22.8612 |
| 286 | 175.23 | 29.9836 | 22.601 | 22.8142 |
| 287 | 175.504 | 30.1855 | 22.6036 | 22.7727 |
| 288 | 175.751 | 30.1458 | 22.602 | 22.8271 |
| 289 | 175.999 | 30.4879 | 22.6428 | 22.8094 |
| 290 | 176.219 | 30.7852 | 22.6487 | 22.8837 |
| 291 | 176.487 | 30.8244 | 22.6276 | 22.7839 |
| 292 | 176.734 | 30.6352 | 22.6291 | 22.8281 |
| 293 | 177.017 | 30.5289 | 22.6514 | 22.8591 |
| 294 | 177.213 | 30.498 | 22.6425 | 22.8909 |
| 295 | 177.487 | 30.5734 | 22.7149 | 22.9299 |
| 296 | 177.709 | 30.7691 | 22.7137 | 22.8911 |
| 297 | 177.967 | 30.9331 | 22.718 | 22.9017 |
| 298 | 178.185 | 30.8658 | 22.7255 | 22.8707 |
| 299 | 178.486 | 30.8202 | 22.7038 | 22.8381 |
| 300 | 178.709 | 30.6138 | 22.6874 | 22.9358 |
| 301 | 178.967 | 30.6134 | 22.6866 | 22.9449 |
| 302 | 179.213 | 30.8084 | 22.7775 | 22.9153 |
| 303 | 179.416 | 30.7486 | 22.7317 | 22.8876 |
| 304 | 179.661 | 30.3461 | 22.707 | 22.9175 |
| 305 | 179.916 | 30.4275 | 22.7492 | 22.9169 |
| 306 | 180.141 | 30.4839 | 22.739 | 22.9277 |
| 307 | 180.374 | 30.8941 | 22.7477 | 22.9323 |
| 308 | 180.657 | 30.9605 | 22.7386 | 22.9646 |
| 309 | 180.853 | 30.7966 | 22.6667 | 22.8963 |
| 310 | 181.122 | 30.8149 | 22.7464 | 22.9402 |
| 311 | 181.37 | 30.8874 | 22.8079 | 22.9391 |
| 312 | 181.617 | 30.9872 | 22.753 | 22.9809 |
| 313 | 181.826 | 30.9518 | 22.7914 | 22.94 |
| 314 | 182.043 | 31.1772 | 22.7758 | 22.9513 |
| 315 | 182.31 | 31.1272 | 22.8073 | 23.0278 |
| 316 | 182.528 | 31.0781 | 22.8502 | 22.9803 |
| 317 | 182.8 | 30.8232 | 22.8532 | 22.8384 |
| 318 | 183.044 | 30.7145 | 22.8361 | 22.9339 |
| 319 | 183.264 | 30.7832 | 22.8344 | 23.0019 |
| 320 | 183.487 | 31.2626 | 22.8652 | 23.136 |

ANEXO R-3

Tabla de resultados obtenidos en la 3^a Corrida. (05-Dic-2014)

| Tiempo (min) | Temperatura (°C) T. interna | Temperatura (°C) T. externa | Temperatura (°C) T. Amb. Lado Resistencia | Temperatura (°C) T. Amb. Lado Libre |
|--------------|--------------------------------|--------------------------------|--|---|
| 321 | 183.689 | 31.1663 | 22.7257 | 22.9867 |
| 322 | 183.915 | 31.424 | 22.878 | 22.9591 |
| 323 | 184.174 | 31.8143 | 22.7886 | 23.0127 |
| 324 | 184.404 | 31.6217 | 22.8121 | 23.0284 |
| 325 | 184.605 | 31.2703 | 22.8649 | 22.9548 |
| 326 | 184.875 | 31.2858 | 22.8918 | 23.0524 |
| 327 | 185.089 | 31.2171 | 22.8762 | 22.9858 |
| 328 | 185.338 | 31.3585 | 22.9084 | 23.0845 |
| 329 | 185.566 | 31.7181 | 22.9016 | 23.0834 |
| 330 | 185.809 | 31.5046 | 22.869 | 23.0178 |
| 331 | 186.003 | 31.4855 | 22.8929 | 23.1179 |
| 332 | 186.264 | 31.3416 | 22.842 | 23.0962 |
| 333 | 186.454 | 31.359 | 22.8219 | 23.0841 |
| 334 | 186.664 | 31.2496 | 22.8591 | 23.0507 |
| 335 | 186.905 | 31.4931 | 22.8058 | 23.1234 |
| 336 | 187.116 | 31.4837 | 22.9105 | 23.068 |
| 337 | 187.387 | 31.3562 | 22.8966 | 23.0694 |
| 338 | 187.582 | 31.3814 | 22.8539 | 23.1348 |
| 339 | 187.805 | 31.2987 | 22.8682 | 23.0787 |
| 340 | 188.017 | 31.4401 | 22.9 | 23.0975 |
| 341 | 188.264 | 31.6596 | 22.9199 | 23.1427 |
| 342 | 188.475 | 31.7335 | 22.9154 | 23.15 |
| 343 | 188.686 | 31.556 | 22.9037 | 23.0398 |
| 344 | 188.903 | 31.3744 | 22.8961 | 23.0992 |
| 345 | 189.144 | 31.666 | 22.9127 | 23.1807 |
| 346 | 189.376 | 31.5481 | 22.9248 | 23.1811 |
| 347 | 189.579 | 31.635 | 22.9279 | 23.1618 |
| 348 | 189.779 | 31.535 | 22.8964 | 23.1146 |
| 349 | 190.019 | 31.7753 | 22.8982 | 23.1742 |
| 350 | 190.265 | 31.6036 | 22.9376 | 23.2255 |
| 351 | 190.478 | 32.0188 | 22.9561 | 23.1239 |
| 352 | 190.677 | 32.032 | 22.9862 | 23.178 |
| 353 | 190.894 | 32.0156 | 23.038 | 23.2001 |
| 354 | 191.124 | 31.8538 | 23.0926 | 23.174 |
| 355 | 191.329 | 31.9453 | 23.1177 | 23.1899 |
| 356 | 191.558 | 32.2166 | 23.1354 | 23.181 |
| 357 | 191.762 | 31.7479 | 23.0676 | 23.1783 |
| 358 | 191.998 | 31.639 | 23.0317 | 23.2024 |
| 359 | 192.241 | 31.9845 | 23.1409 | 23.2187 |
| 360 | 192.444 | 32.0951 | 23.0277 | 23.0529 |

ANEXO R-3

Tabla de resultados obtenidos en la 3^a Corrida. (05-Dic-2014)

| Tiempo (min) | Temperatura (°C) T. interna | Temperatura (°C) T. externa | Temperatura (°C) T. Amb. Lado Resistencia | Temperatura (°C) T. Amb. Lado Libre |
|--------------|--------------------------------|--------------------------------|--|---|
| 361 | 192.669 | 32.0886 | 22.9433 | 23.1542 |
| 362 | 192.899 | 32.2319 | 22.9845 | 23.2621 |
| 363 | 193.102 | 32.1782 | 23.0753 | 23.2826 |
| 364 | 193.299 | 32.0577 | 23.0571 | 23.2097 |
| 365 | 193.564 | 31.8164 | 23.1568 | 23.2525 |
| 366 | 193.753 | 31.9591 | 23.119 | 23.2605 |
| 367 | 193.934 | 32.0439 | 23.1004 | 23.2409 |
| 368 | 194.168 | 32.1674 | 23.1299 | 23.2533 |
| 369 | 194.396 | 32.2189 | 23.1544 | 23.2287 |
| 370 | 194.624 | 32.3431 | 23.1498 | 23.2095 |
| 371 | 194.819 | 31.9321 | 23.1626 | 23.2068 |
| 372 | 195.057 | 32.1229 | 23.198 | 23.2448 |
| 373 | 195.265 | 32.1339 | 23.22 | 23.2414 |
| 374 | 195.449 | 32.3491 | 23.2419 | 23.2668 |
| 375 | 195.692 | 32.1974 | 23.1141 | 23.2984 |
| 376 | 195.932 | 32.2199 | 23.2057 | 23.2931 |
| 377 | 196.121 | 32.394 | 23.2191 | 23.2733 |
| 378 | 196.319 | 32.3486 | 23.1841 | 23.2856 |
| 379 | 196.551 | 32.4464 | 23.1954 | 23.3449 |
| 380 | 196.728 | 32.6762 | 23.2206 | 23.3033 |
| 381 | 196.987 | 32.7519 | 23.2553 | 23.3 |
| 382 | 197.198 | 32.3766 | 23.2387 | 23.3176 |
| 383 | 197.375 | 32.1342 | 23.2089 | 23.3263 |
| 384 | 197.603 | 32.3248 | 23.2137 | 23.3023 |
| 385 | 197.813 | 32.5105 | 23.3057 | 23.3315 |
| 386 | 198.001 | 32.3827 | 23.2476 | 23.4087 |
| 387 | 198.228 | 32.403 | 23.3018 | 23.3439 |
| 388 | 198.439 | 32.3992 | 23.3482 | 23.4053 |
| 389 | 198.663 | 32.8379 | 23.3045 | 23.366 |
| 390 | 198.836 | 32.7693 | 23.3339 | 23.3355 |
| 391 | 199.067 | 32.9048 | 23.3431 | 23.3683 |
| 392 | 199.248 | 32.9251 | 23.3493 | 23.3972 |
| 393 | 199.478 | 32.8587 | 23.2874 | 23.3694 |
| 394 | 199.656 | 32.6641 | 23.2853 | 23.4237 |
| 395 | 199.851 | 32.6756 | 23.2562 | 23.5085 |
| 396 | 200.081 | 32.75 | 23.369 | 23.4968 |
| 397 | 200.293 | 32.748 | 23.3615 | 23.5104 |
| 398 | 200.505 | 32.5581 | 23.2893 | 23.446 |
| 399 | 200.694 | 32.7053 | 23.2898 | 23.4399 |
| 400 | 200.907 | 32.7941 | 23.2669 | 23.4114 |

ANEXO R-3

Tabla de resultados obtenidos en la 3^a Corrida. (05-Dic-2014)

| Tiempo (min) | Temperatura (°C) T. interna | Temperatura (°C) T. externa | Temperatura (°C) T. Amb. Lado Resistencia | Temperatura (°C) T. Amb. Lado Libre |
|--------------|--------------------------------|--------------------------------|--|---|
| 401 | 201.13 | 32.7939 | 23.2565 | 23.444 |
| 402 | 201.318 | 32.7455 | 23.2243 | 23.3533 |
| 403 | 201.522 | 32.8236 | 23.287 | 23.4141 |
| 404 | 201.722 | 32.7918 | 23.3014 | 23.4654 |
| 405 | 201.946 | 32.7363 | 23.2859 | 23.4344 |
| 406 | 202.146 | 33.1053 | 23.2845 | 23.4943 |
| 407 | 202.303 | 33.1207 | 23.1955 | 23.3644 |
| 408 | 202.523 | 32.9634 | 23.287 | 23.3935 |
| 409 | 202.72 | 32.7203 | 23.2397 | 23.4338 |
| 410 | 202.937 | 32.4268 | 23.2135 | 23.4511 |
| 411 | 203.119 | 32.4489 | 23.2607 | 23.3192 |
| 412 | 203.338 | 32.7949 | 23.3274 | 23.4263 |
| 413 | 203.541 | 32.6888 | 23.3098 | 23.4622 |
| 414 | 203.74 | 32.9759 | 23.2905 | 23.454 |
| 415 | 203.941 | 33.047 | 23.277 | 23.468 |
| 416 | 204.133 | 32.887 | 23.234 | 23.5216 |
| 417 | 204.302 | 32.8635 | 23.2115 | 23.3797 |
| 418 | 204.51 | 33.2352 | 23.2555 | 23.4359 |
| 419 | 204.692 | 33.2321 | 23.2721 | 23.4936 |
| 420 | 204.891 | 33.2024 | 23.4124 | 23.4781 |
| 421 | 205.065 | 33.5791 | 23.3377 | 23.7027 |
| 422 | 205.271 | 33.5921 | 23.3954 | 23.7307 |
| 423 | 205.463 | 33.6511 | 23.4145 | 23.7459 |
| 424 | 205.67 | 33.557 | 23.4507 | 23.6716 |
| 425 | 205.871 | 33.6975 | 23.4389 | 23.8188 |
| 426 | 206.049 | 33.7204 | 23.5551 | 23.6325 |
| 427 | 206.234 | 33.1237 | 23.4194 | 23.4325 |
| 428 | 206.418 | 33.4779 | 23.5235 | 23.6726 |
| 429 | 206.637 | 33.5694 | 23.5228 | 23.6637 |
| 430 | 206.831 | 33.5276 | 23.5547 | 23.7836 |
| 431 | 207.022 | 33.6328 | 23.5222 | 23.7781 |
| 432 | 207.19 | 33.5738 | 23.4319 | 23.7189 |
| 433 | 207.372 | 33.8203 | 23.5007 | 23.6594 |
| 434 | 207.603 | 33.7025 | 23.5227 | 23.7068 |
| 435 | 207.791 | 33.287 | 23.3956 | 23.637 |
| 436 | 207.973 | 33.0913 | 23.2789 | 23.3816 |
| 437 | 208.166 | 33.0156 | 23.205 | 23.15 |
| 438 | 208.342 | 33.0876 | 23.3142 | 23.3283 |
| 439 | 208.569 | 33.3285 | 23.3635 | 23.6937 |
| 440 | 208.681 | 33.2876 | 23.3036 | 23.6578 |

ANEXO R-3

Tabla de resultados obtenidos en la 3^a Corrida. (05-Dic-2014)

| Tiempo (min) | Temperatura (°C) T. interna | Temperatura (°C) T. externa | Temperatura (°C) T. Amb. Lado Resistencia | Temperatura (°C) T. Amb. Lado Libre |
|--------------|--------------------------------|--------------------------------|--|---|
| 441 | 208.9 | 33.3635 | 23.4635 | 23.5692 |
| 442 | 209.117 | 33.8237 | 23.3538 | 23.6484 |
| 443 | 209.246 | 33.968 | 23.3468 | 23.5546 |
| 444 | 209.462 | 33.6665 | 23.4807 | 23.5359 |
| 445 | 209.63 | 33.6036 | 23.5034 | 23.5584 |
| 446 | 209.767 | 33.4466 | 23.4417 | 23.4972 |
| 447 | 209.978 | 33.4065 | 23.3239 | 23.5572 |
| 448 | 210.17 | 33.3479 | 23.4972 | 23.5434 |
| 449 | 210.344 | 33.4261 | 23.5888 | 23.6285 |
| 450 | 210.508 | 33.4396 | 23.6302 | 23.5199 |
| 451 | 210.728 | 33.3695 | 23.6122 | 23.5345 |
| 452 | 210.877 | 33.9157 | 23.5148 | 23.5123 |
| 453 | 211.02 | 33.4676 | 23.4942 | 23.493 |
| 454 | 211.108 | 33.6292 | 23.4622 | 23.5543 |
| 455 | 211.157 | 33.6816 | 23.3743 | 23.3682 |
| 456 | 211.198 | 33.7741 | 23.403 | 23.4324 |
| 457 | 211.195 | 33.5164 | 23.2473 | 23.3613 |
| 458 | 211.166 | 33.5677 | 23.3601 | 23.2906 |
| 459 | 211.126 | 33.9516 | 23.3639 | 23.3695 |
| 460 | 211.036 | 33.5237 | 23.4897 | 23.4108 |
| 461 | 210.946 | 33.5662 | 23.391 | 23.4627 |
| 462 | 210.832 | 33.8842 | 23.4387 | 23.2973 |
| 463 | 210.718 | 34.2047 | 23.3839 | 23.34 |
| 464 | 210.578 | 34.0483 | 23.3943 | 23.3972 |
| 465 | 210.441 | 33.8385 | 23.3671 | 23.4698 |
| 466 | 210.284 | 33.7466 | 23.3284 | 23.4336 |
| 467 | 210.1 | 33.686 | 23.3076 | 23.34 |
| 468 | 209.943 | 34.0161 | 23.3175 | 23.3302 |
| 469 | 209.776 | 33.8363 | 23.3484 | 23.3621 |
| 470 | 209.607 | 33.5031 | 23.3092 | 23.3754 |
| 471 | 209.408 | 33.6926 | 23.2937 | 23.3759 |
| 472 | 209.226 | 33.9591 | 23.3377 | 23.3266 |
| 473 | 209.092 | 34.2176 | 23.314 | 23.3793 |
| 474 | 208.919 | 34.2876 | 23.2865 | 23.282 |
| 475 | 208.841 | 33.9564 | 23.232 | 23.3236 |
| 476 | 208.8 | 34.4579 | 23.2805 | 23.2737 |
| 477 | 208.754 | 34.1001 | 23.2514 | 23.2674 |
| 478 | 208.768 | 34.2707 | 23.2703 | 23.3561 |
| 479 | 208.716 | 34.2132 | 23.1997 | 23.2164 |
| 480 | 208.77 | 33.9384 | 23.1983 | 23.2004 |

ANEXO R-3

Tabla de resultados obtenidos en la 3^a Corrida. (05-Dic-2014)

| Tiempo (min) | Temperatura (°C) T. interna | Temperatura (°C) T. externa | Temperatura (°C) T. Amb. Lado Resistencia | Temperatura (°C) T. Amb. Lado Libre |
|--------------|--------------------------------|--------------------------------|--|---|
| 481 | 208.832 | 33.9138 | 23.1412 | 23.2852 |
| 482 | 208.868 | 33.6854 | 23.2325 | 23.3801 |
| 483 | 208.953 | 34.0047 | 23.2098 | 23.3103 |
| 484 | 209 | 33.9088 | 23.2601 | 23.2987 |
| 485 | 209.125 | 33.929 | 23.258 | 23.3066 |
| 486 | 209.215 | 33.6285 | 23.203 | 23.313 |
| 487 | 209.328 | 33.481 | 23.2006 | 23.3495 |
| 488 | 209.453 | 33.5322 | 23.209 | 23.3361 |
| 489 | 209.528 | 33.3773 | 23.2559 | 23.3468 |
| 490 | 209.663 | 33.6819 | 23.2902 | 23.3877 |
| 491 | 209.757 | 34.0982 | 23.3042 | 23.3559 |
| 492 | 209.895 | 34.387 | 23.2286 | 23.3904 |
| 493 | 210.002 | 34.1945 | 23.253 | 23.339 |
| 494 | 210.171 | 33.6243 | 23.2377 | 23.4111 |
| 495 | 210.321 | 33.941 | 23.2935 | 23.415 |
| 496 | 210.46 | 34.5109 | 23.2713 | 23.3014 |
| 497 | 210.565 | 34.1449 | 23.2037 | 23.3642 |
| 498 | 210.68 | 34.3855 | 23.2397 | 23.2036 |
| 499 | 210.75 | 34.3997 | 23.2136 | 23.258 |
| 500 | 210.783 | 34.2077 | 23.1995 | 23.1671 |
| 501 | 210.772 | 34.4444 | 23.215 | 23.2235 |
| 502 | 210.77 | 34.3782 | 23.2238 | 23.1914 |
| 503 | 210.714 | 34.3259 | 23.2138 | 23.2051 |
| 504 | 210.64 | 33.7762 | 23.192 | 23.1918 |
| 505 | 210.543 | 33.7268 | 23.1829 | 23.1824 |
| 506 | 210.458 | 33.8731 | 23.2601 | 23.1851 |
| 507 | 210.312 | 33.8695 | 23.1878 | 23.2442 |
| 508 | 210.175 | 34.0898 | 23.1954 | 23.2171 |
| 509 | 210.047 | 33.9911 | 23.2087 | 23.2228 |
| 510 | 209.891 | 33.704 | 23.1488 | 23.2637 |
| 511 | 209.702 | 33.6802 | 23.2603 | 23.2049 |
| 512 | 209.567 | 34.0908 | 23.4002 | 23.2794 |
| 513 | 209.333 | 33.7661 | 23.4228 | 23.2156 |
| 514 | 209.195 | 33.7772 | 23.3812 | 23.2776 |
| 515 | 209.039 | 33.8255 | 23.4046 | 23.3597 |
| 516 | 208.917 | 33.708 | 23.2474 | 23.3221 |
| 517 | 208.824 | 33.7689 | 23.2967 | 23.3049 |
| 518 | 208.796 | 34.1491 | 23.3088 | 23.3445 |
| 519 | 208.754 | 34.1308 | 23.466 | 23.2644 |
| 520 | 208.746 | 33.8527 | 23.5174 | 23.3166 |

ANEXO R-3

Tabla de resultados obtenidos en la 3^a Corrida. (05-Dic-2014)

| Tiempo (min) | Temperatura (°C) T. interna | Temperatura (°C) T. externa | Temperatura (°C) T. Amb. Lado Resistencia | Temperatura (°C) T. Amb. Lado Libre |
|--------------|--------------------------------|--------------------------------|--|---|
| 521 | 208.721 | 34.1959 | 23.5084 | 23.3263 |
| 522 | 208.756 | 34.1336 | 23.491 | 23.3989 |
| 523 | 208.861 | 34.1062 | 23.3992 | 23.3283 |
| 524 | 208.833 | 33.7395 | 23.3397 | 23.335 |
| 525 | 208.954 | 33.9553 | 23.3749 | 23.2967 |
| 526 | 209.025 | 34.0527 | 23.4503 | 23.4174 |
| 527 | 209.137 | 33.8808 | 23.4075 | 23.3156 |
| 528 | 209.217 | 33.9429 | 23.4324 | 23.2816 |
| 529 | 209.336 | 33.7469 | 23.2792 | 23.3417 |
| 530 | 209.471 | 33.7194 | 23.2115 | 23.2973 |
| 531 | 209.602 | 33.7346 | 23.2898 | 23.3617 |
| 532 | 209.704 | 33.9907 | 23.3134 | 23.2946 |
| 533 | 209.827 | 34.0381 | 23.2472 | 23.3591 |
| 534 | 209.947 | 34.2464 | 23.2803 | 23.4337 |
| 535 | 210.1 | 34.1288 | 23.3789 | 23.4254 |
| 536 | 210.275 | 34.2523 | 23.3707 | 23.502 |
| 537 | 210.383 | 34.1205 | 23.4135 | 23.3676 |
| 538 | 210.538 | 33.7143 | 23.3997 | 23.3048 |
| 539 | 210.715 | 34.0272 | 23.4874 | 23.5005 |
| 540 | 210.766 | 34.0996 | 23.4684 | 23.4818 |
| 541 | 210.858 | 34.0583 | 23.4379 | 23.3978 |
| 542 | 210.863 | 34.038 | 23.4066 | 23.5092 |
| 543 | 210.879 | 33.983 | 23.4655 | 23.5216 |
| 544 | 210.849 | 34.309 | 23.5313 | 23.4523 |
| 545 | 210.822 | 34.12 | 23.4768 | 23.4684 |
| 546 | 210.747 | 34.0406 | 23.4219 | 23.4362 |
| 547 | 210.664 | 34.2142 | 23.4778 | 23.4348 |
| 548 | 210.555 | 34.1973 | 23.5507 | 23.3647 |
| 549 | 210.442 | 33.8304 | 23.4996 | 23.5355 |
| 550 | 210.328 | 34.1376 | 23.3407 | 23.5969 |
| 551 | 210.199 | 33.967 | 23.3237 | 23.4311 |
| 552 | 210.001 | 34.3291 | 23.3975 | 23.276 |
| 553 | 209.859 | 34.3732 | 23.4995 | 23.3867 |
| 554 | 209.67 | 34.2088 | 23.5009 | 23.2659 |
| 555 | 209.471 | 33.9491 | 23.5407 | 23.3446 |
| 556 | 209.319 | 34.0616 | 23.528 | 23.3302 |
| 557 | 209.14 | 33.6286 | 23.372 | 23.3589 |
| 558 | 208.972 | 33.8603 | 23.4226 | 23.4033 |
| 559 | 208.832 | 34.0105 | 23.3075 | 23.3872 |
| 560 | 208.775 | 33.713 | 23.4461 | 23.4992 |

ANEXO R-3

Tabla de resultados obtenidos en la 3^a Corrida. (05-Dic-2014)

| Tiempo (min) | Temperatura (°C) T. interna | Temperatura (°C) T. externa | Temperatura (°C) T. Amb. Lado Resistencia | Temperatura (°C) T. Amb. Lado Libre |
|--------------|--------------------------------|--------------------------------|--|---|
| 561 | 208.731 | 33.9422 | 23.3678 | 23.3826 |
| 562 | 208.679 | 33.7187 | 23.2931 | 23.2724 |
| 563 | 208.684 | 33.7258 | 23.4117 | 23.3891 |

ANEXO R-4

Tabla de resultados obtenidos en la 4^a Corrida. (06-Dic-2014)

| Tiempo (min) | Temperatura (°C) T. interna | Temperatura (°C) T. externa | Temperatura (°C) T. Amb. Lado Resistencia | Temperatura (°C) T. Amb. Lado Libre |
|--------------|--------------------------------|--------------------------------|--|---|
| 0 | 70.048 | 24.6861 | 22.7089 | 22.6134 |
| 1 | 70.105 | 24.7294 | 22.7486 | 22.6922 |
| 2 | 70.1388 | 24.6318 | 22.7467 | 22.5975 |
| 3 | 70.2789 | 24.6457 | 22.7282 | 22.5912 |
| 4 | 70.4372 | 24.6789 | 22.6527 | 22.6951 |
| 5 | 70.6208 | 24.658 | 22.7353 | 22.891 |
| 6 | 70.8737 | 24.6969 | 22.8049 | 22.8367 |
| 7 | 71.1208 | 24.7382 | 22.7283 | 22.9983 |
| 8 | 71.3776 | 24.7398 | 22.7582 | 23.1255 |
| 9 | 71.7094 | 24.6724 | 22.7634 | 23.0999 |
| 10 | 71.9792 | 24.6784 | 22.768 | 22.9374 |
| 11 | 72.3148 | 24.7193 | 22.7287 | 23.0269 |
| 12 | 72.6815 | 24.7124 | 22.7942 | 23.1877 |
| 13 | 73.0291 | 24.7221 | 22.7404 | 22.9633 |
| 14 | 73.3943 | 24.665 | 22.7641 | 22.9742 |
| 15 | 73.8067 | 24.6069 | 22.86 | 22.7602 |
| 16 | 74.1937 | 24.6857 | 22.8583 | 22.8609 |
| 17 | 74.5749 | 24.7379 | 22.8223 | 22.9039 |
| 18 | 74.9623 | 24.7579 | 22.7401 | 23.105 |
| 19 | 75.3905 | 24.7865 | 22.7525 | 23.0742 |
| 20 | 75.8092 | 24.8241 | 22.8292 | 23.0944 |
| 21 | 76.2264 | 24.8178 | 22.8687 | 23.0608 |
| 22 | 76.6356 | 24.8354 | 22.8661 | 23.1614 |
| 23 | 77.0411 | 24.7537 | 22.8723 | 23.266 |
| 24 | 77.4778 | 24.7971 | 22.8213 | 23.1042 |
| 25 | 77.8931 | 24.7508 | 22.8087 | 23.1971 |
| 26 | 78.3874 | 24.8171 | 22.816 | 23.4083 |
| 27 | 78.8203 | 24.8712 | 22.8473 | 23.0867 |
| 28 | 79.2278 | 24.8832 | 22.8128 | 23.1716 |
| 29 | 79.6852 | 24.9795 | 22.7764 | 23.2567 |
| 30 | 80.0932 | 24.9361 | 22.7624 | 23.2216 |
| 31 | 80.575 | 24.9762 | 22.8462 | 23.3356 |
| 32 | 80.9975 | 25.006 | 22.8009 | 23.4633 |
| 33 | 81.4165 | 25.0563 | 22.8326 | 23.4695 |
| 34 | 81.873 | 25.0685 | 22.775 | 23.3317 |
| 35 | 82.3127 | 25.062 | 22.903 | 23.2425 |
| 36 | 82.7435 | 24.9502 | 22.8368 | 23.2997 |
| 37 | 83.1739 | 24.9793 | 22.843 | 23.0591 |
| 38 | 83.6522 | 25.0393 | 22.97 | 23.0382 |
| 39 | 84.0753 | 25.0377 | 22.841 | 23.1146 |
| 40 | 84.503 | 25.0625 | 22.8118 | 23.3851 |

ANEXO R-4

Tabla de resultados obtenidos en la 4^a Corrida. (06-Dic-2014)

| Tiempo (min) | Temperatura (°C) T. interna | Temperatura (°C) T. externa | Temperatura (°C) T. Amb. Lado Resistencia | Temperatura (°C) T. Amb. Lado Libre |
|--------------|--------------------------------|--------------------------------|--|---|
| 41 | 84.9839 | 25.0524 | 22.8282 | 23.3672 |
| 42 | 85.4126 | 25.0597 | 22.8821 | 23.4037 |
| 43 | 85.8618 | 25.1251 | 22.8676 | 23.6048 |
| 44 | 86.2961 | 25.1842 | 22.8883 | 23.2444 |
| 45 | 86.7564 | 25.2695 | 22.8159 | 23.3911 |
| 46 | 87.1586 | 25.1608 | 22.7751 | 23.4039 |
| 47 | 87.6081 | 25.249 | 22.8247 | 23.2767 |
| 48 | 88.0849 | 25.2207 | 22.8125 | 23.6376 |
| 49 | 88.5386 | 25.3154 | 22.8719 | 23.6424 |
| 50 | 88.9432 | 25.309 | 22.9349 | 23.3646 |
| 51 | 89.4001 | 25.2948 | 22.9098 | 23.244 |
| 52 | 89.844 | 25.3519 | 22.8371 | 23.6783 |
| 53 | 90.2598 | 25.4308 | 22.8791 | 23.5138 |
| 54 | 90.7241 | 25.4421 | 22.9303 | 23.6557 |
| 55 | 91.1619 | 25.3551 | 22.9158 | 23.4528 |
| 56 | 91.6056 | 25.4162 | 22.9702 | 23.6821 |
| 57 | 92.0598 | 25.4934 | 22.8903 | 23.4137 |
| 58 | 92.4503 | 25.4761 | 22.8943 | 23.5565 |
| 59 | 92.8646 | 25.6602 | 22.8675 | 23.7622 |
| 60 | 93.3296 | 25.6046 | 22.9479 | 23.3931 |
| 61 | 93.7675 | 25.5551 | 22.9274 | 23.7159 |
| 62 | 94.1919 | 25.64 | 22.9128 | 23.4219 |
| 63 | 94.611 | 25.6723 | 22.9003 | 23.5569 |
| 64 | 95.0449 | 25.7241 | 22.9532 | 23.5156 |
| 65 | 95.474 | 25.7392 | 22.9945 | 23.4955 |
| 66 | 95.9029 | 25.7868 | 22.9605 | 23.732 |
| 67 | 96.3285 | 25.7786 | 22.9826 | 23.7311 |
| 68 | 96.7899 | 25.86 | 23.0742 | 23.9656 |
| 69 | 97.202 | 25.8169 | 22.9796 | 23.6234 |
| 70 | 97.6285 | 25.9078 | 22.9875 | 23.8017 |
| 71 | 98.076 | 25.949 | 22.9766 | 23.5269 |
| 72 | 98.4696 | 25.8183 | 22.9582 | 23.3542 |
| 73 | 98.9192 | 25.9555 | 23.0141 | 23.8731 |
| 74 | 99.3367 | 26.0067 | 23.0628 | 23.4475 |
| 75 | 99.7483 | 26.0558 | 23.0236 | 23.4964 |
| 76 | 100.17 | 26.0588 | 23.0003 | 23.9942 |
| 77 | 100.578 | 26.0302 | 23.0316 | 23.7718 |
| 78 | 101.008 | 26.0846 | 22.9762 | 23.9545 |
| 79 | 101.457 | 26.1839 | 23.0719 | 24.0327 |
| 80 | 101.853 | 26.1458 | 23.0068 | 23.7165 |

ANEXO R-4

Tabla de resultados obtenidos en la 4^a Corrida. (06-Dic-2014)

| Tiempo (min) | Temperatura (°C) T. interna | Temperatura (°C) T. externa | Temperatura (°C) T. Amb. Lado Resistencia | Temperatura (°C) T. Amb. Lado Libre |
|--------------|--------------------------------|--------------------------------|--|---|
| 81 | 102.253 | 26.0551 | 22.9957 | 23.5103 |
| 82 | 102.685 | 26.1232 | 23.0428 | 23.7705 |
| 83 | 103.095 | 26.2494 | 23.0447 | 23.8703 |
| 84 | 103.504 | 26.1981 | 22.9837 | 23.4107 |
| 85 | 103.906 | 26.2191 | 23.0387 | 23.9594 |
| 86 | 104.346 | 26.2685 | 23.0496 | 24.0934 |
| 87 | 104.746 | 26.2511 | 23.0579 | 23.6925 |
| 88 | 105.172 | 26.2879 | 23.0809 | 23.7297 |
| 89 | 105.581 | 26.2723 | 23.0984 | 23.984 |
| 90 | 105.953 | 26.2738 | 23.0672 | 23.6301 |
| 91 | 106.41 | 26.388 | 23.1121 | 24.0251 |
| 92 | 106.802 | 26.4027 | 23.0477 | 23.809 |
| 93 | 107.167 | 26.4542 | 23.0586 | 23.8155 |
| 94 | 107.548 | 26.3866 | 22.975 | 23.3161 |
| 95 | 108.022 | 26.4578 | 23.0082 | 23.594 |
| 96 | 108.414 | 26.4425 | 22.9999 | 23.2251 |
| 97 | 108.826 | 26.4538 | 22.9757 | 23.1901 |
| 98 | 109.186 | 26.5116 | 22.9288 | 23.0156 |
| 99 | 109.598 | 26.58 | 22.9792 | 23.4086 |
| 100 | 110.006 | 26.4762 | 22.9231 | 23.481 |
| 101 | 110.426 | 26.5119 | 22.9795 | 23.2615 |
| 102 | 110.817 | 26.5142 | 23.002 | 23.5986 |
| 103 | 111.213 | 26.6402 | 23.0006 | 23.6984 |
| 104 | 111.615 | 26.7328 | 23.0144 | 23.5347 |
| 105 | 112.027 | 26.82 | 23.0292 | 24.2265 |
| 106 | 112.43 | 26.7671 | 23.0422 | 23.53 |
| 107 | 112.842 | 26.7146 | 23.0991 | 23.187 |
| 108 | 113.213 | 26.6861 | 23.029 | 23.8713 |
| 109 | 113.606 | 26.7531 | 23.0032 | 23.6934 |
| 110 | 114.006 | 26.7814 | 23 | 23.3823 |
| 111 | 114.404 | 26.8256 | 23.0805 | 24.1796 |
| 112 | 114.8 | 26.854 | 23.0476 | 23.9032 |
| 113 | 115.177 | 26.9639 | 23.0589 | 23.4779 |
| 114 | 115.564 | 26.966 | 23.1186 | 23.6338 |
| 115 | 115.952 | 27.028 | 23.1162 | 23.7507 |
| 116 | 116.356 | 27.0323 | 23.1231 | 23.8627 |
| 117 | 116.748 | 27.0322 | 23.1687 | 23.9894 |
| 118 | 117.139 | 27.1372 | 23.1828 | 23.9056 |
| 119 | 117.537 | 27.0949 | 23.1661 | 23.5995 |
| 120 | 117.908 | 27.1854 | 23.1446 | 23.7463 |

ANEXO R-4

Tabla de resultados obtenidos en la 4^a Corrida. (06-Dic-2014)

| Tiempo (min) | Temperatura (°C) T. interna | Temperatura (°C) T. externa | Temperatura (°C) T. Amb. Lado Resistencia | Temperatura (°C) T. Amb. Lado Libre |
|--------------|--------------------------------|--------------------------------|--|---|
| 121 | 118.305 | 27.2686 | 23.1541 | 23.8782 |
| 122 | 118.675 | 27.2527 | 23.0939 | 23.4233 |
| 123 | 119.057 | 27.1961 | 23.0659 | 23.6457 |
| 124 | 119.443 | 27.2615 | 23.0751 | 23.2133 |
| 125 | 119.853 | 27.2889 | 23.1321 | 23.2648 |
| 126 | 120.229 | 27.4074 | 23.0911 | 23.1611 |
| 127 | 120.583 | 27.4726 | 23.0485 | 23.0537 |
| 128 | 120.952 | 27.4859 | 23.0812 | 23.2563 |
| 129 | 121.375 | 27.5216 | 23.1281 | 23.1272 |
| 130 | 121.733 | 27.5276 | 23.1442 | 23.1741 |
| 131 | 122.11 | 27.5233 | 23.0477 | 23.2332 |
| 132 | 122.491 | 27.4394 | 22.9953 | 23.1084 |
| 133 | 122.816 | 27.3409 | 22.9841 | 23.0751 |
| 134 | 123.226 | 27.4823 | 22.9798 | 23.1425 |
| 135 | 123.615 | 27.7057 | 23.0551 | 23.1285 |
| 136 | 123.993 | 27.762 | 22.986 | 23.136 |
| 137 | 124.366 | 27.6743 | 23.0251 | 23.3233 |
| 138 | 124.722 | 27.3522 | 23.0328 | 23.577 |
| 139 | 125.115 | 27.3799 | 23.0057 | 23.4947 |
| 140 | 125.479 | 27.3196 | 23.0286 | 23.5072 |
| 141 | 125.858 | 27.2518 | 22.9861 | 23.3703 |
| 142 | 126.191 | 27.455 | 23.0482 | 23.3911 |
| 143 | 126.545 | 27.435 | 23.0762 | 23.1276 |
| 144 | 126.965 | 27.4302 | 23.1602 | 23.3879 |
| 145 | 127.319 | 27.5866 | 23.1097 | 23.445 |
| 146 | 127.653 | 27.5764 | 23.0602 | 23.4632 |
| 147 | 128.063 | 27.6742 | 23.1324 | 23.3544 |
| 148 | 128.393 | 27.6973 | 23.1369 | 23.3921 |
| 149 | 128.773 | 27.6524 | 23.0913 | 23.6565 |
| 150 | 129.165 | 27.7728 | 23.1394 | 23.7726 |
| 151 | 129.512 | 27.7376 | 23.129 | 23.5112 |
| 152 | 129.853 | 27.7571 | 23.1391 | 24.3384 |
| 153 | 130.256 | 27.8839 | 23.1399 | 23.7361 |
| 154 | 130.588 | 28.0255 | 23.1736 | 23.5845 |
| 155 | 130.959 | 27.7342 | 23.2162 | 24.0875 |
| 156 | 131.351 | 27.7546 | 23.1682 | 23.7065 |
| 157 | 131.676 | 27.8381 | 23.226 | 23.929 |
| 158 | 132.05 | 27.8333 | 23.2075 | 23.554 |
| 159 | 132.365 | 27.8461 | 23.2162 | 23.9291 |
| 160 | 132.741 | 28.0617 | 23.1515 | 24.1927 |

ANEXO R-4

Tabla de resultados obtenidos en la 4^a Corrida. (06-Dic-2014)

| Tiempo (min) | Temperatura (°C) T. interna | Temperatura (°C) T. externa | Temperatura (°C) T. Amb. Lado Resistencia | Temperatura (°C) T. Amb. Lado Libre |
|--------------|--------------------------------|--------------------------------|--|---|
| 161 | 133.105 | 28.1361 | 23.2818 | 23.7241 |
| 162 | 133.454 | 28.0436 | 23.2213 | 24.0543 |
| 163 | 133.846 | 28.0307 | 23.2567 | 23.6905 |
| 164 | 134.156 | 28.1764 | 23.2046 | 24.0142 |
| 165 | 134.49 | 28.2874 | 23.2247 | 24.2566 |
| 166 | 134.854 | 28.1512 | 23.2499 | 23.9639 |
| 167 | 135.205 | 28.2758 | 23.2834 | 24.164 |
| 168 | 135.558 | 28.3902 | 23.2901 | 23.7764 |
| 169 | 135.908 | 28.2681 | 23.2715 | 23.8196 |
| 170 | 136.273 | 28.3335 | 23.3011 | 24.1767 |
| 171 | 136.649 | 28.2655 | 23.3235 | 23.722 |
| 172 | 136.952 | 28.2761 | 23.2048 | 23.6656 |
| 173 | 137.315 | 28.1999 | 23.1952 | 23.9572 |
| 174 | 137.687 | 28.4561 | 23.1264 | 23.4349 |
| 175 | 137.984 | 28.435 | 23.2089 | 23.4321 |
| 176 | 138.336 | 28.4579 | 23.1726 | 23.71 |
| 177 | 138.656 | 28.3907 | 23.2003 | 23.6704 |
| 178 | 139.042 | 28.2264 | 23.2095 | 23.7607 |
| 179 | 139.352 | 28.391 | 23.1541 | 23.3811 |
| 180 | 139.716 | 28.5047 | 23.2277 | 23.6298 |
| 181 | 140.052 | 28.3883 | 23.1426 | 23.3226 |
| 182 | 140.39 | 28.4652 | 23.23 | 23.4006 |
| 183 | 140.743 | 28.6744 | 23.2362 | 23.3541 |
| 184 | 141.097 | 28.577 | 23.2686 | 23.3788 |
| 185 | 141.416 | 28.6236 | 23.2426 | 23.6851 |
| 186 | 141.753 | 28.4794 | 23.2164 | 23.4452 |
| 187 | 142.065 | 28.6103 | 23.2048 | 23.7405 |
| 188 | 142.43 | 28.7457 | 23.2456 | 23.7698 |
| 189 | 142.762 | 28.7727 | 23.2532 | 23.7506 |
| 190 | 143.074 | 28.7219 | 23.2189 | 23.4797 |
| 191 | 143.405 | 28.708 | 23.2572 | 23.7401 |
| 192 | 143.735 | 28.6915 | 23.2025 | 23.6791 |
| 193 | 144.068 | 28.8308 | 23.2763 | 23.5227 |
| 194 | 144.417 | 28.9119 | 23.3071 | 23.7885 |
| 195 | 144.73 | 28.9922 | 23.3699 | 23.3711 |
| 196 | 145.074 | 28.8646 | 23.3498 | 23.5469 |
| 197 | 145.399 | 28.7855 | 23.3718 | 23.6041 |
| 198 | 145.743 | 28.7117 | 23.3745 | 23.6627 |
| 199 | 146.062 | 28.7854 | 23.4237 | 23.8759 |
| 200 | 146.365 | 28.9601 | 23.3965 | 24.1317 |

ANEXO R-4

Tabla de resultados obtenidos en la 4^a Corrida. (06-Dic-2014)

| Tiempo (min) | Temperatura (°C) T. interna | Temperatura (°C) T. externa | Temperatura (°C) T. Amb. Lado Resistencia | Temperatura (°C) T. Amb. Lado Libre |
|--------------|--------------------------------|--------------------------------|--|---|
| 201 | 146.746 | 28.9424 | 23.4114 | 23.9242 |
| 202 | 147.031 | 29.0757 | 23.457 | 24.3042 |
| 203 | 147.373 | 28.7473 | 23.4197 | 24.0781 |
| 204 | 147.69 | 28.9183 | 23.3692 | 24.107 |
| 205 | 148.032 | 28.9166 | 23.3372 | 24.3869 |
| 206 | 148.356 | 29.0306 | 23.3873 | 23.7001 |
| 207 | 148.64 | 29.0822 | 23.3666 | 23.5482 |
| 208 | 148.962 | 29.1827 | 23.376 | 23.8316 |
| 209 | 149.332 | 29.2433 | 23.4066 | 23.799 |
| 210 | 149.615 | 29.3601 | 23.4405 | 23.8077 |
| 211 | 149.945 | 29.1522 | 23.3802 | 23.7101 |
| 212 | 150.247 | 29.1674 | 23.3814 | 24.0378 |
| 213 | 150.53 | 29.2848 | 23.3166 | 23.4597 |
| 214 | 150.926 | 29.3714 | 23.3657 | 23.6243 |
| 215 | 151.214 | 29.2572 | 23.2959 | 23.6872 |
| 216 | 151.529 | 29.2594 | 23.3576 | 23.7593 |
| 217 | 151.844 | 29.3653 | 23.3527 | 23.666 |
| 218 | 152.159 | 29.4071 | 23.2247 | 23.4249 |
| 219 | 152.47 | 29.2754 | 23.2171 | 23.4518 |
| 220 | 152.791 | 29.321 | 23.2795 | 23.7011 |
| 221 | 153.086 | 29.3888 | 23.2595 | 23.5602 |
| 222 | 153.397 | 29.3446 | 23.3015 | 23.546 |
| 223 | 153.735 | 29.3715 | 23.3739 | 23.4969 |
| 224 | 154.05 | 29.4122 | 23.3805 | 23.5351 |
| 225 | 154.372 | 29.3933 | 23.3522 | 23.5525 |
| 226 | 154.647 | 29.254 | 23.3157 | 23.702 |
| 227 | 154.989 | 29.3064 | 23.3349 | 23.6299 |
| 228 | 155.271 | 29.1739 | 23.2628 | 23.8754 |
| 229 | 155.584 | 29.2893 | 23.2974 | 23.752 |
| 230 | 155.914 | 29.1751 | 23.4061 | 23.6492 |
| 231 | 156.194 | 29.2839 | 23.3093 | 23.5074 |
| 232 | 156.521 | 29.6108 | 23.3695 | 23.517 |
| 233 | 156.781 | 29.6545 | 23.3017 | 23.4664 |
| 234 | 157.112 | 29.4819 | 23.3698 | 23.5018 |
| 235 | 157.394 | 29.5713 | 23.3244 | 23.4623 |
| 236 | 157.72 | 29.5473 | 23.3625 | 23.4243 |
| 237 | 157.99 | 29.6262 | 23.3622 | 23.5005 |
| 238 | 158.314 | 29.7252 | 23.4304 | 23.6063 |
| 239 | 158.587 | 29.7857 | 23.3839 | 23.8435 |
| 240 | 158.925 | 29.8021 | 23.4189 | 24.2821 |

ANEXO R-4

Tabla de resultados obtenidos en la 4^a Corrida. (06-Dic-2014)

| Tiempo (min) | Temperatura (°C) T. interna | Temperatura (°C) T. externa | Temperatura (°C) T. Amb. Lado Resistencia | Temperatura (°C) T. Amb. Lado Libre |
|--------------|--------------------------------|--------------------------------|--|---|
| 241 | 159.211 | 29.7308 | 23.4505 | 24.0512 |
| 242 | 159.518 | 30.0069 | 23.5269 | 23.5185 |
| 243 | 159.778 | 29.8738 | 23.5534 | 23.8475 |

Valor Agregado

Asistencia al Curso de Actualización tecnológica en aislamientos térmicos: ASTM, NOM y NRF.



24 Octubre • 2014 | www.somosindustria.com

» Cursos

Ofrecen actualización tecnológica de aislamiento térmico

Aislamientos y Forros Industriales realiza su tercer curso anual

RUBEN NAVARRO / NUEVO LEÓN

CON EL OBJETIVO DE CREAR CONCIENCIA en la necesidad del cumplimiento de las normas de aislamientos térmicos y capacitar a la gente involucrada en los diversos procesos industriales es que se llevó a cabo la primera edición del curso: "Actualización Tecnológica de Aislamiento Térmico: ASTM, NOM y NRF".

El evento fue organizado por la empresa Aislamientos y Forros Industriales, quienes reunieron en el Hotel Safi Centro a más de 40 asistentes, entre ellos contratistas, operarios industriales, proveedores y colaboradores, quienes presenciaron el curso impartido por Luis Felipe Ordoñez Cortés, Director General de Efiferm y miembro de ASTM International.

"Uno de los puntos esenciales que decidimos señalar en este curso, además de crear una conciencia en el cumplimiento de estas normas, es observar cómo ha evolucionado el mercado con el enfoque a estas mismas, a su vez capacitar a los asistentes para que puedan tomar mejores decisiones respecto al tema de aislamientos térmicos", manifestó Fernando Villarreal, Gerente General de Aislamientos y Forros Industriales.

Durante la exposición se detallaron los requerimientos establecidos por las empresas del ramo industrial para cumplir con la norma NOM-009 y la NRF-004, las cuales se enfocan en la eficiencia energética en los diferentes procesos industriales de todo tipo, a través de aislantes térmicos.

Asimismo se detalló que gracias al uso de los aislamientos térmicos y la optimización de sus procesos, las plantas industriales pueden tener una mejor operación y una mayor productividad con una reducción de costos sobresaliente, obteniendo así un producto o servicio más competitivo en el mercado global.

"Si una empresa cumple con estos puntos se coloca para la conservación de los recursos naturales, al ofrecer un aislamiento térmico que implique calor o frío", enfatizó el Director General de Efiferm.

Cabe mencionar que para el cumplimiento de dichas normas hoy en día no existe un proceso de certificación, no obstante los únicos requisitos necesarios para estar al corriente es demostrar que sus equipos industriales no pierden más calor de lo que deben.

Contacto
Aislamientos y Forros Industriales
 (81) 1932-9000
www/ayfisa.com

Bibliografía

- [1] NRF-034-PEMEX-2011, Aislamientos Térmicos para Altas Temperaturas en Equipos, Recipientes y Tubería Superficial.
- [2] AFELMA, Asociación de Fabricantes Españoles de Lanas Minerales Aislantes. www.aislar.com/
- [3] ASTM C-1094, Standard Guide for Flexible Removable Insulation Covers
- [4] NOM-009-ENER-1995, Eficiencia energética en aislamientos térmicos industriales.
- [5] ASTM C-195, Mineral Fiber Thermal Insulation Cement
- [6] Cengel, Yunus A. - Transferencia de Calor y Masa – 3^a Ed.
- [7] Incropera, Frank P. / De Witt, David P. - Fundamentos de Transferencia de Calor – 4^a Ed.
- [8] Kern, Donald Q. - Procesos de Transferencia de Calor – Trigésima primera reimpresión
- [9] Paul G. Hewitt - Física Conceptual – 9^a Ed.
- [10] ISO 13709:2009, Centrifugal pumps for petroleum, petrochemical and natural gas industries.